

UNIVERSIDADE FEDERAL DA PARAIBA
CENTRO DE CIENCIAS E TECNOLOGIA
CURSOS DE POS-GRADUACAO EM ENGENHARIA CIVIL

PROBABILIDADES DE OCORRENCIAS DE VAZOES EM POCOS PERFORADOS NO
CRISTALINO PARAIBANO

SOLANGE OLIVEIRA SILVA

45200
CAMPINA GRANDE
SETEMBRO - 1992

SOLANGE OLIVEIRA SILVA

PROBABILIDADES DE OCORRENCIAS DE VAZOES EM POCOS PERFURADOS
NO CRISTALINO PARAIBANO

Dissertação apresentada ao Curso
de MESTRADO EM ENGENHARIA CIVIL da
Universidade Federal da Paraíba, em
cumprimento às exigências para
obtenção do Grau de Mestre.

AREA DE CONCENTRACAO: RECURSOS HIDRICOS

JOSE DO PATROCINIO TOMAZ ALBUQUERQUE

Orientador

FRANCISCO ANTONIO MORAIS DE SOUZA

Co-Orientador

CAMPINA GRANDE

SETEMBRO - 1992



S586p	<p>Silva, Solange Oliveira Probabilidades de ocorrencias de vazoes em pocos perfurados no cristalino paraibano / Solange Oliveira Silva. - Campina Grande, 1992. 157f. : il.</p> <p>Dissertacao (Mestrado em Engenharia Civil) - Universidade Federal da Paraiba, Centro de Ciencias e Tecnologia.</p> <p>1. Pocos Perfurados - 2. Pocos - Vazao de Agua 3. Recursos Hidricos 4. Dissertacao I. Albuquerque, Jose do Patrocínio Tomaz, Ms. II. Souza, Francisco Antonio Morais de, Ms. III. Universidade Federal da Paraiba - Campina Grande (PB). IV. Título</p>
CDU 622.25(813.3)(043)	

SOLANGE OLIVEIRA SILVA

PROBABILIDADES DE OCORRENCIAS DE VAZOES EM POCOS PERFORADOS NO
CRISTALINO PARAIBANO

Dissertação aprovada em 14/09/92.

ÁREA DE CONCENTRAÇÃO: RECURSOS HIDRICOS

José do Patrocínio Tomaz Albuquerque
JOSE DO PATROCINIO TOMAZ ALBUQUERQUE

Orientador

Francisco Antonio M. de Souza
FRANCISCO ANTONIO MORAIS DE SOUZA

Co-Orientador

Vajapeyam Srinivasan
VAJAPEYAM SRIRANGACHAR SRINIVASAN

Componente da Banca

Marx Prestes Barbosa
MARX PRESTES BARBOSA

Componente da Banca

CAMPINA GRANDE

SETEMBRO 1992

A

Carlota Oliveira Silva e
Antonio José da Silva,
meus pais.

AGRADECIMENTOS

No decorrer de um trabalho de pesquisa, são vários os obstáculos a serem superados. Por outro lado, a persistência, juntamente com a orientação de alguns, a prestação de serviços e o companheirismo de outros, contribuem para que atinjamos o objetivo desejado.

Agradeço primeiramente a DEUS, por ter me dado o dom da vida e uma vontade enorme de aprender sempre mais, além de contribuir de forma bastante clara, para que eu galgue, apesar das dificuldades, novos degraus na minha vida.

As orientações a mim dirigidas, tanto na pessoa do Mestre José do Patrocínio Tomaz Albuquerque (Departamento de Mineração e Geologia - UFPB), quanto na pessoa do Mestre Francisco Antonio Moraes de Souza (Departamento de Matemática e Estatística - UFPB), foram extremamente importantes, uma vez que em função das suas respectivas experiências em Geologia - Águas Subterrâneas e Estatística, é que foi facilitado o desenvolvimento da pesquisa. Além disto, os mesmos estiveram sempre, apesar de estarem envolvidos a outras atribuições, disponíveis e prontos a prestarem competente orientação quando necessário.

Também agradeço ao departamento de matemática, por

ceder os computadores para execução dos trabalhos, assim como ao prof. Francisco Moraes por auxiliar-me no uso dos pacotes computacionais e às áreas de construções rurais e irrigação, por me permitirem utilizar a impressora, dando-me condições de imprimir este trabalho.

Não posso de nenhuma forma, esquecer de agradecer a todos os funcionários da CDRM (Companhia de Desenvolvimento de Recursos Minerais - Pb), principalmente àqueles pertencentes a Divisão de Hidrogeologia e Sondagens - DHS, em especial a José Maria de Almeida Barreto, por me permitir amplo acesso aos dados de perfurações de poços executadas pela própria empresa, além de também me fazer empréstimos de trabalhos, livros, ou artigos de interesse, existentes na biblioteca da CDRM.

O companheirismo e entusiasmo dos amigos do mestrado, em especial Silvana, a boa convivência com os funcionários da área e o estímulo, sempre levado em consideração por parte dos professores Srinivazam, Jâniro, Eduardo, Bernardete Feitosa, Sérgio Gois, Gilberto, Gledsneli, Sarma, também são aqui lembrados e por mim agradecidos.

A Erisson que apesar da distância me ofereceu apoio e incentivo na fase final da dissertação.

A todos os familiares e amigos, que muitas vezes souberam me apoiar frente os obstáculos.

A Tânia Maria Correia Braga, pela dedicação e
amizade e por ter datilografado a dissertação.

A todos que direta ou indiretamente contribuiram
para a conclusão deste trabalho.

UFCG

SUMARIO

DECICATORIA	ii
AGRADECIMENTOS	iii
LISTA DE FIGURAS	ix
LISTA DE TABELAS	xiii
RESUMO	xvi
ABSTRACT	xviii
CAPITULO I	
INTRODUÇÃO	1
CAPITULO II	
CARACTERISTICAS CLIMATICAS E FISIOGRAFICAS DO ESTADO	
DA PARAIBA	6
2.0 - Aspectos Gerais	6
2.1 - Pluviometria	8
2.2 - Temperatura	8
2.3 - Aspectos Fisiográficos	10
2.3.1 - Geologia	10
2.3.2 - Morfologia	12
2.3.3 - Hidrografia	14
2.3.4 - Vegetação e Solos	16

CAPITULO III

REVISAO BIBLIOGRAFICA	18
-----------------------------	----

CAPITULO IV

METODOLOGIA EMPREGADA NO ESTUDO	63
4.1 - Considerações Teóricas	63
4.1.1 - Generalidades	63
4.1.2 - Teste de Lilliefors para Testar normalidade com média e desvio padrão estimados da amostra ...	66
4.1.3 - Nível descritivo do teste	68
4.2 - Metodologia	70
4.2.1 - Levantamento dos dados	70
4.2.2 - Zoneamento dos poços	74
4.2.3 - Valores estatísticos representati- vos das variáveis observadas no estudo.	76
4.2.4 - Uso de pacotes computacionais	81
4.2.5 - Análise da variável vazão específica	82
4.2.6 - Estabelecimento de uma lei de probabilidade	84
4.2.7 - Cálculos de probabilidade de ocorrência de vazões a partir da lei de probabilidade estabelecida.	86
4.2.8 - Análise do resíduo seco	87

CAPITULO V

APRESENTACAO E ANALISE DE RESULTADOS	89
5.1 - Distribuicoes de frequencia	89
5.2 - Estatisticas calculadas	91
5.3 - Teste de aderencia	100
5.4 - Resultados dos testes de ajustamento	101
5.5 - Probabilidades de ocorrencia de vazoes em pozos perfurados no cristalino paraibano ..	124

CAPITULO VI

CONCLUSOES E RECOMENDACOES	128
6.1 - CONCLUSOES	128
6.2 - RECOMENDACOES	129
REFERENCIAS BIBLIOGRAFICAS	131

ANEXO 1

CADASTRO DE INFORMACOES DE PERFURACOES DE POCOS NO CRISTALINO PARAIBANO - DADOS COLHIDOS DA CDRM	139
---	-----

ANEXO 2

MAPA HIDROGEOLOGICO PRELIMINAR DO ESTADO	157
--	-----

LISTA DE FIGURAS

FIGURA	PAGINA
3.1 Condições favoráveis e desfavoráveis para a perfuração de um poço em rocha fraturada. (Segundo STEWART, 1967 in CUSTÓDIO e LLAMAS, 1976)	29
3.2 Ajuste a uma lei normal logarítmica das vazões por unidade de profundidade dos poços de Gran Canaria agrupados por municípios. (Segundo CUSTÓDIO e LLAMAS, 1976).	33
3.3 Ajuste a uma lei normal logarítmica das vazões médias dos poços de cada área municipal da ilha de Gran Canaria (Segundo CUSTÓDIO e LLAMAS, 1976).	33
3.4 Curva de poço estável (Segundo HAUSMAN, 1980).	38
3.5 Curva de poço instável (Segundo HAUSMAN, 1980).	39
3.6 Curva vazão específica (Q/s) x tempo (t)	47
3.7 O bloco ABCD subiu por epirogênese da posição (1) para (2), havendo um acréscimo de espaço	

lateral L. Como resultado surgiram fraturas de tração paralelas à xistosidade, chamadas de longitudinais (Segundo COSTA, 1986).

55

3.8 Esquema ilustrativo de um falhamento de gravidade produzido por um esforço tracional próximo à superfície. Tudo se passa como se a maior tensão compressiva estivesse na vertical (Segundo COSTA, 1972 in COSTA, 1986).

55

3.9 Esquema da formação das juntas de descompressão ou "sheet joints". Pela erosão a tensão se passa de compressiva para tracional, acarretando o fendilhamento paralelo à superfície topográfica. (Segundo COSTA, 1986).

56

3.10 Diferentes situações encontradas na perfuração de um poço em rocha cristalina fraturada. A profundidade total é de 80 m (aproximadamente), com 15 m de revestimento (no manto de decomposição, pontilhado nas figuras). Os casos A e J representam as condições extremas da exploração; no primeiro o poço será seco e no segundo, as condições de exploração são as melhores. (Adaptação de LEGRAND, 1959 e CAMPBELL, 1977 in COSTA, 1986).

59

5.1 Box plot múltiplo para os dados de vazão específica - rochas:

93

5.2	Box plot múltiplo para os dados de vazão específica - bacias.	95
5.3	Box plot múltiplo para os dados logaritmizados de vazão específica - rochas.	98
5.4	Box plot múltiplo para os dados logaritmizados de vazão específica - bacias.	99
5.5	Gráfico normal de probabilidade - Todos os Poços.	105
5.6	Gráfico normal de probabilidade - Gnaisse.	106
5.7	Gráfico normal de probabilidade - Granito.	107
5.8	Gráfico normal de probabilidade - Migmatito.	108
5.9	Gráfico normal de probabilidade - Xisto.	109
5.10	Gráfico normal de probabilidade - Filito.	110
5.11	Gráfico normal de probabilidade - APB.	111
5.12	Gráfico normal de probabilidade - BPB.	112
5.13	Gráfico normal de probabilidade - MPB.	113
5.14	Gráfico normal de probabilidade - RTP.	114
5.15	Gráfico normal de probabilidade - BPA.	115
5.16	Gráfico normal de probabilidade - RPI-AP.	116

5.17 Gráfico normal de probabilidad - RPE-AP.	117
5.18 Gráfico normal de probabilidad - RSD.	118
5.19 Gráfico normal de probabilidad - RES.	119
5.20 Gráfico normal de probabilidad - MP.	120
5.21 Gráfico normal de probabilidad - BPI.	121
5.22 Gráfico normal de probabilidad - RM.	122
5.23 Gráfico normal de probabilidad - BMJ.	123

LISTA DE TABELAS

TABELAS	PAGINAS
4.1 Valores estatísticos representativos das variáveis observadas no cristalino paraibano - poços não secos.	76
4.2 Distribuição de frequência da variável nível estático (m).	78
4.3 Distribuição de frequência da variável nível dinâmico (m).	79
4.4 Distribuição de frequência da variável vazão (l\h).	79
4.5 Distribuição de frequência da variável tempo de bombeamento (h).	80
4.6 Distribuição de frequência do manto de intemperismo.	80
4.7 Distribuição de frequência da intersecção de fraturas (m).	81
4.8 Distribuição de frequência do resíduo seco (mg/l).	87

5.1	Frequência de ocorrência de poços - rochas.	90
5.2	Frequência de ocorrência de poços - bacias hidrográficas.	90
5.3	Distribuição de frequência da variável vazão específica (Lnhm)	91
5.4	Estimativas de parâmetros referentes à variável vazão específica (Zoneamento por tipo de rocha).	92
5.5	Estimativas de parâmetros referentes à variável vazão específica (Zoneamento por bacia hidrográfica).	94
5.6	Estimativas de parâmetros referentes à variável \ln da vazão específica (Zoneamento por rocha).	96
5.7	Estimativas de parâmetros referentes à variável \ln da vazão específica (Zoneamento por bacia hidrográfica).	97
5.8	Teste de K-S para ajuste da distribuição normal à vazão específica - rochas.	102
5.9	Teste de K-S para ajuste da distribuição normal ao \ln da vazão específica - rochas.	102
5.10	Teste de K-S para ajuste da distribuição normal à vazão específica - bacias.	103

- 5.11 Teste de K-S para ajuste da distribuição normal
ao Ln da vazão específica - bacias. 103
- 5.12 Estimativas para as probabilidades de ocorrência
de vazões superiores a determinados valores no
cristalino paraibano - rochas. 125
- 5.13 Estimativas para as probabilidades de ocorrência
de vazões superiores a determinados valores no
cristalino paraibano - sub-bacias. 126
- 5.14 Estimativas para as probabilidades de ocorrência
de vazões superiores a determinados valores no
cristalino paraibano - bacias. 126

RESUMO

O Estado da Paraíba está inserido no complexo Semi-Arido Nordestino, repousando, quase que totalmente, sobre rochas do sistema cristalino. Este fato, associado às pequenas e esparsas precipitações pluviométricas, às altas taxas de evaporação e a outros fatores, contribui fortemente para que haja escassez d'água nesta região. Consequentemente, faz-se necessário sob o ponto de vista sócio econômico, a exploração deste sistema.

Considerando a enorme heterogeneidade e anisotropia características do cristalino, fica difícil estabelecer deterministicamente o comportamento hidrogeológico do mesmo. Isto se deve ao fato de que a interação de vários fatores é que possibilita o armazenamento da água e a sua circulação. Além disso, as leis clássicas aplicadas em meios porosos, não são aplicáveis no meio fissurado, e, portanto, é imperativo ou mister, recorrer a análises estatísticas. Desta forma, a partir da caracterização do grau de aleatoriedade deste meio, auxilia-se no planejamento e gerenciamento dos recursos hidricos subterrâneos disponíveis, especialmente no que diz respeito às perfurações e explorações de poços em rochas fraturadas.

Este trabalho, a partir de dados disponíveis de perfurações em poços no cristalino, através de uma análise estatística e realizando testes de ajustamento, estabelece uma distribuição de probabilidade aos logaritmos naturais da vazão específica, para calcular probabilidades de ocorrência de vazões em condições distintas no cristalino paraibano.

Os resultados dos cálculos de probabilidade de ocorrência de vazões superiores ou iguais a determinados valores, indicaram baixas produtividades e também confirmaram que corre-se sempre riscos de insucessos nas perfurações do sistema cristalino.

ABSTRACT

The State of Paraíba is located in the Northeastern semi-arid region where it underlies an extensive crystalline system. This fact, associated with the scarce and sporadic precipitation, high evaporation rate and many other factors, contribute strongly to the shortage of water in this region. Therefore, it is imperative to consider the socio - economic aspects of the problem and explore all possible of the potential sources of water in the region, including the fractured zones of the crystalline system.

Due to the enormous heterogeneity and anisotropy of the crystalline system, it is difficult to establish through deterministic methods the hydrogeological behaviour of the system. This is due to the fact that the interaction of several factors is responsible for the accumulation of water and its circulation. Furthermore, the classical laws which are applied to porous media flow aren't applicable to fissured medium and hence it is necessary to use statistical methods. It is sought to characterize in statistical terms the yield and variation of the water resources potential in the crystalline zone, as a means to guide the planners in locating water wells in the fractured zone.

From available data of perforations of wells located in the crystalline system, statistical analysis and fitness tests were employed to establish a probability distribution curve to the natural logarithm of the specific flow in wells. This will permit the calculation of probabilities of occurrence of flows under distinct conditions of the crystalline system in Paraiba.

The results of the calculations for determining the probability of occurrence of flows greater than some specific values indicate that the yields are low. The results also emphasize the high risk of failure that can be expected for the wells drilled in the crystalline system.

CRISTALINO

ESCASEZ

CAPITULO I

INTRODUÇÃO

O Estado da Paraíba tem cerca de 95% da sua área estabelecida sobre rochas do chamado Complexo Cristalino Pré-cambiano, um conjunto de rochas ígneas e metamórficas de idades entre 4,5 e 0,57 bilhões de anos, quase todo capeado por aluviões no domínio da rede hidrográfica, sendo o restante da área constituída por rochas sedimentares do grupo Paraíba, situadas na bacia costeira PE-PB, região litorânea do Estado e bacia do rio do Peixe, na bacia hidrográfica homônima, no extremo oeste de seu território.

A existência de um clima adverso (grande variabilidade de ocorrência de chuvas no tempo e no espaço, o alto índice de insolação na maior parte do ano e consequentemente as altas taxas de evaporações), juntamente com uma constituição geológica e pedológica desfavorável (rochas e solos considerados regionalmente impermeáveis, com predomínio de escoamentos superficiais rápidos e a inexistência de aquíferos com grandes condições de armazenamento e circulação), contribuem preponderantemente para haver escassez de água no Estado.

escassez

Há necessidade portanto, de se conhecer melhor os atributos quantitativos e qualitativos dos recursos hídricos superficiais e subterrâneos, através de estudos e pesquisas que gerem planejamento e gerenciamento adequados e, consequentemente, explorações eficazes.

Nestes 95% da área paraibana, os recursos hídricos subterrâneos estão contidos extensivamente nos aquíferos aluviais e nas zonas aquíferas correspondentes a um sistema de fraturas e falhas que afetam todo o Complexo Cristalino Pré-cambiano. Estas fraturas foram formadas em diversas fases ou períodos da história geológica, desde o Pré-cambiano até, pelo menos, o Terciário, quando a configuração morfológica e hidrográfica do Estado começou a ser delineada.

Os aluviões no Estado são encontrados principalmente nas margens e leitos dos rios, com características litológicas e dimensionais variáveis, nem sempre favoráveis à constituição de aquíferos. Isto, e outros fatores, históricos inclusive, têm levado à exploração da água subterrânea contida no sistema de rochas fraturadas. (ALBUQUERQUE, comunicação pessoal).

Os aquíferos sedimentares têm sido estudados amplamente através de métodos técnico-científicos, que estão relativamente desenvolvidos com relação aos aspectos hidrogeológicos. Já nos aquíferos fraturados, o comportamento hidrogeológico está incipientemente estudado, uma vez que a

interação de vários fatores, ainda não totalmente conhecidos, é que possibilita o armazenamento e a circulação da água nos mesmos.

Há, ainda, muito o que se pesquisar no meio cristalino fraturado. Várias análises e estudos têm sido realizados por especialistas, tais como técnicos, geólogos, hidrogeologistas, na busca de um maior conhecimento das características físicas, internas, hidráulicas e de circulação da água neste meio.

Observa-se que há algumas contradições relacionadas à exploração ou não do cristalino fraturado, como meio aquífero, e também que os estudos até agora produzidos não têm ainda nenhuma conclusão específica com relação a como tratar de uma forma geral as rochas cristalinas. Alguns pesquisadores aplicam os métodos clássicos aplicados aos meios porosos, embora já se tenha considerado estes métodos como não bem adaptados, trazendo resultados incoerentes, quando aplicados ao meio fraturado.

A dificuldade de generalizar este meio, é função da complexidade existente no mesmo. A grande anisotropia e heterogeneidade, características intrínsecas naturais ainda não determinadas, contribuem para que os conhecimentos até então adquiridos não sejam particularizados em condições médias que possam representar todo o sistema. O conhecimento acerca do inter-relacionamento das variáveis envolvidas na

4

quantificação e qualificação de águas subterrânea é limitado, sendo às vezes conflitante avaliar as associações das características do meio cristalino mais favoráveis à obtenção de maiores e melhores quantidades de água.

7 ambulhos

Em razão dos óbices encontrados na tentativa de conhecer melhor o sistema cristalino, aplicando os conhecimentos clássicos da Hidráulica Subterrânea, recorre-se então às análises estatísticas, que podem oferecer, boas estimativas para características de interesse, assim como um maior conhecimento do grau de heterogeneidade do meio.

Nos propomos neste trabalho, a levantar dados disponíveis de poços locados no cristalino paraibano, para, em função de uma análise estatística destes dados, tentar estabelecer uma distribuição de probabilidade, realizando testes de ajustes, para a partir dela, calcular estimativas para as probabilidades de ocorrências de vazões superiores a determinados valores em condições distintas no meio cristalino paraibano.

O estabelecimento de uma lei probabilística poderá servir como uma ferramenta para auxiliar no planejamento por parte dos órgãos e empresas responsáveis em perfuração de poços, oferecendo subsídios de orientação em programas ou planos de perfurações no cristalino paraibano.

O presente estudo inicia com uma caracterização bem geral da área escolhida para o estudo (o estado paraibano) e

transcorre com uma suscinta revisão bibliográfica, que inclui alguns trabalhos realizados no Estado e trabalhos realizados também internacionalmente, além de conceitos e definições pertinentes ao estudo hidrogeológico das rochas fraturadas. É apresentada então a metodologia empregada, que compreende também as técnicas estatísticas utilizadas, ferramentas imprescindíveis para o entendimento e desenvolvimento do trabalho. Prossegue-se então com a apresentação e análise de resultados, sendo tecidos por fim, juntamente com as conclusões, algumas recomendações para futuras pesquisas.

CAPITULO II

CARACTERIZAÇÃO CLIMÁTICA E FISIOGRAFICA DO ESTADO DA PARAÍBA

2.0 ASPECTOS GERAIS

A variação pluviométrica, assim como a forma como é distribuída a chuva em nosso Estado, gera condições climáticas bem distintas, as quais afetam sobremaneira as fases que constituem o ciclo hidrológico e, portanto, contribuem na quantificação e qualificação da água subterrânea.

Segundo SILVA E CEBALLOS, (1982) in (ALBUQUERQUE, 1984) existem, numa análise primária, 3 condições climáticas bem distintas, a saber:

1.. Orla marítima juntamente com Brejo paraibano (micro-clima de altitude)

- Precipitação atmosférica maior que 900 mm ao nível de 75% de probabilidade.
- Evapotranspiração potencial maior que a precipitação entre 4 (quatro) e 7 (sete) meses do ano.

2. Região por ele atribuída de agudamente semi-árida, limitada pelos meridianos 35°50'W e 37°00'W, excetuando-se a área altimetricamente elevada da fronteira com Pernambuco.

- Precipitação menor que 300 mm/ano ao nível de 75% de probabilidade e, em média, com menos de 2 meses com índices pluviométricos superiores à evapotranspiração potencial.

3. Região de transição entre as anteriores, mesmo semi-árida, com $300 \text{ mm} < \text{precipitação atmosférica} < 500 \text{ mm}$, a uma taxa de 75% de probabilidade, tendo em média 2 a 4 meses do ano com precipitação superior à evapotranspiração potencial.

Faremos menção de algumas características climáticas e fisiográficas gerais do Estado paraibano: clima; relevo; hidrografia; vegetação; solos e geologia, já que, claramente admite-se a influência destes elementos sobre o potencial hídrico do sistema cristalino, características estas que foram transcritas, praticamente na sua totalidade, dos trabalhos de ALBUQUERQUE em 1970 no Inventário Hidrogeológico Básico do Nordeste e em 1984 na sua dissertação de mestrado intitulada "Os Recursos de Água Subterrânea do Trópico Semi-Arido do Estado da Paraíba".

2.1. PLUVIOMETRIA

Há uma grande variação geográfica das chuvas em todo o Estado, observando-se, num mapa de isoetas médias, que as áreas que percebem uma maior precipitação são as regiões do Litoral paraibano e Brejo. Ao mesmo tempo, existem algumas áreas que usufruem de uma mínima pluviometria:

- A cidade de Cabaceiras que faz parte da bacia do rio Paraíba;
- Barra de Santa Rosa que faz parte da bacia do rio Curimataú.

Segundo ALBUQUERQUE (1984), o trimestre mais chuvoso varia de oeste para leste:

Fevereiro - março - abril; pico em março (bacia do rio Piranhas);

Marco - abril - maio; pico em abril (bacias dos rios Curimataú e Jacu);

Abril - maio - junho ou maio - junho - julho; (Brejo, Agreste e Litoral).

2.2. TEMPERATURA

A temperatura varia em média anualmente entre 21°C a 26°C.

Litoral - 25°C.

Brejos de altitude - 21°C

zonas mais secas - 24°C a 26°C (bacia rio Paraíba e demais bacias).

Com relação à média das temperaturas mínimas tem-se nos Brejos de altitude 18°C e demais regiões 22°C.

Com relação à média das máximas, a variação está entre 27°C (Brejo) a 33°C (bacia do rio Piranhas) e valores intermediários para as demais bacias.

Com relação à umidade relativa do ar, não existem dados suficientes para que se faça um delineamento da sua distribuição no Estado paraibano. Foi observado que o ar é mais seco na bacia do rio Piranhas e mais úmido no Litoral e Brejo, tendo as outras regiões intermédias.

A insolação diária, em termos de valor médio anual, varia de 7 a 8,5 hs, tendo o Litoral valores acima de 8 hs e observando-se um máximo de 8,5 hs (na bacia do rio Piranhas).

Devido à baixa pluviometria e a outros fatores, tais como insolação diária, vento, umidade relativa, etc..., a evaporação a superfície livre é alta, observando-se 2.500 mm/ano na bacia do rio Piranhas; 1700 mm/ano nos Brejos e 2000 mm/ano nas bacias do Paraíba e Curimataú, em média.

2.3. ASPECTOS FISIOGRAFICOS

2.3.1. Geologia:

Predominam geologicamente no Estado rochas cristalinas, metamórficas e ígneas, dominando quase que totalmente, as rochas sedimentares. Estas restringem-se a pequenas exposições, ou pequenas ilhas dentro do cristalino circundante, ou ainda culminações topográficas que constituem divisores d'água de bacias ou de seus cursos. Podemos citar então as chamadas bacias Paraíba/Pernambuco e Rio do Peixe; as exposições sedimentares Serra do Martins e os aluvões de rios e riachos que drenam as bacias incluídas no Estado. É importante salientar que a bacia sedimentar Paraíba/Pernambuco não se insere no trópico semi-árido.

Todo o complexo de rochas metamórficas e ígneas de idade Pre-cambiana, constituído de gnaisses, granitos, migmatitos, micaxistos, filitos e quartzitos é conhecido como cristalino. Existe neste meio uma variedade de falhas, fraturas e dobras, isto por motivo de ter sofrido, ao longo do tempo, deformações tectônicas.

As chamadas "Serra dos Martins", exposições sedimentares observadas sobre elevações cristalinas, são capeamentos de 30 a 50m de espessura; Na sua constituição predominam arenitos finos a grossos, intercalando-se argilitos, siltitos e níveis limoníticos, de forma irregular,

horizontal e verticalmente. Podemos citar então, como exposições deste tipo, as serras Sólânea, Araruna, Cuité, Bombocadinho e Areia.

A bacia do rio do Peixe (1340 km^2) é uma bacia de origem tectônica encravada no cristalino. Inclui os municípios de Antenor Navarro, Uirauna, Triunfo, Santa Helena e Sousa. (COSTA, 1964) in (ALBUQUERQUE, 1984) por ocasião do Congresso Brasileiro de Geologia, em Poços de Caldas - MG, revelou ser a mesma constituída de 2 formações litoestatigráficas distintas: uma formação de arenitos basais, composta de quase 100 m, médios a grosseiros, denominada Formação Antenor Navarro e outra formação de siltitos e argilitos, sobreposta à anterior, com intercalações de arenitos finos a médios em sua seção final, num total de cerca de 800 m de espessura, denominada por ele de Formação Sousa. ALBUQUERQUE em 1968 observou também a formação Piranhas, composta de arenitos médios a finos, com aproximadamente cerca de 200 m de espessura, de ocorrência restrita à região ao sul de Sousa. (ALBUQUERQUE, 1970 e 1984).

Composta de duas porções, a bacia do Rio do Peixe inclui as sub-bacias de Sousa (800 km^2) e Brejo das Freiras (540 km^2), estando as mesmas quase separadas por falhas de gravidades e de rejeito direcional que se interceptam na região de Brejo das Freiras, município de São João do Rio do Peixe (antigo Antenor Navarro - Pb). (ALBUQUERQUE, 1984).

Os aluviões são depósitos sedimentares fluviais ligados à dinâmica dos ciclos erosivos, atuais ou sub-atuais, que atapetam leitos e margens de rios e rochas das diversas bacias hidrográficas que drenam o território paraibano. (ALBUQUERQUE, 1984). Na bacia do Rio Piranhas, principalmente a partir do seu curso médio, os mesmos são bastante desenvolvidos, apresentando-se mais espessos e extensos. São arenosos, grosseiros, incoerentes, conglomeráticos, com espessuras variáveis, capeados normalmente por depósitos argilosos (cerca de 1 a 2 m de espessura), podendo atingir o pacote aluvial espessuras de até 12 m, sendo que em média atingem 6 a 8 m de espessura.

Nas bacias dos rios Piranhas e Taperoá, afluente do rio Paraíba, tais exposições ocorrem formando os terracos aluviais.

Os terrenos aluviais são areno-argilosos e constituem superfícies relativamente largas de inundações. Aí se encaixam os atuais leitos dos rios Piranhas e afluentes.

2.3.2. Morfologia

Topograficamente, existe uma diversificação de cotas, por isto o relevo é bastante variado. As cotas dos terrenos variam de um mínimo de 3 m (esta média das planícies fluvio-marítimas do Litoral até 1000 m (área das rochas cristalinas)), sendo o ponto mais elevado o Pico do Jabre,

situado na Serra do Teixeira com 1197 m de altitude.

A unidade morfológicamente mais marcante da área é sem dúvida o planalto da Borborema que se acha dissecado em vários patamares a diferentes cotas. (COSTA, Tese de Doutorado, 1986). Sobre o dorso deste planalto, ocorrem elevações de 650 m até 750 m, e média de 700 m, (correspondentes aos chamados tabuleiros, impropriamente denominadas de serras) de configuração morfológica tabular, delimitadas por escarpas acentuadas (são as "serras" de Teixeira, Bodopitá, Paquevirá, de Princesa, dos Cariris Velhos, dentre outras), sendo que justamente sobre a Serra do Teixeira encontram-se as formas topográficas mais elevadas da Paraíba e do Nordeste, com destaque para o pico do Jabre.

Para a região Norte, ao sopé da serra do Teixeira desenvolve-se a chamada depressão de Patos, de cotas em torno de 250 m, correspondendo justamente à área de drenagem do rio Piranhas. (ALBUQUERQUE, 1984).

Resumindo, uma análise morfológica permite que distingam-se formas de relevo pertencentes a 3 ou 4 aplanamentos.

A primeira superfície de aplanamento engloba resíduos morfológicos mais altos (acima dos 1000 m), incluído aí o Pico do Jabre.

A segunda superfície de aplanamento, tem altitudes

variando de 750 m a 850 m, são as serras do Teixeira e Bom Bocadinho.

A terceira superfície de aplanamento trata-se da área de maior representatividade no Estado, com altitudes em torno dos 550m. Esta superfície constitue o núcleo do conhecido planalto da Borborema, já citado anteriormente.

E por último, a superfície dos 250 m, com cotas variando entre os 75 e os 250 m, sendo a mesma a mais esculpida do Estado e estabelecida na bacia do Rio Piranhas.

2.3.3. Hidrografia

O Estado é drenado por parcelas de 4 bacias hidrográficas: Piranhas, Curimatau, Jacú e Mamanguape e pela bacia do rio Paraíba, esta totalmente inserida no território paraibano.

A bacia do rio Piranhas tem seus divisores d'água formando os limites geográficos do Estado da Paraíba com o Ceará e o Rio Grande do Norte. A parte paraibana da bacia ocupa 26.000 Km² de área (Alto Piranhas). Nasce no extremo oeste do Estado, numa elevação de 600 m na região dos municípios de Bonito de Santa Fé, Monte Horebe e São José do Piranhas, corre na direção nordeste, atravessa o Estado do Rio Grande do Norte, drenando 18.000 Km² e deságua no Oceano Atlântico em Macau. Tem como principais afluentes paraibanos

os rios Piancó e do Peixe e alguns riachos tais como: Jericó, São José, da Onça, Baião, Santíssimo e Mata Fome. Outros afluentes, além destes, abrangem o Estado da Paraíba e do Rio Grande do Norte; os rios Espinharas, Sabugi e Seridó que nascem na Paraíba, mas que têm as suas confluências inseridas no Estado do Rio Grande do Norte.

A bacia do Rio Paraíba, nasce nas "serras" da Borborema, Cariris Velhos e da Charneca, formando divisores com a bacia do rio Piranhas. Drena porções central e parte da porção meridional, desembocando no oceano Atlântico, em Cabedelo.

A Bacia do rio Mamanguape drena cerca de 3.350 Km² da área estadual. Nasce no município de Pocinhos, numa altitude de 700 m (área mais seca do Estado), tendo como afluentes principais os riachos do Boi e Jacaré e o rio Aracají-Mirim.

As bacias dos rios Curimatau e Jacu, vizinhas, drenam a porção norte do Estado, desembocando no Litoral do Rio Grande do Norte. Sua parte paraibana é de cerca de 4.300 Km², dispondo-se o seu eixo principal na direção SW-NE. Tem como afluentes na Paraíba, rio Urubu, Riacho da Bola, do Cantinho, da Cruz e Cabaceiras (todos na margem esquerda), Salgadinho e Pirari (na margem direita).

O rio Jacu nasce em Cuité, drenando apenas 1.200 Km² do território paraibano. A bacia que o engloba, possui

características semelhantes à bacia do rio Curimatau.

Estas bacias são estabelecidas quase que totalmente sobre terrenos cristalinos, praticamente impermeáveis, o que facilita a ocorrência de regimes torrenciais, acarretando portanto um escoamento do tipo intermitente nos rios que drenam a Paraíba (ALBUQUERQUE, 1984).

2.3.4. Vegetação e Solos

A geologia juntamente com o clima local são fatores condicionantes na composição do tipo de solo e vegetação.

No Litoral o solo é arenoso, sendo que a vegetação é rala e herbácea.

Na superfície dos 250 m, os solos são azonais, arenosos, argilosos estabelecidos nos terrenos aluviais e leitos dos rios que os irrigam. A vegetação é baixa, rala, predominando as gramíneas, leguminosas, malváceas e secundariamente arbustos variados e algumas árvores entremeadas de cactáceas, por exemplo: a jurema, o pereiro, o angico, o marmeiro, o juazeiro, entre outros.

Na superfície dos 550 m os solos são pouco espessos, zonais, bem desenvolvidos, de caráter relativamente argiloso. Esta superfície corresponde às áreas condicionadas pelo clima rigoroso e influenciada pela constituição geológica predominantemente cristalina. A vegetação é mais densa,

dominando as Cactáceas e Bromeliáceas, caracterizadas por pequeno porte, com predominância de espécies espinhentas, de caules retorcidos (xique-xique, coroa de frade, a palma forrageira), entrecortadas por árvores lenhosas, tais como: o juazeiro, a catingueira, e a craibeira.

Nas serras a vegetação é densa e desenvolve-se as consideradas lavouras xerófilas, com destaque para a mandioca, a algaroba, a palma forrageira.

CAPITULO III

REVISAO BIBLIOGRAFICA

"O Sistema Cristalino é um meio fraturado, do tipo livre, de dimensões limitadas a zonas fendilhadas, heterogêneo, anisotrópico, onde existe recarga mas não existe circulação e descarga na zona de saturação.

O Sistema Cristalino tem potencial nulo, residindo a sua oferta na captação das reservas acumuladas no seio das fraturas a profundidades vias de regra superiores a dos talvegues da rede de drenagem superficial". (ALBUQUERQUE, 1984).

Por possuir características geológicas variadas que estão interligadas de forma bastante aleatória, o sistema cristalino não é conhecido claramente, principalmente quando se fala em quantificação e qualificação d'água neste meio. Estudos vem sendo feitos no sentido de ampliar a caracterização deste meio como sistema aquífero e também com o intuito de aprimorar o gerenciamento d'água, visando assim um melhor planejamento com relação as disponibilidades e ou necessidades hídricas da região semi-árida nordestina.

Observa-se nas referências bibliográficas que a SUDENE foi quem praticamente pôs um ponto de partida nas investigações com abordagens científicas, procurando pesquisar de uma forma mais elaborada, já que anteriormente os poços eram locados e perfurados aleatoriamente, a não ser, alguns estudos feitos localmente por técnicos.

Foi criado um grupo de trabalho de Águas subterrâneas da SUDENE, em 1962, sendo transformado em 1963 em Divisão de Hidrogeologia. Apartir daí, trabalhos feitos de uma forma sistemática começaram a surgir. Citaremos de forma breve, alguns trabalhos editados pela SUDENE, além de outros.

(SIQUEIRA, 1963) num trabalho feito com base em cerca de 400 poços perfurados no Nordeste, nas regiões do Curimataú, Cariri, Sabugi, Petrolina e Ouricuri, aborda critérios de locação de pozos. Com relação à estrutura e tectônicas, um dos critérios apontados, enfatiza ser o mapeamento geológico de grande importância, já que "a análise tectônica feita no campo e na interpretação do mapeamento resultante, deverá concluir sobre a natureza das ruturas e demais estruturas como fornecedoras de vazios aonde se tenha acumulado água subterrânea".

Faz uma classificação das falhas, fendas e fissuras, consideradas por ele de fendilhamento, em função de como se apresentam em relação a linearização das rochas, assim:

longitudinais ou paralelas a linearização;

transversais ou ortogonais a linearização;
radiais;
concêntricas;
em forma de rabo de cavalo;
horizontais.

associando cada tipo de fendilhamento a esforços diferenciados de tensão, o que acarreta consequentemente uma existência ou não de vazios, que sendo preenchidos por material poroso, permeável, podem ter importância como reservatórios subterrâneos.

Ainda em 1963, SIQUEIRA analisando os aspectos hidrogeológicos em perfurações feitas no Cariri Paraibano, lançando bases para identificação de fraturas daquela região e também visando um futuro programa de perfurações de poços no cristalino nordestino para atendimento à pecuária, ao abastecimento de núcleos populacionais e a irrigação, fez uma caracterização fisiográfica e geológica da área, observando a ocorrência de duas direções de fraturas: uma de direção N-S, transversal a linearização das rochas e outras de direção E-W paralela a linearização das rochas. Para o autor, os possíveis dobramentos, fendilhamentos e fraturamentos seriam resultantes de esforços de tensão cisalhantes de direção NE-SW. Estes mesmos esforços não causariam deformação plástica, devido a forte consolidação das rochas na área.

São "as estruturas sinclinais favoráveis à

acumulação da água subterrânea, quando as condições físicas (porosidade e permeabilidade) (...) são também favoráveis". (grifo do autor). (SIQUEIRA, 1963). Juntamente com esta afirmação o autor analisando estes parâmetros fundamentais nas rochas regionais afirma: "Cremos que os quartzitos e metarcósios no Cariri possuem porosidade mais marcante que a do modelo (...), devido aos fenômenos de intemperização parcial, de profundo alcance nestas rochas", classificando-as como de boa porosidade. Como possuidores de porosidade média engloba os xistos, metagrauvacas e gnaisses e encerra a classificação considerando os granitos, ortognaisses e migmatitos como sendo de má porosidade.

(SIQUEIRA, op.cit) extende os conceitos clássicos de porosidade e permeabilidade para porosidade e permeabilidade regionais. "O comportamento das rochas ante os esforços tectônicos, as zonas de contato de corpos intrusivos com as rochas pré-existentes, e a porosidade de vazios por volume total, de algumas rochas (...), são fatores que devem ser levados em consideração conjuntamente", definindo estes conceitos "como a somatória das porosidades e permeabilidades, intesticial e de fraturas, tomadas em escala regional" (ALBUQUERQUE, 1984). Esta nova concepção criaria também outra noção de manancial ou reservatório diferente da clássica. Segundo SIQUEIRA, reservatório deve se particularizar às dimensões de uma fenda, fratura, falha ou de uma zona de contato. Determinando-se os elementos de cada

reservatório, poder-se-ia depois fazer uma ampliação para uma unidade de área. São estes os elementos do reservatório a ser determinados: E(extensão); P(profundidade); A(área superficial de influência), determinada com estudo de campo especializado de aerofoto e V(volume de influência, onde $A \times P$
 $P = E/20$, determinada empiricamente e $V = \frac{A \times P}{2}$, volume de água disponível no elemento em estudo).

Com relação à localização das fendas o autor conclui que "a drenagem é o elemento preponderantemente indicador de fendilhamentos", principalmente o fendilhamento transversal, já que "...o longitudinal está frequentemente regelado ou tão estreitamente unido entre as paredes, que é insignificante a sua função como estrutura favorável à acumulação de água subterrânea". (SIQUEIRA, op. cit.). Hidrogeologicamente, afirma ainda haver possibilidade de se obter água subterrânea nas zonas de contato de intrusivas e discordantes em camadas metamórficas do Cariri Paraibano.

SIQUEIRA (op. cit) também faz uma abordagem no seu trabalho sobre a alta salinidade das águas que são captadas no Cristalino do Cariri, recomendando que na locação dos poços, visando obter águas de melhor qualidade, busquese áreas de boa drenagem; áreas limitrofes a riachos onde sejam grandes as diferenças de cotas a montante e a vassante do poço; rochas leucocráticas e áreas densamente atravessadas por pegmatitos de grande porte, (... sendo os pegmatitos de composição granítica, ... preenchedores de fendas,...).

Em 1965, o Departamento de Recursos Naturais da Sudene (Divisão de Hidrogeologia) concebeu o Inventário Hidrogeológico do Nordeste com o objetivo primordial de pesquisar os recursos de água subterrânea no Polígono das Secas.

Como resultado, de 4 anos de estudo têm-se a publicação de 12 relatórios com informes técnicos acerca dos recursos hídricos subterrâneos do Nordeste.

A folha N° 15: Jaguaribe-SE do mesmo Inventário, publicada, em 1971, estuda a área delimitada pelos meridianos 36° a 39° a oeste de Greenwich e pelos paralelos 6° e 8° de latitude sul, englobando portanto, grande parte do estado da Paraíba.

Sobre águas subterrâneas do embasamento cristalino, aborda a alimentação, o escoamento, aspectos hidrodinâmicos e possibilidades de exploração.

No tocante à circulação de água afirma que ela existe, em função de observações de medições da profundidade do nível estático em poços nos Cariris Velhos da Paraíba. Embora não explique claramente que tipo de circulação é considerada, diz ser a mesma influenciada pela topografia e pelo fraturamento dos terrenos cristalinos, sem fazer abordagem sobre a renovação e às perdas d'água existentes nos terrenos.

SCHOFF (1967), por ocasião da 5ª Semana de Estudos em Hidrogeologia Águas no Nordeste, em palestra proferida e posteriormente publicada, apresenta e debate alguns dos principais fatos relacionados com recursos de água subterrânea no Nordeste do Brasil.

Grande parte da publicação enfoca o problema de água em regiões onde predominam rochas précambrianas. O citado autor transcreve afirmações de outros autores acerca de possibilidades de se encontrar água nas rochas cristalinas, ficando claro a existência de contradições quanto a dever-se ou não perfurar poços em terrenos cristalinos.

Ressalta então os esforços e resultados da Sudene com relação às águas subterrâneas citando o primeiro grupo de trabalho da mesma no princípio de 1962, que em fins de 1963 tornou-se divisão de hidrogeologia, já citado, e então a preocupação dos geólogos na busca de um maior conhecimento da área cristalina, a fim da obtenção de maiores e melhores quantidades de água. Menciona então os trabalhos de SIQUEIRA (op. cit) e de COSTA (1963) na região de Monteiro - Sumé, no Estado da Paraíba, de TEIXEIRA e OLIVEIRA (1962), destacando algumas afirmações e conclusões dos mesmos no tocante a qualidade ou quantidade de água subterrânea captada e até complementando idéias.

Mostra então resultados de vazão em poços locados na área do polígono das secas, atribuindo que 56% dos mesmos

perfurados em rochas cristalinas podem dar vazões de 1000 ou mais litros por hora, 34% tinham vazões de menos de 1000 l/h e 10% eram secos. Avalia o sucesso ou não de um poço, expondo que é em função do objetivo que deve-se analisar este aspecto "o valor da água cresce a medida que a sua abundância diminui. Escassez valoriza a água". SCHOFF (op. cit.).

SCHOFF (op. cit) conclui buscando justificação para custos de perfuração de rochas no cristalino, declarando: "Estes benefícios não são facilmente estabelecidos em termos monetários. Porém onde os poços são utilizados pela população tanto para uso doméstico como para o gado, os benefícios, durante a vida de um poço, facilmente devem compensar o custo".

Na realidade, as declarações de SCHOFF (op. cit) são resultado da sua experiência no U.S. Geological Survey e da observação dos estudos feitos no Nordeste do Brasil pelos técnicos da SUDENE até então.

CRUZ (1967) reúne algumas informações resultantes de uma investigação na área de Paulistana, no Piauí, onde a drenagem se desenvolve sobre terrenos cristalinos. Foi observada uma coincidência das juntas e fraturas, indicando um sistema longitudinal, com a direção E-W da xistosidade e com outro sistema angular, parecendo ser a drenagem controlada por estes 2 sistemas, sendo confirmado o conceito de "riacho fenda" por SIQUEIRA (op. cit.).

A fim de verificar estas observações, CRUZ (op. cit.) fez uso de tratamento estatístico, comprovando a grande utilidade deste tratamento para estimar a extensão dos fatores lineativos no desenvolvimento da drenagem.

Com respeito a circulação de água definiu os seguintes tipos de reservatórios de fraturas:

1. "Fraturamentos incipientes, localizados, de pequena extensão. Aquífero livre, com poucas possibilidades de circulação.
2. Fraturamentos de grande extensão, intimamente conectados, com fendas de pequena profundidade. Aquífero livre, de "water-table", e circulação comandada pela topografia. Descarga natural restrita aos vales e mascarada pelos aluviões, quando existentes.
3. Fraturamentos mais irregulares e profundos. Fendas mais fechadas, menos permeáveis e de trama rarefeita. Aquífero confinado com circulação comandada pelas paredes das fraturas".

CRUZ (op. cit.), transcorre então sobre aspectos de salinidade da água, concluindo através de análises de águas subterrâneas que o aumento da salinidade está intimamente relacionado a um aumento de cloretos; há tendência a um aumento de sólidos totais dissolvidos com a profundidade, ou

seja, a medida que se aprofunda, tem-se maiores valores de resíduo seco e índices de cloro, sendo isto atribuído a menor circulação existente nas fraturas mais profundas. "... os critérios que conduzem a estimativas da qualidade da água são variáveis e muito dependentes do conjunto de influências e condições locais predominantes".

REBOUCAS (1971), como membro da SUDEME, publica um trabalho, onde faz estimativas preliminares das águas subterrâneas do Nordeste, atribuindo às reservas hidrogeológicas exploráveis das formações cristalinas um potencial muito fraco e completamente negligenciável, quando comparado com os aluviões considerando-se as superfícies ocupadas por cada sistema, declarando que águas subterrâneas do embasamento cristalino serviriam apenas de complementação ao sistema de acudes, juntamente com uma exploração sistemática das zonas aluviais, segundo técnicas apropriadas.

Com relação ao movimento das águas em meios fraturados, a bibliografia internacional é de difícil acessibilidade, sendo preponderantemente CUSTODIO e LLAMAS (1976), a principal fonte para conhecimento de trabalhos em outros países. Ainda mais os meios fissurados ali tratados são considerados meios permeáveis por fissuração, já que a rede de fissuras geralmente é intensa e distribuída uniformemente ao longo da rocha, havendo várias interconexões entre as mesmas. Estas características em nada se aproximam do nosso cristalino, onde as fraturas ocorrem de forma

esporádica, aleatória no corpo rochoso, com pequenas e fracas ligações entre as mesmas.

CUSTODIO e LLAMAS (op.cit) afirmam: "O comportamento hidráulico dos diferentes tipos de rochas consolidadas é muito variável e depende muitas vezes de fatores externos a sua própria composição", declarando que os esforços tectônicos condicionam os planos de fratura, o diaclasamento e etc... O clima condiciona a alteração superficial da rocha e a criação de mantos permeáveis ou pouco permeáveis. As ações endógenas são responsáveis pela existência de diques e intrusões que podem favorecer ou não o fluxo da água. Os autores acima também abordam sobre heterogeneidade e anisotropia dos meios fraturados, afirmando que segundo CASTILLO, KANADI e KRIZEK (1972), "o movimento da água em terrenos fraturados depende muito da orientação da rede de fissuras e da inclinação relativa de uns sistemas com relação aos outros. A situação mais provável a circulação da água é aquela em que um dos sistemas se dispõe ap *cito outros* paralelo a linha recarga-descarga. A forma da *autres intern.* freática depende das orientações das fissuras *e volca isso.* frequência e largura".

E óbvio que estudos feitos em aquíferos permeáveis por fissuramento não são aplicáveis ao cristalino paraibano, já que suas características são totalmente diferentes daquelas apresentadas por estes autores.

STEWART (1967) in CUSTÓDIO e LLAMAS (op.cit)
apresenta a figura 3.1 seguinte:

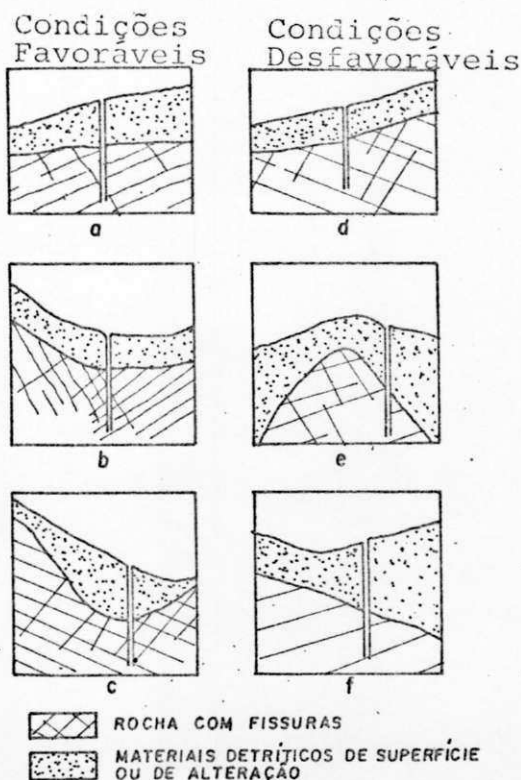


Figura 3.1 - Condições favoráveis e desfavoráveis para a perfuração de um poço em rocha fraturada. (Segundo STEWART, 1967 in CUSTÓDIO e LLAMAS, 1977).

- a) pouca declividade do terreno e fissuração no mesmo sentido
- b) fundo do vale com elevada fissuração
- c) facilidade de retenção dos materiais de superfície
- d) fissuração contrária a declividade dos terrenos
- e) facilidade de escoamento subterrâneo
- f) facilidade de escoamento subterrâneo e fissuração não favorável.

Com relação a permeabilidade, afirmam que as fraturas aumentam consideravelmente a permeabilidade do meio rochoso (sic), citando trabalhos realizados por SUCZYNSKY (1968) no Brasil, em que fraturas puderam dar de 3 a 6m³/h e fissuras entre 0,3 e 0,6 m³/h, isto em poços com profundidades entre 50 e 75m, com rebaixamentos entre 30 a 50m. Segundo GREENGARTEN e WITHERSPOON (1972) in Hidrologia Subterrânea, "quando os blocos são menores que 1m³ e a permeabilidade intersticial é maior que 10⁻⁵m/dia, o meio pode considerar-se homogêneo; em outras condições, o meio pode considerar-se homogêneo só depois de um tempo de bombeamento suficientemente largo".

CUSTÓDIO e LLAMAS (1976) também apresentam modelos estudados por autores estrangeiros, tais como:

- modelo de um sistema tridimensional cúbico de fissuras iguais, com a rocha encaixante permeável, segundo BARENBLATT, ZHELTOV e KOTCHINA (1960).

- estudo do caso de um poço de vazão constante que corta uma única fratura horizontal, ou uma única fratura vertical que passa pelo poço, sendo a fratura de dimensões finitas dentro de um meio poroso homogêneo, segundo GREENGARTEN e RAMEY (1971) e GREENGARTEN et al (1972).

E bem notório que os modelos apresentados são aplicáveis com algumas restrições até mesmo no campo das rochas consideradas permeáveis e que faz-se necessário um

maior conhecimento do meio fraturado, principalmente no que diz respeito à ocorrência de fraturas, disposição e condições locais das mesmas.

Sobre a produtividade dos poços perfurados em rochas cristalinas, declaram que a vazão de um poço é função da posição relativa das fraturas com respeito ao nível estático e não a profundidade do poço, já que passada uma zona de fraturas, pode ser que não apareçam mais em profundidade, funcionando o restante da perfuração como um mero depósito estanque.

Não é fácil conhecer a situação, nem a produtividade das fraturas quando é realizada a perfuração. CUSTÓDIO e LLAMAS (op.cit) comentam que "em sondas realizadas à rotação, as indicações sobre perdas de fluido podem ajudar. Em sondas perfuradas a percussão, as vezes os sondistas notam a presença de fraturas aquíferas pela perda de detritos e também as variações bruscas de nível são também muito significativas."

Também "... certos métodos de testificação geofísica permitem localizar a posição das fraturas, incluindo sua importância". Outras técnicas citadas em Hidrologia Subterrânea também são eficazes, inclusive pode-se realizar um reconhecimento óptico indireto quando se dispõe, de uma sonda submersível com televisão ou uma máquina fotográfica especial, no caso de poços de grande diâmetro, embora o

método nem sempre obtenha resultados claros quando as fraturas são estreitas. CUSTÓDIO e LLAMAS (Op.cit), aconselham que encontre-se a vazão de produção do pozo, através do seguinte método: O pozo é bombeado por etapas contínuas e consecutivas, a taxas crescentes.

- Mede-se os respectivos rebaixamentos em relação ao nível estático inicial ao fim de cada etapa.

Plotase os valores rebaixamento versus vazão em papel milimetrado, e constroi-se a curva característica.

Observa-se então que a curva é formada de duas partes com diferentes curvaturas, um trecho quase reto e outro de maior curvatura. O ponto em que há mudança da curvatura é a vazão máxima correspondente ao rebaixamento no ponto crítico. Este método é denominado **vazão crítica**.

Finalmente, comentando sobre análise estatística de dados de vazões de poços, supõe que a distribuição de vazões específicas ou vazões específicas por unidade de penetração seguem uma lei probabilística logarítmica (Lei de Galton), citando ainda que em determinadas ocasiões a lei de Frechet (função de distribuição extrema) resulta mais apropriada.

Ajustaram os dados de vazão por unidade de profundidade dos poços das ilhas de Gran Canaria a uma lei normal logarítmica, conforme figuras 3.2 e 3.3.

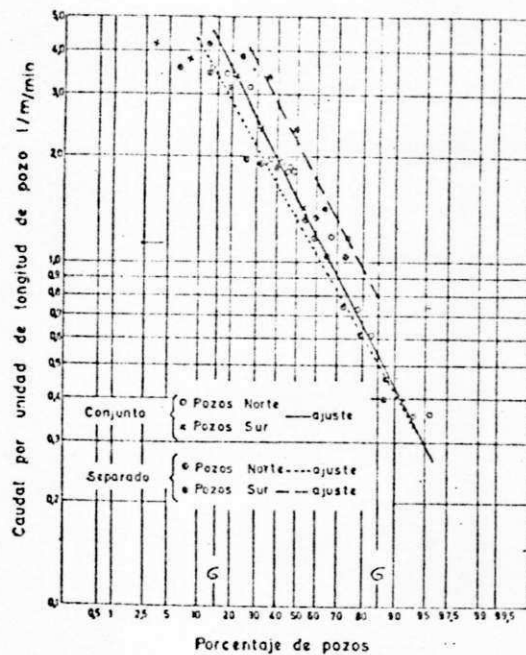


Figura 3.2 - Ajuste a uma lei normal logarítmica das vazões por unidade de profundidade dos poços de Gran Canaria agrupados por municípios. (Segundo CUSTÓDIO e LLAMAS, 1976).

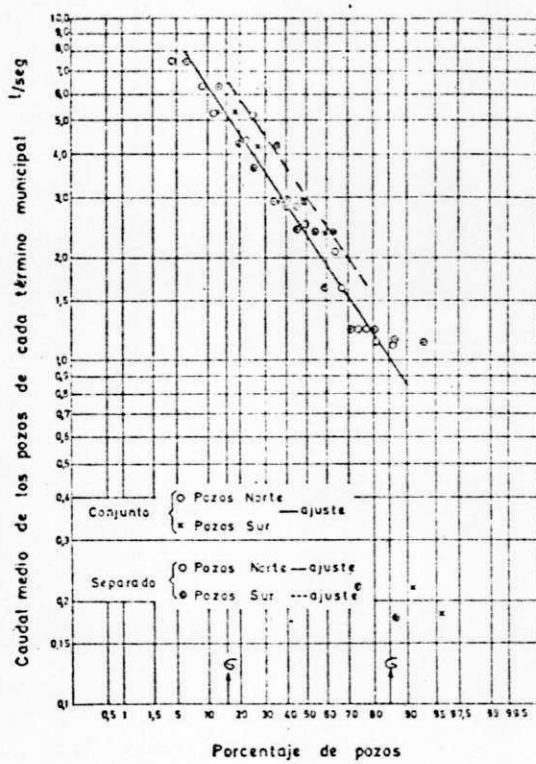


Figura 3.3 - Ajuste a uma lei normal logarítmica das vazões médias dos poços de cada área municipal da ilha de Gran Canaria. (Segundo CUSTÓDIO e LLAMAS, 1976).

WALTON e CSALLANY (CSALLANY 1965; WALTON, 1970, páginas 331-334) realizando estudos estatísticos, puseram primordialmente em relevo como influenciadores na produtividades dos poços, a influência do tipo e espessura da cobertura sedimentar, a topografia, assim como a diferença entre os níveis estatigráficos dos aquíferos dolomíticos ao Norte de Illinois. Os autores puderam concluir então que pozos cobertos por mantos compostos de areia e cascalhos produziam mais que aqueles cobertos por material argiloso relativamente impermeável. A maior espessura do manto também contribui para uma maior produção, além de observarem que em termos topográficos, um poço locado em rocha localizado em terreno montanhoso tem maior produtividade que um locado em vale rochoso.

LARSSON, (1977) faz no seu trabalho "Ground Water in Hard Rocks", apresentado num Simpósio Internacional, interessantes considerações geológicas, enfatizando especialmente as diferenças de fraturamento conforme o tipo de rocha. Segundo ele, estudos petrográficos e estudos da evolução tectônica à qual devem estar relacionadas as descontinuidades, devem ser desenvolvidos, pois um estudo não detalhado de uma descontinuidade, sem haver relacionamento com o tectonismo (evolução, tipos de esforços, estado da rocha ao ser tensionada, etc.), levariamos a um resultado muito restrito e incoerente com a realidade. ALBUQUERQUE (1964), concordando com LARSSON, afirma sobre fendas transversais:

"... a experiência comprova que nem toda fenda transversal tem a mesma origem. Algumas são de cisalhamento..., outras são desenvolvidas no estado plástico, outras no estado consolidado das rochas, outras são de origem tectônica e outras são de origem atectônica. Isto pode explicar as surpresas boas e más obtidas em perfurações."

Desde 1980, pela primeira vez, até hoje, em função do empenho e colaboração de profissionais especializados tanto em águas subterrâneas como em ciências afins, a ABAS - Associação Brasileira de Águas Subterrâneas promove de 2 em 2 anos, o Congresso Brasileiro de Águas Subterrâneas, onde são enfocados temas de grande abrangência no campo das águas subterrâneas.

Por ocasião do 1º Congresso em 1980, destacam-se alguns trabalhos associados à pesquisa de água subterrânea em aquíferos fissurados, entre estes, estão os trabalhos de Hausman: "Avaliação Qualitativa de Aquíferos Fissurados" e o trabalho de Costa: "A Hidrogeologia do Cristalino à Luz da Mecânica das Rochas".

COSTA (1980) declara em seu trabalho que três condições contribuem de forma básica na qualidade das águas subterrâneas do cristalino:"

- "dificuldade de alteração química das matérias (litologia);

- possibilidade de realimentação d'água periódica (pluviometria);

- facilidade de percolação da água no interior do macizo rochoso (estruturas)."

Já com relação a quantidade de água aborda a configuração estrutural dos maciços rochosos como principal influência dos condicionantes naturais, não só em quantidade, mas em qualidade de água também.

Faz citação de trabalhos anteriores seus, onde concluiu que as fraturas transversais apresentaram melhores vazões, seguidas em segundo lugar pelas fraturas longitudinais sendo as angulares, às que apresentaram piores condições quantitativas e qualitativas.

COSTA (op. cit) afirma que em estudos anteriores desenvolvidos de 1963 a 1966, por falta de correlacionamento dos fenômenos geológicos com os princípios da mecânica das rochas, concebia-se as fraturas longitudinais como resultados de fenômenos compressivos, estando assim, fechadas. Na realidade em 1980, o autor passa a acreditar que às fraturas longitudinais estão relacionadas com o alívio de tensões que ocorre nos fenômenos epirogenéticos positivos em áreas anteriormente submetidas a elevadas tensões compressivas, tangenciais à crosta considerando-as como boas para exploração.

HAUSMAN(1980), aborda a complexidade existente em quantificar a produção de água em meio fissurado, devido a grande anisotropia existente no meio, ressaltando de forma bastante clara a incompatibilidade ou impraticabilidade do uso das formulações teóricas clássicas ao comportamento do fluxo da água em maciços fissurados.

O autor enfoca o problema da manutenção da vazão de testes, determinados em bombeamentos, com duração superior a 24 horas, testes estes que, segundo HAUSMAN desencadearam um processo de diminuição gradativa de descarga, em alguns poços alcançando quase a exaustão. Esta ocorrência nos poços perfurados no cristalino levou HAUSMAN a utilizar alguns recursos, de forma a diminuir ou mesmo evitar o desencadeamento deste fenômeno. Assim foi desenvolvido um método que permitia avaliar quantitativamente o desempenho futuro do poço, caso bombeado com a vazão de teste, usando unicamente os dados de ensaio de bombeamento, utilizando-se da curva de recuperação, ou seja, a observação das curvas de recuperação permitiu a HAUSMAN distinguir aspectos que podem ser interpretados como aquíferos com uma permeabilidade K junto ao poço e outra K_1 mais afastada.

"Curva de Poço Estável - as curvas de recuperação que apresentam estabilidade de vazão, mostraram uma peculiariedade bem definida, que de certa forma, podemos definir como uma curva que apresenta um aumento de permeabilidade com o afastamento do poço, esta curva pode ser

caracterizada como: $K < K_1$. O segmento de curva representando permeabilidade K_1 deve apresentar sempre a porção do tempo de observação mais prolongada que o do representativo da permeabilidade K . Curva de Poço Instável - Os poços que não apresentam manutenção da vazão de teste, apresentam as curvas de recuperação com um aspecto inverso ao dos anteriores. Ela pode ser caracterizada como uma curva que apresenta diminuição da permeabilidade com o afastamento do poço. Esta curva pode ser caracterizada como $K > K_1$, o segmento da curva que representa a permeabilidade K_1 , deve apresentar sempre a porção de tempo de observação mais prolongada caracterizando-se por um mergulho acentuado."(HAUSMAN,1980). ver figs 3.4 e 3.5, onde t representa a soma do tempo de recuperação (t') + tempo de bombeamento e R/m representa a recuperação residual dos poços analisados.

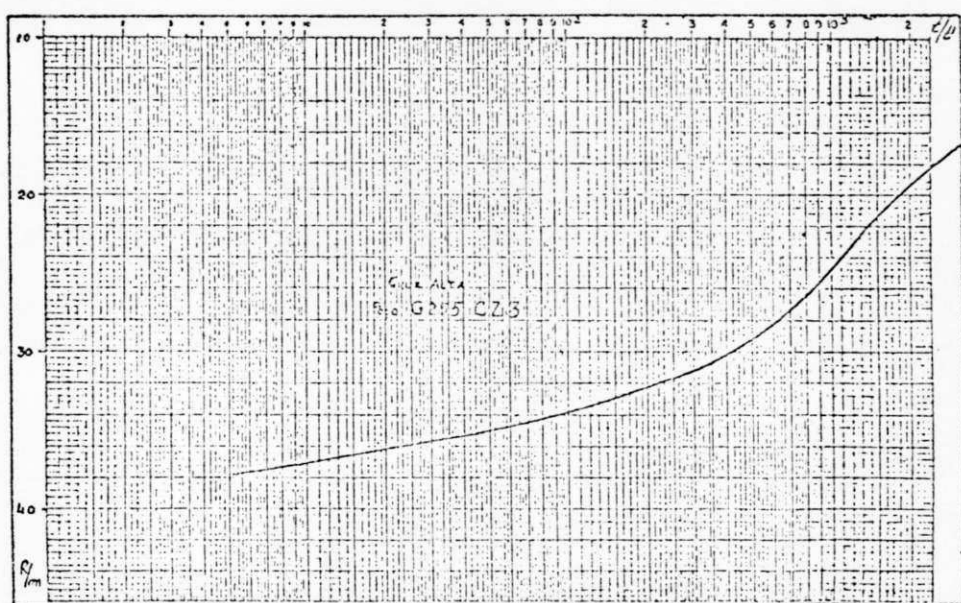


Figura 3.4 - Curva de poço estável. (Segundo HAUSMAN,1980).

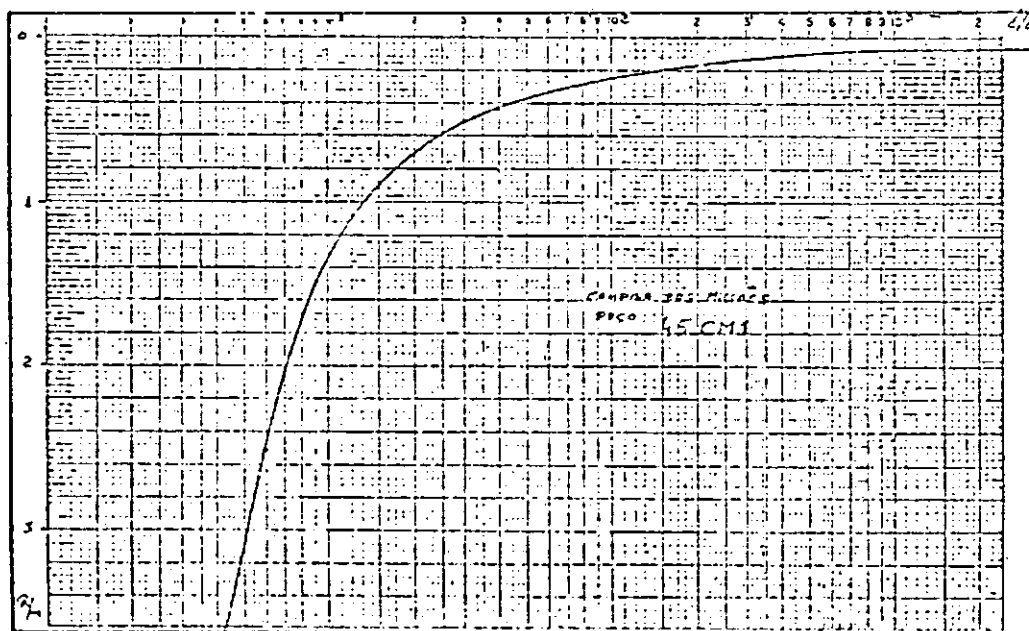
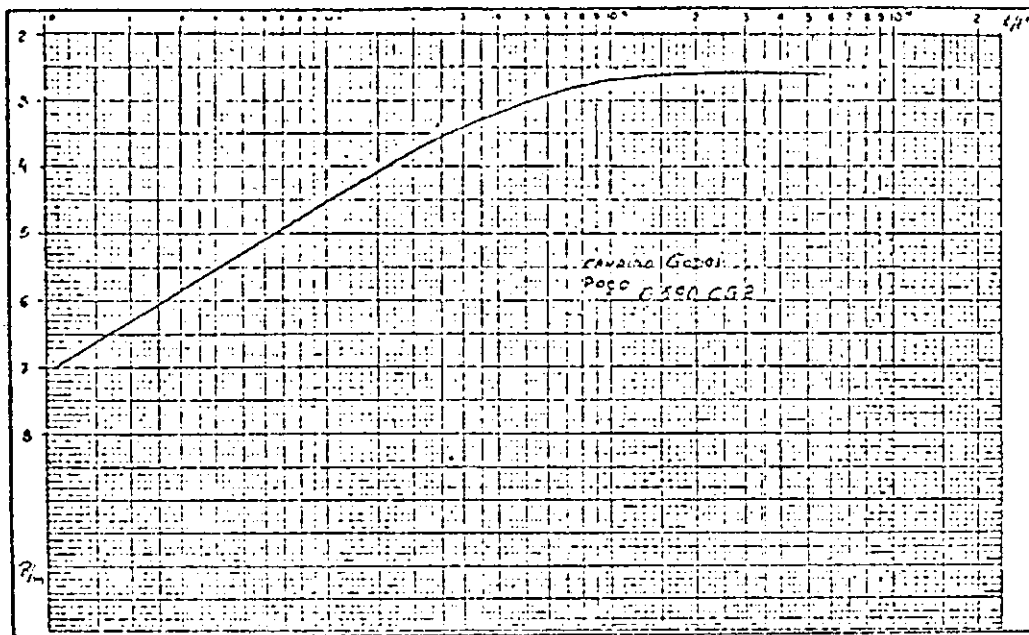


Figura 3.5 - Curva de poço instável. (Segundo HAUSMAN, 1980).

A análise das curvas em mais de 150 poços em operação, deu ao autor, uma indicação da possibilidade ou não de exploração do poço, evitando assim o investimento em

equipamentos de extração e controle em poços não satisfatórios.

Nos outros Congressos Brasileiros de Aguas Subterrâneas, ocorridos até hoje, observa-se também alguns trabalhos interessantes, sendo que a grande maioria deles, quando abordam o estudo quantitativo e qualitativo da exploração de água em rochas fraturadas, se restringem a aspectos específicos bem peculiares, não sendo portanto, aqui citados.

O PLIRHINE - Plano de aproveitamento Integrado dos Recursos Hídricos do Nordeste - Fase I (1980), foi um resultado de estudos globais sobre recursos hídricos do Nordeste, suas potencialidades e disponibilidades, buscando, associar de forma harmônica, integrada, os recursos hídricos superficiais e subterrâneos, alegando, certamente, que os mesmos devem ser tratados como uma unidade.

O referido trabalho traz considerações e nova conceituação do que seja Recursos, Potencialidades, Disponibilidades, e Reservas (grifo nosso), afirmando que as terminologias e conceitos utilizados anteriormente eram diversos e divorciados numa avaliação do sistema hídrico superficial, dificultando assim, o entendimento e as avaliações de águas subterrâneas do Nordeste.

Com relação ao sistema cristalino ressalta:

"...trechos do curso retilíneo dos rios, geralmente coincidem com fendas e fissuras. Neste sentido, as dimensões superficiais do reservatório (no caso fendas), são praticamente, as mesmas do trecho retilíneo dos rios". Com relação à profundidade, afirma ser difícil determinar a extensão do fendilhamento, e baseado em dados de perfurações afirma:

"...Parece, pois, razoável admitir que perfurações no cristalino não devam exceder os 60m".

Cita os depósitos aluviais e ou eluviais, como fatores que quando sobrepostos às fraturas, sob condições favoráveis à recarga e à acumulação d'água, constituem importantes fontes de suprimento d'água para a região, com bons índices de vazão. A determinação das disponibilidades nestes depósitos deve ser feita com o conhecimento da espessura saturada, das características hidráulicas e dos rebaixamentos máximos admissíveis.

Com relação à circulação d'água no cristalino, PLIRHINE afirma estar subordinada, principalmente à topografia, à hidrografia e à pluviometria.

Avaliando o potencial e as disponibilidades do S. Cristalino o PLIRHINE observa que:

- a metodologia da vazão de base do trimestre mais seco, não deve ser usada, uma vez que grande parte dos rios

estabelecidos sobre o cristalino têm vazão de base nula quando analisado desta forma. (As rápidas precipitações, associadas às características do meio, contribuem fortemente para este resultado);

- Poder-se-ia então buscar analisar hidrogramas de rios em postos hidrométricos existentes, mas o pequeno e insuficiente número destes, assim como a precária qualidade dos dados impedem uma avaliação;

- Quantificar pelas entradas é desaconselhável, uma vez que, a precisão da determinação da lámina infiltrada, é insuficiente, devido à espessura delgada da mesma.

Optou-se então nas zonas fraturadas por uma análise estatística, visando obter vazões exploráveis. Com dados de 589 poços, classificados segundo tipos de rochas e também por regiões naturais de ocorrência, foram buscados ajustes a distribuições de frequência. Visando uma maior homogeneidade nos dados, dividiu-se a vazão específica pela profundidade do poço.

Com um melhor ajuste foi admitida a Distribuição Log Normal em papel de probabilidade apropriado. Foram grafadas, as devidas curvas teóricas, definidas pela lei Log-Normal, para cada classificação feita, como também foi feito o teste Qui-Quadrado para testar a aderência da função às observações disponíveis.

Considerando o ajuste feito foram estimadas probabilidades de ocorrência de vazão para uma dada vazão específica, e também determinações tipo; dado as probabilidades de ocorrência, obter as mínimas vazões esperadas.

O FLIRHINE conclui com a análise estatística feita que, o modelo escolhido deva ser aplicado com restrições, principalmente quando se relaciona com as sub-divisões feitas, devido a insuficiente quantidade de dados. Enfatiza a necessidade de novas perfurações e de um aprimoramento nas mesmas, visando assim, um melhor aproveitamento dos dados e consequentemente maior objetividade científica nos estudos feitos no sistema cristalino.

Finalmente, cita a análise química das águas do sistema cristalino feita pelo Inventário Hidrogeológico Básico do Nordeste, tecendo alguns comentários sobre o Resíduo Seco em aluviões e no cristalino fendilhado.

ALBUQUERQUE(1984), estudando os recursos de água subterrânea do Trópico Semi-árido do Estado da Paraíba, fez uma excelente revisão bibliográfica dos últimos 30 anos até então e com informações complementares de registros de pozos e fluviômetros, caracterizou quantitativamente e qualitativamente os sistemas aquíferos no Estado. Com relação ao Cristalino discutiu e estudou proposituras existentes em termos de natureza, dimensões, parâmetros fundamentais,

comportamento hidráulico do meio natural e pozos.

No capítulo 5 do seu trabalho, com relação ao comportamento hidráulico do meio Cristalino aborda, quando fala em recarga, que todos concordam haver condições normalmente difíceis, enfatizando: "não há como, realmente, ao nível da disponibilidade tecnológica atual, avaliar esta taxa de recarga. Apenas pode-se afirmar que ela se processa com as precipitações através da superfície das fraturas nuas(desprovidas de capamento aluvial/eluvial)", isto devido a sua constatação do esvaziamento dos reservatórios de dois acudes, cujas barragens foram construídas transversalmente à fraturas expostas no leito dos riachos respectivos.

ALBUQUERQUE(*op.cit*) acredita também que uma cobertura aluvial de fendas facilite a recarga, acrescentando que a recarga só se processa com as chuvas, já que uma vez cessadas, as condições de carga parecem não favorecer mais a alimentação, devido os níveis hidrostáticos tenderem imediatamente a uma unificação.

Com relação à circulação e à descarga naturais, cita opiniões de alguns autores, tais como: TALTASSE et alii(1961); o próprio ALBUQUERQUE(1968); REBOUCAS(1973); CUSTÓDIO e LLAMAS(1976), PLIRHINE(1980) e expõe que a luz de uma análise reflexiva das afirmações contidas em trabalhos na Paraíba, no Nordeste e no Brasil, a circulação horizontal no seio de tais meios, não existe, ou se existe, é mínima,

havendo contudo uma circulação vertical descendente, correspondente ao período de recarga, verificada num curto período de tempo, segundo Ebert(1961), algumas semanas após o período chuvoso, por várias razões citadas pelo mesmo, em função da pesquisa bibliográfica feita. Na verdade para ALBUQUERQUE(op.cit) o que deve existir verticalmente é um movimento tipicamente capilar dada a proximidade da superfície do terreno(no caso, o leito do curso d'água), logo após a recarga, o nível hidrostático é imediatamente rebaixado pela ação da evapotranspiração.

Afirma ainda que como consequência da não existência de movimento, não existe também, descarga natural no meio Cristalino.

No sistema fraturado não há praticabilidade de cálculo de vazões exploráveis de poços a partir de testes de aquífero. ALBUQUERQUE(op.cit), descreve os testes de produção utilizados mundialmente, ou seja, o ensaio de vazões escalonadas e crescentes correspondentes a etapas contínuas de bombeamento, em número de, pelo menos, três, a fim de se determinar a vazão crítica e posteriormente a vazão de exploração e o teste baseado na recuperação do nível hidrostático em função da velocidade de subida da água num poço de secção conhecida, calculando-se a vazão do poço pela equação da continuidade em fórmulas simples, aplicadas a condutos livres.

A CDRM (Companhia de Desenvolvimento de Recursos Minerais - Pb), uma das empresas que faz perfurações de poços no Estado e, de onde os dados para nosso estudo foram colhidos, não aplica o método de escalonamento, devido a ter-se dificuldades em tal escalonamento, usando os equipamentos disponíveis na empresa.

ALBUQUERQUE(*op.cit*), observou também que o outro tipo de teste trazia resultados incoerentes com a realidade, uma vez que obtinha-se uma estabilidade que não assegurava a continuidade da exploração, isto por não haver intercepção de fontes de recarga permanentes, com regime de escoamento transitório.

Passou-se então a analisar a vazão específica, ao invés da vazão, introduzindo a dimensão do rebaixamento no teste, o que assegurou uma melhor representatividade dos parâmetros hidráulicos do meio fraturado.

A CDRM utiliza então o método de extrapolação da vazão específica:

- Constroi-se curvas de vazão específica (Q/s) x Tempo(t) de bombeamento em papel semi-logarítmico (ver fig 3.6).

- Com a curva (Q/s) x Tempo(t), calcula-se a diferencial de vazão específica para um ciclo logarítmico. É importante que a diferencial seja calculada a partir do ramo

mais representativo da curva.

- Extrapolase no tempo tal diferencial, obtendo-se uma vazão específica projetada que, multiplicada pelo rebaixamento máximo admissível, dado pela profundidade da última ou da entrada d'água mais produtora(fornecida pelo teste), fornece a vazão máxima de exploração do poço.

- normalmente recomenda-se que a vazão de exploração esteja em torno de 50% da máxima explorável, devendo sempre ser inferior a esta.

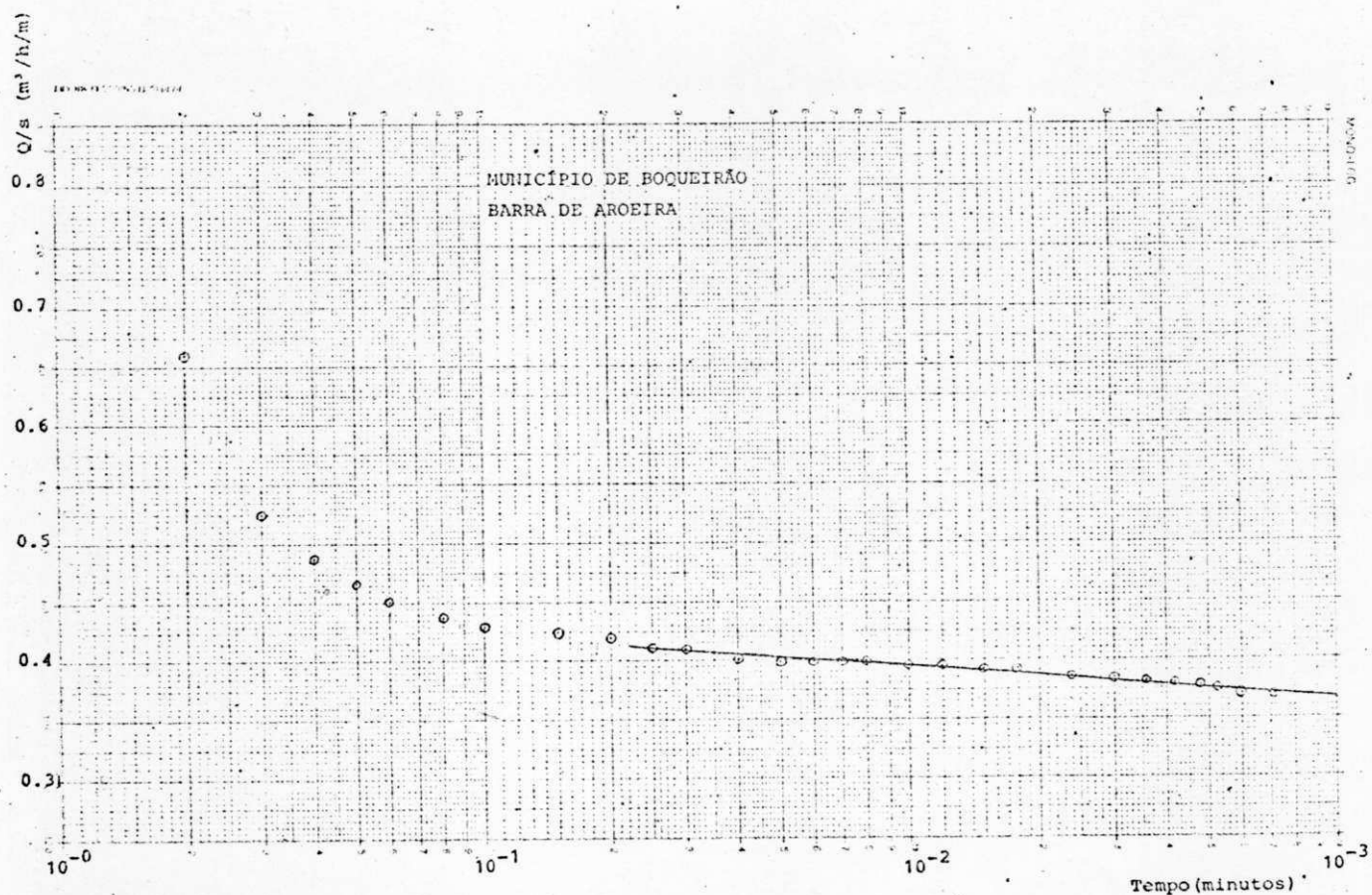


Figura 3.6 - Curva vazão específica (Q/s) versus tempo (t).

ALBUQUERQUE(op.cit) afirma que as reservas

constituem o único contingente hidrico do sistema cristalino dependendo das características dimensionais e porosidade eficaz, que ainda hoje são inquantificáveis. Às vezes, segundo ALBUQUERQUE, confunde-se o potencial do sistema cristalino com o do sistema aluvial, que às vezes lhe é sobreposto. São dois sistemas distintos, pois claramente observa-se que a carga hidráulica do cristalino é inferior à carga do sistema aluvial.

Analizando qualitativamente as águas do Cristalino paraibano, ALBUQUERQUE(*op.cit*) faz uma classificação das águas nos intervalos:

RS≤2000mg/l (limite para consumo humano)

2000<RS≤4000mg/l (4000 mg/l é o limite para o consumo animal bovino, suíno e equino)

4000<RS≤6000mg/l (6000 mg/l é o limite para o consumo animal ovino e caprino)

RS>6000mg/l (dependência do uso em função da dosagem de outros elementos na água).

Frisa ainda que para consumo humano, o limite deva ser visto com reservas, devendo-se observar as dosagens de outros elementos iônicos na água.

Com relação ao uso para irrigação adotou a classificação do U.S.Salinity Laboratory (USSL), Riverside,

na Califórnia.

Em análises de águas subterrâneas paraibanas, observou divergências de comportamento químico:

Na bacia do rio Piranhas, 81.8% dos poços apresentavam $RS \leq 2000$ mg/l (quase a totalidade da água se prestando ao consumo humano), havendo apenas 3.9% dos poços com $RS > 6000$ mg/l. Já com relação à irrigação, há restrições, pois 81.8% dos poços apresentavam águas com RS superior a 500 mg/l, sendo consideradas águas de alta salinidade.

Nas demais bacias, dominaram águas com RS superiores a 2000 mg/l, com áreas como Cariris Velhos (com exceção da área Monteiro-Sumé), Curimatau e Agreste, que predominaram águas com $RS > 6000$ mg/l, aparecendo apenas o brejo com águas com $RS \leq 2000$ mg/l. Tudo isto significou enormes restrições quanto ao uso da água para irrigação e consumo humano, prestando-se melhor para o consumo de animais.

Em agosto de 1985, aconteceu o I Simpósio Nacional de Água Subterrânea em rochas Fraturadas, em Belo Horizonte, onde foram apresentados vários estudos, que de uma forma clara e objetiva visavam caracterizar e ampliar os conhecimentos no meio cristalino. Entre estes estudos, há a interessante pesquisa bibliográfica internacional em água subterrânea em rochas fraturadas feita por FRANGIPANI, que também fez sínteses de trabalhos no Brasil, declarando que a metodologia empregada aqui é basicamente similar àquelas de

autores estrangeiros.

Com relação a trabalhos estrangeiros aborda que o UHL, "efetuando pesquisas no Escudo Indiano, através da análise estatística procurou correlacionar vários parâmetros a fim de determinar as correlações mais favoráveis. Os parâmetros considerados foram: profundidade do poço; profundidade do solo de alteração e das rochas alteradas; profundidade do aquífero ou das estruturas portadoras de água; vazão medida em vertedouro durante a perfuração; teste de vazão; capacidade específica. Foram considerados, ainda, aspectos geológicos, estruturais e climáticos.

Com a utilização do computador foram determinadas correlações, lineares ou não entre as seguintes relações: profundidade do poço com vazão; profundidade do poço com profundidade de aquífero; vazão com profundidade do aquífero; profundidade da cobertura com profundidade do aquífero; vazão do vertedouro com capacidade específica; vazão teste com capacidade específica."

Também outros trabalhos têm destaque no Simpósio, como o de HAUSMAN, onde enfoca os "Aspectos Hidráulicos da Circulação em Aquíferos Fraturados."

COSTA (1986) visando uma maior compreensão e conhecimento do comportamento hidrogeológico do aquífero fissural, (denominação dado pelo autor para o comportamento hidrogeológico das rochas duras fraturadas), analisa fatores

fisio-climáticos regionais, o mecanismo de origem tectônica e lito-estrutural das rochas e a dinâmica dos fluxos da água em fraturas, fatores estes que influenciam na quantidade e qualidade d'água captada em poços subterrâneos, estabelecendo critérios de locação de poços, com a finalidade de obter melhores vazões e menores índices de salinidade.

O estudo foi desenvolvido nos Estados do Rio Grande do Norte e Paraíba. Foram relacionados fatores que atuam sobre as perfurações, com a vazão específica e o resíduo seco e também construídos gráficos e análises de tabelas estatísticas, sendo apresentados índices de correlação entre as variáveis analisadas.

O trabalho foi dividido em 3 partes. A 1ª versa sobre os conceitos fundamentais, onde estão incluídos os fatores que atuam no aquífero fissural e também aborda-se a dinâmica do fluxo em fraturas, com conceitos hidráulicos fundamentais e características geométricas do meio fissurado. A 2ª parte faz uma caracterização fisiográfica e geológica da área em estudo e por último a 3ª parte apresenta os estudos realizados na região citada.

Na primeira parte do estudo, COSTA (1986) afirma que os fatores que atuam na hidrogeologia do meio fraturado são agrupados em dois tipos:

fatores exógenos (ou extrínsecos), tais como; clima, relevo, hidrografia, vegetação, infiltração ou ascensão de

soluções, coberturas sedimentares.

fatores endógenos (ou intrínsecos) - estruturas geológicas e mecânica das rochas; Mecanismo de deformação ruptural no macizo rochoso; a mecânica das rochas; processos dinâmicos na crosta terrestre; descontinuidades intrínsecas do macizo rochoso; processos físicos exógenos, etc.

Tece comentários sobre cada um destes elementos, referindo-os à qualidade e a quantidade de água no meio fissurado.

Concorda com o termo "riacho-fenda" já abordado anteriormente, reconhecendo que "...Nessa situação, facilmente reconhecida na fotografia aérea e mesmo no local, devido a retilíneidade adquirida por trechos do rios ou riacho, seguindo direções preferenciais, existe a condição de infiltração de água nas aberturas da rocha fraturada, com possibilidades favoráveis de armazenamento, na subsuperfície".

COSTA (1986) analisando as influências das características físicas das rochas em sua deformação ruttural, assim como as propriedades litológicas das mesmas, dá enfase a algumas "constatações" que são na verdade, condições óbvias, naturais, universais, condizentes a Mecânica das Rochas, tais como:

- a) Ao ser tensionada, o comportamento estrutural de

uma rocha, depende das proporções existentes entre os minerais de resistências diferentes;

b) Os minerais granulares e isentos de planos de clivagem são mais resistentes ao cisalhamento, enquanto que nos placosos ocorre o contrário;

c) Quanto mais grossa a textura da rocha, menor sua resistência; dada a influência nestes casos do plano de clivagem dos cristais mais desenvolvidos;

d) Rochas não orientadas, com predominio de minerais resistentes, apresentam baixa frequência de ruptura, embora quando há planos de fratura originados por trações, estes são mais abertos;

e) Nas rochas metamórficas orientadas, quanto mais baixo o grau de metamorfismo, menor é a resistência ao cisalhamento e mais elevada a energia de deformação acumulada, aumentando a intensidade de ruptura por cisalhamento. Todavia, as rupturas por tração apresentam planos quase tão fechados quanto as de cisalhamento. É o caso das ardóseas e filitos, que embora possuam uma grande quantidade de fraturas, essas são em geral, quase fechadas;

ALBUQUERQUE oralmente declarou que esta afirmação de

COSTA com relação às ardóseas e filitos, contraria a lógica, um vez que as fraturas das mesmas tendem a ser mais abertas, por se originarem nas proximidades da superfície da Crosta Terrestre. O fechamento ou seu rendimento, fica por conta da granulometria e da alteração, que é de natureza argilosa.

f) Nas rochas orientadas, de elevado grau de metamorfismo, a resistência ao cisalhamento é maior e a energia de deformação acumulada é baixa, no que resulta um menor número de fraturas, porém com maior abertura (nas fraturas tracionais). É o caso dos gnaisses e secundariamente, dos micaxistas, onde a intensidade de fraturas é baixa e as suas aberturas são relativamente maiores do que as rochas de baixo grau metamórfico.

COSTA (1986), ressalta novamente o processo de epirogênese positiva em uma região da crosta anteriormente afetada por processos orogenéticos, ilustrando também alguns tipos de falhamentos ocorrentes por processos físicos exógenos. Figs. 3.7, 3.8, 3.9, 3.10.

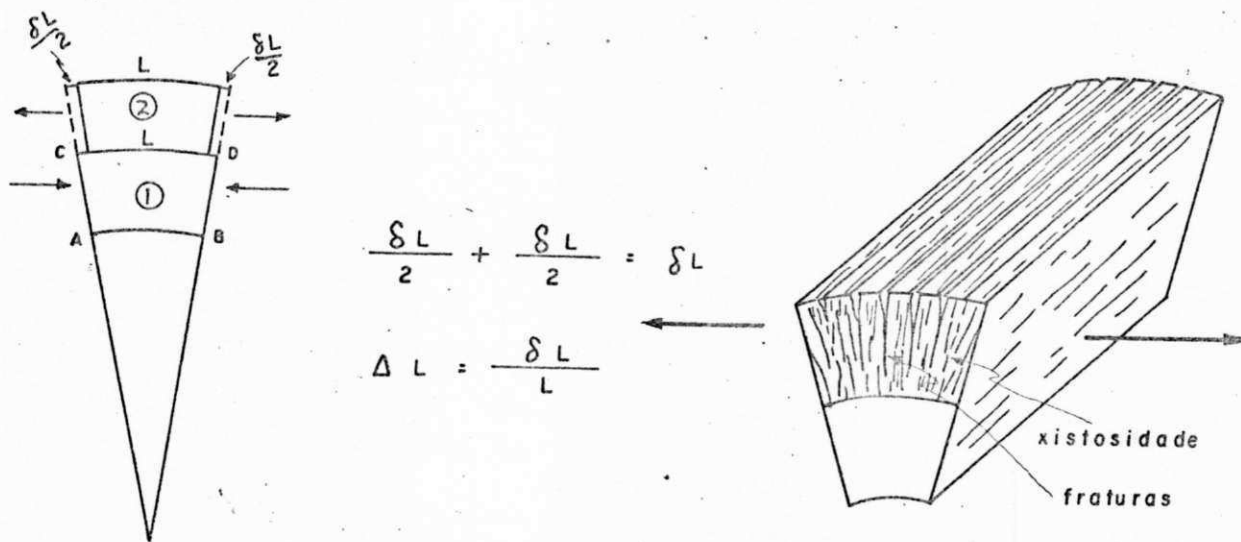


Figura 3.7 - O bloco ABCD subiu por epirogenese da posição (1) para (2), havendo um acréscimo de espaço lateral ΔL . Como resultados surgiram fraturas de tração paralelas à xistosidade, chamadas de longitudinais (Segundo COSTA, 1986.)

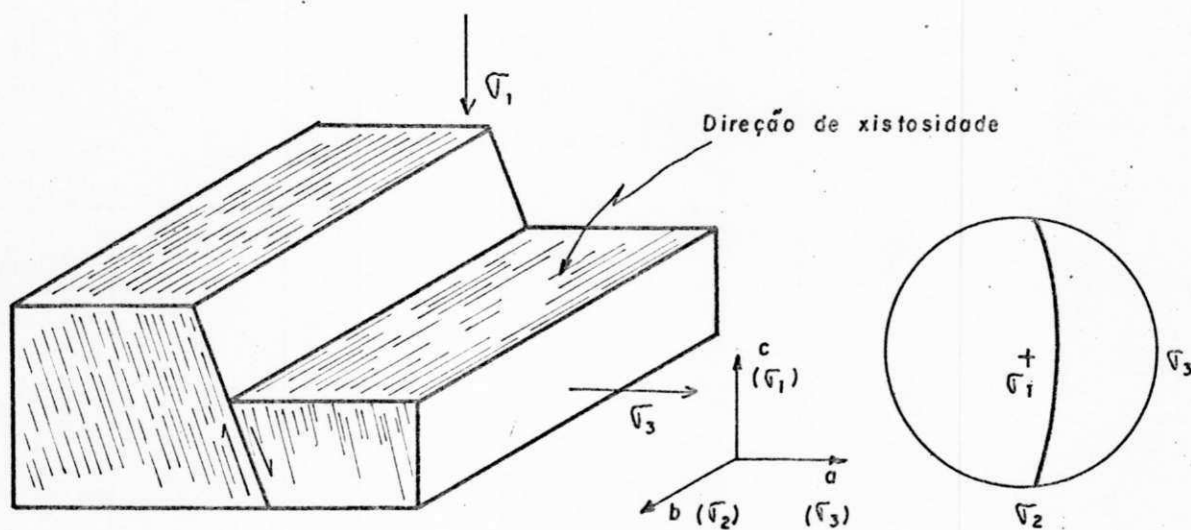


Figura 3.8 - Esquema ilustrativo de um falhamento de gravidade produzido por um esforço tracional próximo à superfície. Tudo se passa como se a maior tensão compressiva estivesse na vertical (Segundo COSTA, 1972 in COSTA 1986)

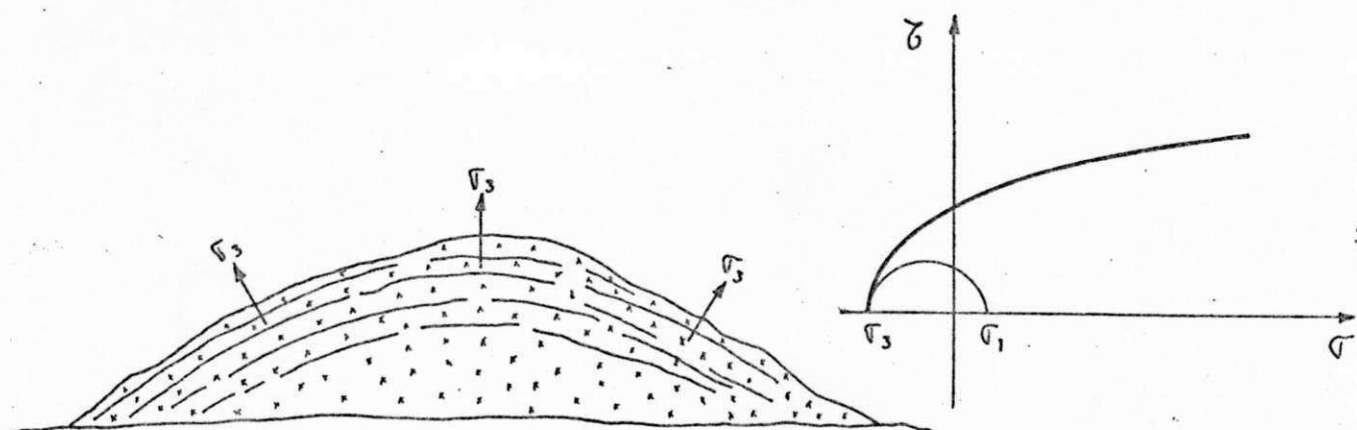


Figura 3.9 - Esquema de formação das juntas de descompressão ou "sheet joints". Pela erosão a tensão se passa de compressiva para tracional, acarretando o fendilhamento paralelo à superfície topográfica. (Segundo COSTA, 1986).

No que diz respeito à constituição litológica (módulo de plasticidade x rigidez), concorda com a mecânica das rochas que quanto mais competentes as rochas, menor a intensidade de fraturamento, para uma mesma intensidade de esforço ou tensão, mas em compensação, mais abertas são as fraturas nela existentes, citando como exemplo que o gnaisse tem menor fraturamento que o micaxisto, embora suas fraturas sejam mais abertas que as do micaxisto. Considera também a orientação da rocha como influenciadora na quantidade de água armazenada, havendo portanto, um maior desenvolvimento de planos de fraturas em rochas orientadas. Na realidade existe orientação porque sofrem esforços, os planos são resultados destes esforços, tendendo por isto, a serem fechados. Ainda mais, cita o contato entre duas unidades petrográficas distintas como uma situação litológica favorável à acumulação de água.

Analisando em termos geológicos, considera que estruturas representadas por rupturas do macizo sob efeito de esforços tracionais, além daquelas de alívio de pressão, são mais favoráveis à locação do poço do que às representadas por esforços que resultam em aberturas muito reduzidas, chegando até a serem regeladas. A associação do diaclasamento com o dobramento e as descontinuidades também são consideradas pelo autor como importantes na locação do poço, apresentando situações que variam de boa possibilidade de acumulação, passando a situação regular até a situação hidrogeológica desfavorável, em função dos ângulos de mergulho dos flancos das dobras. Ângulos superiores a 60° são desfavoráveis, enquanto que ângulos inferiores a 30° propiciam maiores aberturas em fraturas longitudinais e, portanto, maiores possibilidades ao longo dos planos de descontinuidades originais.

Quando se analisa o mergulho dos planos de fraturas, COSTA (1986) enfoca a importância de observar o número de fraturas interceptadas pelo poço e a abertura das fraturas, coisa que nem sempre é possível, dado a limitação de equipamentos e ao tipo de coleta feito. Quanto menor o mergulho das fraturas, tem-se maiores chances do poço interceptar maiores quantidades das mesmas, isto se as fraturas tiverem um mergulho constante, segundo uma só direção. "É melhor interceptar um menor número de fraturas, porém com maior abertura do que um maior número com menores

aberturas. A situação ideal todavia, é aquela em que uma fratura principal de forte mergulho está associada a fraturas secundárias de menor intensidade, e que numa perfuração se possa atingir simultaneamente os dois tipos". COSTA (1986).

Concluindo o segundo capítulo do seu trabalho, faz uma adaptação dos estudos anteriores de LEGRAND (1959) e CAMPBELL (1977) combinando algumas condições que juntas, comumente criam situações bastante ocorrentes na prática, em poços onde a profundidade total é de 80 m com 15 m de revestimento. Ver Fig. 3.10.

Sobre dinâmica do fluxo em fraturas, traz à tona inicialmente, os conceitos hidráulicos fundamentais: regimes de escoamento; fluxo laminar e fluxo turbulento; nº de Reynolds; Lei de Darcy e sua validade; condutividade hidráulica e permeabilidade, para depois comentar sobre as características geométricas do meio fissurado, desde a fissura elementar, enfatizando a abertura, rugosidade das paredes, preenchimento das mesmas até o meio fissurado, envolvendo as suas características físicas e hidrodinâmicas. Considera então as formulações teóricas sobre o escoamento dos fluidos em seção circular como servidoras de base para escoamento em fraturas, atribuindo para o escoamento laminar de fluido Newtoniano numa fratura lisa a equação de Poiseuille e para o fluxo turbulento, fórmulas empíricas estabelecidas para condutos circulares através de um diagrama que relaciona o coeficiente de resistência l , com o número de

Reynolds, segundo LOUIS (1969).

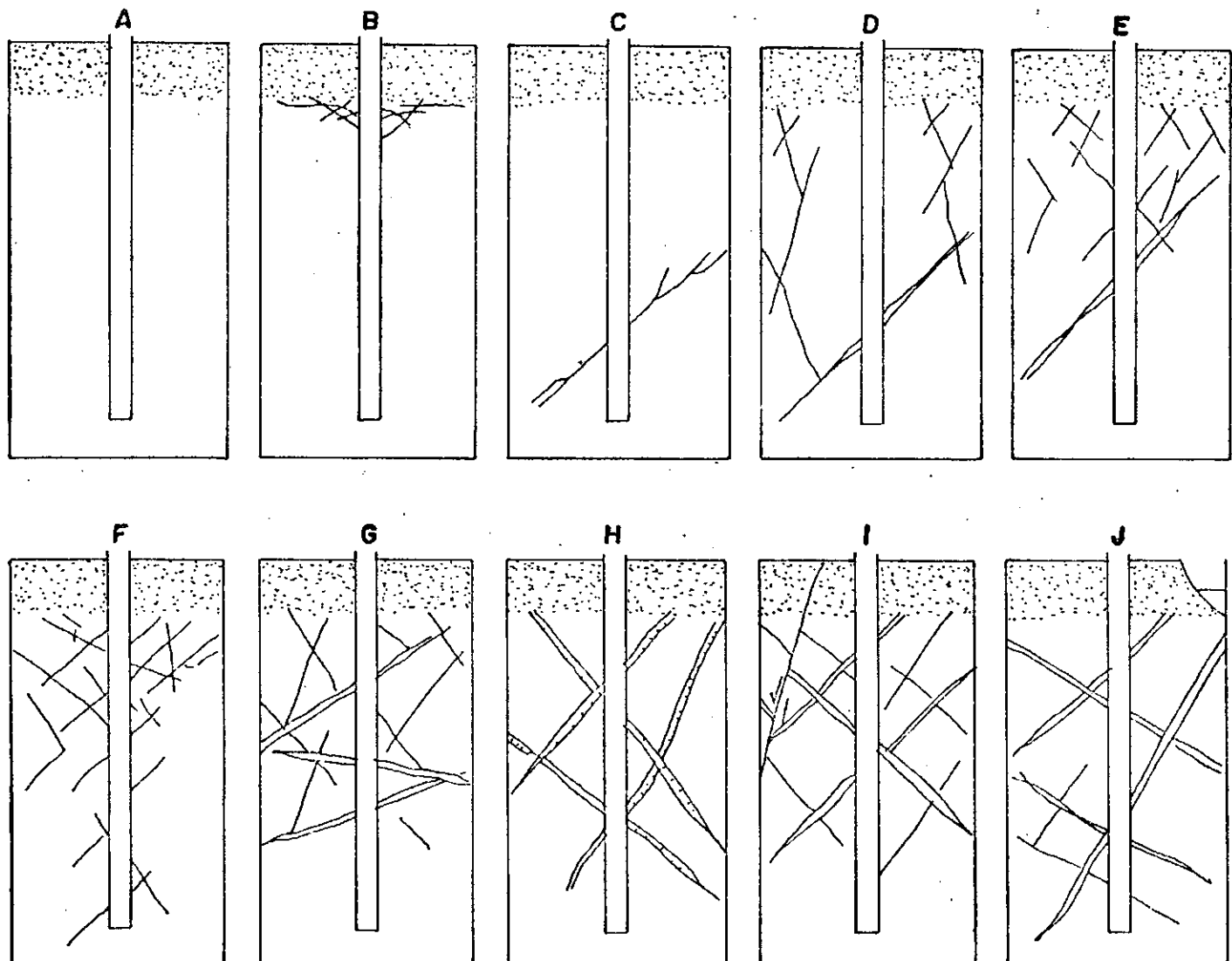


Figura 3.10 - Diferentes situações encontradas na perfuração de um poço em rocha cristalina fraturada. A profundidade total é de 80 m (aproximadamente), com 15 m de revestimento (no manto de decomposição, pontilhado nas figuras). Os casos A e J representam as condições extremas da exploração; no primeiro o poço será seco e no segundo, as condições de exploração são as melhores. (Adaptação de LEGRAND, 1959 e CAMPBELL, 1977 in COSTA, 1986).

Na 3ª parte do seu trabalho COSTA (op. cit.) levantou

dados de 1500 poços, sendo 842 no Rio Grande do Norte e 658 no nosso Estado (Paraíba). Como os poços secos foram considerados todos aqueles com valores de vazão inferiores ou igual a 200l/h, embora o autor frise ser este limite variável, em função da necessidade a que se destina. Com estes dados, COSTA (op. cit) buscou relacionar diversos parâmetros do poço e do meio externo a quantidade e a qualidade d'água, ou seja, tentou correlacionar:

Vazão Específica (quantidade de água)	Tipo de Litologia	
com	Tipo de fratura	fatores
	Entrada d'água	endógenos
	Profundidade de poço	
Resíduo Seco (qualidade de água)	Manto de Cobertura	fatores
	Relêvo e Hidrografia	exógenos
	Clima (Precipita- ção)	

Em nenhuma das correlações que foram tentadas se conseguiu uma reta, uma curva ou qualquer representação estatística, embora o autor através de uma análise interpretativa dos gráficos e tabelas, tenha estabelecido algumas correlações e feito comentários sobre as mesmas. Ver resultados do autor:

Resumo das Correlações entre fatores e parâmetros dos poços
Área Piloto dos Estados da Paraíba e Rio Grande do Norte,
(segundo COSTA , 1986).

PARAMETROS FATORES	VAZAO ESPECIFICA (l/h/m)	RESIDUO SECO (mg/l)
Tipo de rocha:	especifica	especifica (fraca)
Tipo de fratura:	especifica	especifica (fraca)
Profundidade do Poço	inversa	direta (incipiente)
Profundidade de Entrada d'água	inversa (incipiente)	direta
Manto de Cobertura	inversa (incipiente)	inexistente
Relevo/Hidrografia	especifica	especifica
Clima(Precipitação).	direta	inversa

Até a década de 70, a SUDENE , através de uma equipe técnica especializada, desenvolveu e buscou aprimorar tecnologias na busca de um melhor gerenciamento dos recursos hídricos. Desde então , o órgão funciona apenas como financiador e muito se perdeu em termos de qualidade e desenvolvimento de pesquisas no setor.

Atualmente na Paraíba a CDRM é a empresa que mais perfura e faz instalação de poços, seja em aluviões ou no

cristalino, portanto é quem tem mais informações a oferecer, inclusive através de relatórios feitos por técnicos da empresa quando da execução de serviços.

Toda a revisão bibliográfica foi feita especialmente no sentido de apresentar justificativas para a utilização de métodos estatísticos, no sentido de que comprova a complexidade e aleatoriedade existente no meio cristalino fraturado. O trabalho de HAUSMAN em 1980, como exemplo, já citado, pode ter sido feito em rochas com características de basaltos (embora o autor não frise em seu trabalho, quais tipos de rochas foram analisadas). Esta nossa observação surgiu pelo fato do mesmo ter aplicado o método de Jacob para cálculo da transmissibilidade a partir da recuperação, o que não é compatível ao cristalino paraibano que engloba rochas com características diferentes daquelas analisadas por HAUSMAN.

O próximo capítulo portanto, apresenta as técnicas estatísticas utilizadas no nosso trabalho, que, em função do desconhecimento de características geológicas importantes, ao nível atual de conhecimento, são imprescindíveis para o estudo ora proposto no cristalino paraibano.

CAPÍTULO IV

METODOLOGIA EMPREGADA NO ESTUDO

4.1 CONSIDERAÇÕES TEÓRICAS

4.1.1 GENERALIDADES

Conforme afirmado anteriormente, a estatística nos servirá de base para um maior conhecimento do grau de heterogeneidade do meio aquífero fraturado. Mostraremos então, para um maior entendimento dos passos seguidos na metodologia, as técnicas estatísticas que serão utilizadas, visando-se o ajuste de uma determinada distribuição de probabilidade aos dados de vazão específica.

Existem, na estatística, os métodos paramétricos e os não paramétricos. Os métodos estatísticos paramétricos baseiam-se na hipótese de que a distribuição de probabilidade básica é conhecida ou "completamente especificada" e estão relacionados com inferências sobre os parâmetros desta distribuição, enquanto que os métodos estatísticos não-paramétricos, também denominados de métodos de distribuição livre, não requerem um conhecimento de como as variáveis

básicas são distribuídas, sendo a única suposição básica, para a maioria destes métodos, a de que a distribuição seja contínua. HOEL (1980).

Uma outra razão discutida quanto a utilizar métodos paramétricos ou não paramétricos é o tamanho da amostra. "Alguns pesquisadores sentem que testes estatísticos paramétricos não podem ser usados em amostras pequenas, mas há outros que afirmam que isto não faz diferença." HUCH, CORMIER e JR (1974).

No nosso trabalho, por não possuirmos conhecimentos específicos sobre a população, principalmente no tocante à distribuição da variável básica (vazão específica), não se possuindo forma de uma distribuição qualquer estabelecida, optamos por usar testes estatísticos não paramétricos. Buscamos ajustes a distribuições de probabilidade e verificamos a qualidade destes ajustes aos nossos dados, através dos testes estatísticos de aderência. Como testes não-paramétricos de aderência, podemos usar o teste do qui-quadrado e o teste estatístico de Kolmogorov-Smirnov (K-S). O maior problema de usar o teste qui-quadrado está na construção dos intervalos, ou seja, como escolhê-los. De forma que pode-se perder informações sobre as características dos dados, caso os intervalos sejam mal construídos. O teste é bastante sensível e em função da distribuição e tamanho dos intervalos pode-se verificar o ajuste ou não dos dados. Há ainda restrições do uso quando a amostra é pequena, e também

o poder desse teste é inferior ao poder do teste de Kolmogorov-Smirnov, razão porque optamos pelo teste K-S.

Para testar se uma série de observações provém de uma distribuição continua completamente especificada, podemos usar o Kolmogorov-Smirnov original, por MASSEY(1951). Mas, se um ou mais parâmetros são estimados da amostra estudada, então as tabelas apresentadas por Kolmogorov-Smirnov não são amplamente utilizadas e o teste, quando executado com estas tabelas, tem resultados extremamente conservativos, no sentido de que, a probabilidade de ocorrência do erro tipo I (α) é bastante aumentada. LILLIEFORS (1967) apresenta uma tabela com valores críticos da estatística de Kolmogorov-Smirnov quando se quer testar se uma série de observações provém de uma população normal com média e variância não especificadas e estimadas a partir da amostra.

Também já existe extensão para aplicação do teste de Kolmogorov-Smirnov para algumas outras distribuições, quando se faz estimativas de parâmetros a partir da amostra:

- Para a distribuição exponencial (valores críticos da estatística de teste foram originalmente estimados por LILLIEFORS(1969) e, posteriormente, tabelas exatas foram obtidas por DURBIN(1975));

- Para a distribuição de Weibull (valores críticos da estatística de teste foram estimados por LITTELL, McCLAVE, and OFFEN (1979)), para tamanhos de amostra até $n = 40$.

4.1.2 TESTE DE LILLIEFORS PARA TESTAR NORMALIDADE COM MÉDIA E
DESVIO PADRÃO ESTIMADOS DA AMOSTRA, CONOVER (1980)

O teste estatístico original é o usual teste estatístico bilateral de Kolmogorov-Smirnov, cuja estatística é definida como a máxima distância vertical entre a função de distribuição conhecida ou "completamente especificada" e a função de distribuição empírica (ou função degrau), dada pela fórmula:

$$S(x) = \begin{cases} 0, & \text{se } x < x_{(1)} \\ \frac{k}{n}, & \text{se } x_{(k)} \leq x < x_{(k+1)} \\ 1, & \text{se } x \geq x_{(n)}, \end{cases} \quad (1)$$

onde $x_{(1)} \leq \dots \leq x_{(n)}$, são os elementos ordenados da amostra. Mas, quando os parâmetros são estimados da amostra, o teste é realizado assim:

Os dados consistem de uma amostra aleatória X_1, \dots, X_n , de tamanho n associada com alguma função distribuição não conhecida, denotada por $F(x)$.

HIPÓTESES:

H_0 : A variável aleatória X tem distribuição normal, (com média e variância não especificadas).

H_1 : A distribuição de X não é normal.

Calcula-se a média amostral e o desvio padrão amostral.

$$\bar{X} = \frac{1}{n} \sum_{i=1}^n X_i \quad (2)$$

$$S = \left(\frac{1}{n-1} \sum_{i=1}^{n-1} (X_i - \bar{X})^2 \right)^{1/2} \quad (3)$$

que são usados como estimativas de μ e de σ , respectivamente.

Calculam-se então, os desvios padronizados Z_i da amostra, definidos por:

$$Z_i = \frac{X_i - \bar{X}}{S} \quad i = 1, 2, 3, \dots, n. \quad (4)$$

O teste consiste em calcular a máxima distância vertical entre a função de distribuição empírica $S(x)$ definida anteriormente, e a função distribuição normal com média \bar{X} e desvio padrão S dados pelas equações (2) e (3) acima, isto é, o teste estatístico de Lilliefors é definido por:

$$D_{\max} = \text{Max}_x |F^*(x) - S(x)|, \text{ onde:}$$

$F^*(x) = \text{função de distribuição acumulada normal } N(x; s^2)$

$S(x) = \text{função de distribuição empírica, conforme definição (1).}$

REGRA DE DECISÃO:

Rejeita-se H_0 , ao nível de significância α , se D_{max} exceder o valor crítico tabelado.

DALLAL AND WILKINSON (1986) retificaram os valores críticos para testar normalidade apresentados por LILLIEFORS (1967) e recomendaram que outra tabela, simulada por eles, fosse usada quando se executasse o teste, visto que essa tabela é mais precisa que a original.

4.1.3 NIVEL DESCRIPTIVO DO TESTE

Os testes de hipóteses clássicos envolvem os seguintes três estágios:

1. Indicam-se formalmente a Hipótese nula, H_0 e a Hipótese alternativa H_1 .

2. Supõe-se verdadeira a hipótese nula e fixa-se uma pequena probabilidade (α) ou nível de significância do teste. Delimita-se a região crítica, que corresponde à região de rejeição de H_0 . Na prática costuma-se fixar α , em 1%, 5% ou 10%.

3. Decider-se então sobre o teste ao nível de significância adotado.

Um outro enfoque para testar a "credibilidade" de H_0 está sendo amplamente usado pelos estatísticos, que consiste

no cálculo do nível descritivo do teste ou também chamado valor de prova, no lugar da fixação de um α arbitrário. Ao invés de introduzir tal nível arbitrariamente, muitas vezes é preferível indicar o valor de prova, deixando ao leitor a tarefa de fazer o julgamento sobre H_0 . Formalmente, escolhendo o nível de α que ele julgue adequado aos seus propósitos, o leitor pode chegar a uma decisão individual usando a regra de decisão: rejeitar H_0 se, e somente se, o valor de prova for menor do que α . WOZNACOTT and WOZNACOTT (1980).

Segundo WOZNACOTT and WOZNACOTT:

"O valor de prova é o mais baixo valor ao qual podemos levar o nível do teste e, ainda assim, sermos capazes de rejeitar H_0 ".

"O valor de prova unilateral à direita é a probabilidade da estatística amostral poder ser tão grande quanto o valor efetivamente observado, se H_0 fosse verdadeira".

"O valor de prova unilateral à esquerda é a probabilidade da estatística amostral poder ser tão pequena quanto o valor efetivamente observado, admitindo H_0 ".

"O valor de prova bilateral é a probabilidade do valor amostral poder ser tão extremo quanto o valor efetivamente observado, se H_0 for verdadeira".

4.2 METODOLOGIA

4.2.1 LEVANTAMENTO DOS DADOS:

Visando obter dados que fossem uniformes no que diz respeito às técnicas e à metodologia utilizadas na perfuração dos poços, obtivemos informações de uma única empresa - CDRM - (Companhia de Desenvolvimento de Recursos Minerais do Estado da Paraíba). Levantamos informações de 996 poços perfurados no Cristalino Paraibano, sendo que 751 destes apresentaram uma vazão superior a zero, enquanto que os 245 restantes são poços totalmente secos.

A CDRM considera como poço seco, não fazendo assim sua instalação, aquele que, quando perfurado, apresenta vazão de teste inferior ou igual a 200l/h. No entanto, no nosso estudo, foram considerados secos apenas os que continham vazões nulas, uma vez que, conforme afirma COSTA (1986), esse valor é muito variável de acordo com a pesquisa considerada ou ainda com a finalidade a que se destina, podendo-se, em função das necessidades, haver aproveitamento para atendimento residencial ou animal, com captações singelas ou bombas pistões manuais ou elétricas.

Foi confeccionada uma tabela para levantamento das informações de poços (Anexo I), possuindo a mesma:

Dados de locação.

município;

latitude e longitude;

região de ocorrência;

Dados técnicos.

tempo de bombeamento (h);

profundidade de perfuração (m);

nível estático (m);

nível dinâmico do teste de vazão (m);

vazão (l/h) e;

vazão específica (l/h/m).

Dados geológicos.

manto de cobertura (tipo de material que recobre o poço e espessura de recobrimento) (m);

profundidades de entradas de fraturas (m);

resíduo seco (mg/l) e

tipo de rocha penetrada.

Não foram coletados os tipos de fratura ocorrentes na superfície, uma vez que a grande maioria dos pozos não apresentava esta informação, de forma que um estudo estatístico aprimorado não seria alcançado com a pequena quantidade de informações relativas ao tipo de fratura.

Tendo em vista um maior aprimoramento da tabela de

informações, no sentido de rapidez e eficiência no armazenamento dos dados, foi utilizada uma codificação para alguns elementos da mesma, apresentada a seguir.

Codificações para região de ocorrência da perfuração (divisão feita segundo o IBGE):

AB - Agreste da Borborema;

CR - Catolé do Rocha;

DAP - Depressão do Alto Piranhas;

SC - Sertão de Cajazeiras;

APBP - Agro Pastoril do Baixo Paraibano;

CV - Cariris Velhos;

BP - Brejo Paraibano;

SP - Seridó Paraibano;

ST - Serra do Teixeira;

CUR - Curimataú;

PB - Piemonte da Borborema.

Codificações para o manto de cobertura:

- não há manto;

1. o manto é aluvionar (embora não haja discriminação da litologia predominante);

2. há predominância de material arenoso. Por exemplo, solo arenoso argiloso ou arenoso siltoso;

3. há predominância de material argiloso. Por exemplo, argila siltosa ou argilo arenoso;
4. há predominância de material siltoso. Por exemplo, solo siltico arenoso;
5. solo pedregulhoso;
6. solo com rocha alterada;
7. aterro (sem discriminação do material que o compõe);
RA. significando rocha alterada ou RD,
significando rocha decomposta, sendo que em termos geológicos, RA e RD representam uma mesma condição da rocha.

Codificações para o tipo de rocha penetrada na perfuração:

1. Gnaisse;
2. Granito;
3. Migmatito;
4. Xisto;
5. Filito;
6. Anfibólio;
7. Rocha Cataclástica;
8. Quartzito;
9. Pegmatito.

OBS: Também com relação ao tipo de rocha, foi observado que há uma grande variedade dentro de alguns tipos de rocha citados, por exemplo: gnaisse migmatizado; gnaisse xistoso; gnaisse granítico, de forma que o cadastro foi feito levando-se em consideração a maior predominância litológica.

4.2.2 ZONEAMENTO DOS POCOS

Após o levantamento dos poços, fizemos um zoneamento da amostra por tipo de rocha e também por regiões hidrológicas (bacias hidrográficas), já que estudos hidrológicos têm mostrado algumas peculiaridades intrínsecas às mesmas tais como: vegetação, clima, relevo, temperatura e geologia, peculiaridades estas que influem na quantidade e qualidade das águas subterrâneas.

Com o mapa hidrogeológico do Estado da Paraíba elaborado por Albuquerque, em PLIRHIME (op. cit.) foi feita a localização dos poços, a partir da latitude e longitude dos mesmos. Quando não se dispunha destes dados, buscava-se o mapa do município (cedido pela CDRM), locando-se assim, todos os poços nas respectivas bacias de ocorrência.

Temos no nosso Estado, as seguintes bacias hidrográficas, com os respectivos códigos adotados:

Bacia do rio Piranhas (BPI);

Bacia do rio Mamanguape (RM);

Bacia do rio Paraíba (BPA);

Bacia do rio Curimatau (RC);

Bacia do rio Camaratuba (RCM);

Bacia do rio Jacu (RJC);

Sendo que também subdividimos a bacia do rio Piranhas e a bacia do rio Paraíba em sub-bacias, como vemos a seguir:

Bacia do	Bacia do rio do Peixe Alto Piranhas (RPE-AP)
rio	Bacia do rio Piancó - Alto Piranhas (RPI-AP)
Piranhas	Bacia do Médio Piranhas (MP)
(BPI)	Bacia do rio Seridó (RSO)
	Bacia do rio Espinharas (RES)
Bacia do	Bacia do Alto Paraíba (APB)
rio	Bacia do Médio Paraíba (MPB)
Paraíba	Bacia do Baixo Paraíba (BPB)
(BPA)	Bacia do rio Taperoá (RTP)

Como as bacias do rio Curimatau e do rio Jacu têm características geológicas peculiares e têm pequeno número de poços perfurados, analisamos ambas como uma única bacia que codificamos por (BMJ).

OBS: As iniciais postas entre parênteses, referem-se às codificações feitas, já citadas, na confecção da tabela do cadastro de dados.

Para um melhor entendimento e visualização do zoneamento hidrológico feito, ver mapa hidrogeológico do Estado com delimitações de bacias hidrológicas (Anexo II).

4.2.3 VALORES ESTATÍSTICOS REPRESENTATIVOS DAS VARIÁVEIS OBSERVADAS NO ESTUDO

Na tabela 4.1 são apresentadas algumas estatísticas para as principais variáveis registradas pela CDRM, que constituem a tabela de cadastro dos poços, sendo a seguir feitos alguns comentários com relação às mesmas.

TABELA 4.1 - Valores estatísticos representativos das variáveis observadas no cristalino paraibano - poços não secos.

	VARIÁVEIS									
ESTATÍSTICA	NIVEL ESTÁTICO	NIVEL DINÂMICO	VAZÃO (1/h)	PROFOUNDIDADE (m)	TEMPO DE BOM- BEAMENTO (h)	CAPACIMENTO DE BEAMENTO (m)	ROCHA AL- TERADA (m)	INTERSEÇÃO FRATURAS (m)	RESÍDUO SECO (mg/l)	
N	743	751	751	751	751	665	562	734	740	
MÍNIMO	0.0050	3.8100	34.0000	17.5000	1.0000	0.1000	0.9000	3.7000	125.0800	
MÁXIMO	36.0000	47.0980	14400.0000	80.0000	24.0000	15.0000	50.0000	64.0000	25840.0000	
MÉDIA	4.5551	16.7025	2055.1200	45.6720	11.3425	2.5777	7.8918	21.4647	3191.2300	
MEDIANA	3.6300	14.8600	1150.0000	50.0000	12.0000	3.0000	6.0000	19.0000	1367.5000	
MODA	3.2000	12.6000	2322.0000	50.0000	12.0000	3.0000	6.0000	17.0000	715.0000	
DESVIO PÁDRÃO	3.6266	7.6618	2485.2200	7.3239	2.5443	1.7688	4.9099	10.6491	4058.5300	
COEF. DE VARIAÇÃO	0.7961	0.4587	1.2093	0.1604	0.2243	0.6862	0.6222	0.4961	1.2718	
1º QUARTIL	2.3900	10.9400	409.0000	40.0000	12.0000	1.0000	6.0000	13.3000	646.0150	
3º QUARTIL	5.720	21.5500	2666.0000	50.0000	12.0000	3.0000	9.0000	28.1000	415.4600	

Fonte: Dados obtidos na CDRM.

A tabela 4.1 acima nos mostra a variabilidade de ocorrência dos dados, confirmando assim a heterogeneidade existente no meio, devido a fatores tanto internos, quanto

externos ao corpo rochoso fraturado.

Os menores coeficientes de variação são observados nas variáveis profundidade do poço e tempo de bombeamento. Isto principalmente porque a CDRM geralmente faz perfurações de poços com profundidades entre 40,0 m a 50,0 m e a maior parte dos mesmos são bombeados a 12:00 horas.

As vazões variaram de um valor mínimo de 34,00 l/h a um valor máximo de 14400,00 l/h, com um coeficiente de variação acima de 1,0 (ou seja 100%) e com um valor médio de 2055,12 l/h, havendo 75% das vazões com valores inferiores a 2666,00 l/h, o que nos indica maior quantidade de poços com baixas vazões.

E interessante observar, com relação à variável tempo de bombeamento, a predominância do valor 12:00 horas, uma vez que o 1º e o 3º quartis têm o mesmo valor.

A espessura do capeamento variou entre alguns centímetros e 15 metros, havendo uma média de 2,58 m de espessura de solo capeando as rochas. Ainda também em profundidade, grande parte das perfurações alcançavam, além do capeamento, espessura de rocha alterada ou decomposta, variando de 90 centímetros a 50 m, numa média de aproximadamente 7,90m.

Os valores de resíduo seco variaram entre 125,00 mg/l e 25840,00 mg/l, com um valor médio de

3191.23 mg/l e um alto coeficiente de variação.

A profundidade média das perfurações foi de aproximadamente 46,00 m, sendo que, dos 751 poços não secos, 193 (cerca de 26%) atingiram profundidades de 40,00 m e 384 (cerca de 51%) atingiram profundidades de 50,00 m.

As tabelas 4.2 até 4.7 a seguir apresentam as distribuições de frequência de algumas variáveis analisadas.

TABELA 4.2 - Distribuição de frequência da variável nível estático (m)

Classes	Limite inferior	Limite superior	Frequência absoluta	Frequência relativa	Frequência acumulada	Freq. Relativa acumulada
1	0	2.00	130	0.17497	130	0.175
2	2.00	6.00	448	0.60296	578	0.77E
3	6.00	10.00	126	0.16958	704	0.94E
4	10.00	14.00	25	0.03365	729	0.981
5	14.00	18.00	5	0.00673	734	0.98E
6	18.00	22.00	4	0.00538	738	0.993
7	22.00	26.00	2	0.00269	740	0.99E
8	26.00	30.00	0	0.00000	740	0.99E
9	30.00	34.00	2	0.00269	742	0.99E
10	34.00	38.00	1	0.00135	743	1.000

Quase 95% dos poços têm nível estático abaixo dos 10,00m, com predominância de valores entre 2,00 m e 6,00 m. Vê-se na tabela 4.3 que há predominância de valores de nível dinâmico entre 10,00 e 15,00 metros, sendo que cerca de 85% dos valores encontrados são inferiores a 25,00 metros.

TABELA 4.3 - Distribuição de frequência da variável nível dinâmico (m)

Classes	Limite inferior	Limite superior	Frequência absoluta	Frequência relativa	Frequência acumulada	Freq. Relativa acumulada
1	0.00	5.00	6	0.00799	6	0.00799
2	5.00	10.00	141	0.18775	147	0.19574
3	10.00	15.00	235	0.18775	382	0.50866
4	15.00	20.00	153	0.20373	535	0.71238
5	20.00	25.00	106	0.14115	641	0.85353
6	25.00	30.00	67	0.08921	708	0.94274
7	30.00	35.00	25	0.03329	733	0.97603
8	35.00	40.00	14	0.01864	747	0.99467
9	40.00	45.00	3	0.00399	750	0.99867
10	45.00	50.00	1	0.00399	751	1.00000

TABELA 4.4 - Distribuição de frequência da vazão (l/h)

Classes	Limite inferior	Limite superior	Frequência absoluta	Frequência relativa	Frequência acumulada	Freq. Relativa acumulada
1	0.00	2000.00	496	0.66045	496	0.660
2	2000.00	5000.00	179	0.23835	675	0.899
3	5000.00	8000.00	43	0.05726	718	0.956
4	8000.00	11000.00	21	0.02796	739	0.984
5	11000.00	14000.00	11	0.01465	750	0.999
6	14000.00	17000.00	1	0.00133	751	1.000

A vazão é bastante variável, sendo a grande maioria dos valores, o correspondente a aproximadamente 90% dos poços, inferior a 5000 l/h. Ainda, mais de 50%, ou seja, 66% dos poços bombeados, têm valores de vazão inferior a 2000 l/h, apresentando portanto uma baixa produtividade.

São pouquíssimos os poços nos quais se encontram vazões superiores a 8000 l/h.

TABELA 4.5 - Distribuição de frequência da variável tempo de bombeamento (h)

Classes	Limite inferior	Limite superior	Frequência absoluta	Frequência relativa	Frequência acumulada	Freq. Relativa acumulada
1	0.00	4.00	22	0.02929	22	0.0295
2	4.00	9.00	69	0.09188	91	0.1212
3	9.00	14.00	647	0.86152	738	0.9827
4	14.00	19.00	3	0.00399	741	0.9867
5	19.00	24.00	10	0.01332	751	1.000

Cerca de 86% dos poços têm tempo de bombeamento entre 9:00 e 14:00 horas, sendo 12:00 horas o valor mais predominante na amostra de dados, ocorrendo em 80% dos poços, ou seja dos 751 poços, 595 foram bombeados a 12:00 hs.

Apenas 3% dos poços têm tempo de bombeamento menor que 4:00 horas.

TABELA 4.6 - Distribuição de frequência do manto de intemperismo

Predominância do manto	Frequência absoluta	Frequência relativa	Freq. Relativa acumulada
-	87	0.11585	0.116
1	6	0.00799	0.124
2	381	0.50732	0.631
3	196	0.26099	0.892
4	78	0.10386	0.996
5	1	0.00133	0.997
6	2	0.00266	1.000

Há predominância de mantos arenosos sobrepostos às rochas, seguidamente, em ordem decrescente, de mantos argilosos, siltosos, e, por fim, os pedregulhosos. Aproximadamente 51% dos poços perfurados atravessaram mantos

de predominância arenosa, ficando o tipo argiloso com cerca de 26% de ocorrência e o tipo siltoso com 10%. Também alguns poços não atravessaram manto, alcançando, desde a superfície, rocha alterada e/ou decomposta, ou então, perfurando a rocha dura propriamente dita.

TABELA 4.7 - Distribuição de frequência da interseção de fraturas (m)

Classes	Limite inferior	Limite superior absoluta	Frequência absoluta	Frequência relativa	Frequência acumulada	Freq. Relativa acumulada
1	0.00	13.33	186	0.25341	186	0.253
2	13.33	26.67	345	0.47003	531	0.723
3	26.67	40.00	153	0.20845	684	0.932
4	40.00	53.33	45	0.06131	729	0.993
5	53.33	66.67	5	0.00681	734	1.000

Cerca de 47% das fraturas foram interceptadas entre 13.30 e 26.70 metros de profundidade, sendo que 93% das mesmas foram interceptadas a profundidades menores que 40.00 m, encontrando-se pouquíssimas fraturas em maiores profundidades perfuradas.

4.2.4 USO DE PACOTES COMPUTACIONAIS

Existem alguns pacotes computacionais que são usados como ferramentas de grande utilidade em análises estatísticas, principalmente quando se trabalha com amostras grandes, pois pode-se obter com os mesmos, altos graus de rapidez e eficiência por ocasião das suas aplicações.

Com o auxílio destes pacotes é que foram feitas as análises estatísticas dos dados e determinada a estatística $D_{máx}$, de Kolmogorov-Smirnov para o teste de aderência já citado, como também os gráficos box-plot, gráfico normal de probabilidade, etc.

4.2.5 ANALISE DA VARIABEL VAZÃO ESPECIFICA

Como a vazão específica é o fator que melhor reflete as características hidráulicas do meio fraturado, foi tomada como variável, para tentativas do estabelecimento de uma lei de probabilidade.

Observamos que a vazão específica era uma variável mista, dado que constatamos uma grande incidência de poços secos nas perfurações, e portanto, vazões específicas nulas. Em virtude disto, separamos os valores discretos (zeros) daqueles superiores a zero, referentes aos poços não secos, objetivando assim a aplicação posterior do teste de ajustamento para os mesmos.

Foram feitas análises através dos cálculos estatísticos da média, moda, mediana, mínimo e máximo valores encontrados, entre outros, e foram também utilizados histogramas, box-plots, análises de frequência, para podermos avaliar melhor o comportamento dos dados e determinar possíveis anomalias:

Em virtude da grande variabilidade dos dados, tentamos então fazer transformações da variável vazão específica para verificarmos seus comportamentos graficamente, através de histogramas, e podermos suspeitar se haveria chances ou não de um ajuste a alguma distribuição de probabilidade. Algumas transformações experimentadas:

$\frac{1}{x}$; $\ln(x)$; $x^{\frac{1}{2}}$; $\ln(x^2)$, etc..., sendo $x =$ variável vazão específica.

Algumas outras transformações, embora possíveis, não foram levadas em consideração, uma vez que não eram funções fáceis de serem manipuladas, não havendo transparência com relação ao entendimento físico da função aplicada à variável estudada.

ALBUQUERQUE in PLIRHINE (op.cit), além de WALTON (op.cit), CSALLANY (op.cit) e CUSTÓDIO e LLAMAS (op.cit) dividiram a variável vazão específica pela profundidade total ou profundidade útil do poço, representada pela diferença entre a profundidade da última entrada de água e o nível estático do poço, analisando estatisticamente os dados. Por outro lado HONYK (1979) citado em COSTA (op.cit) propôs a relação denominada Produção Potencial do Poço-PPP, na qual relaciona a vazão específica com o rebaixamento do nível estático, a espessura estática saturada, a profundidade efetiva do poço e o coeficiente exponencial característico de

cada tipo de rocha.

Concordando com COSTA (op.cit), não somos favoráveis à utilização das metodologias de ALBUQUERQUE (op.cit), WALTON e CSALLANY (op.cit) e CUSTÓDIO e LLAMAS, uma vez que a relação da vazão com a profundidade em aquíferos fraturados é variável, ao longo da profundidade, sendo direta até um pouco acima da entrada de água principal, passando, a partir daí, a ser constante durante um certo intervalo de rebaixamento, para tornar-se depois, inversa.

As dificuldades na aplicação da proposta de HONYK estão limitadas à falta de conhecimento exato das características do corpo rochoso, uma vez que é necessário adotar, empiricamente, um coeficiente exponencial característico para cada tipo de rocha, o que é bastante complexo.

Foi observada uma melhor distribuição dos dados quando da transformação logarítmica (base e) e optamos por usá-la além da própria vazão específica, na tentativa do estabelecimento de uma lei de probabilidade.

4.2.6 ESTABELECIMENTO DE UMA LEI DE PROBABILIDADE

No decurso da análise dos dados, em função do que era observado, pudemos supor como propensas ao ajuste as distribuições normal, Log Normal e Weibull.

A função de distribuição de Weibull definida por:

$$F(x) = \begin{cases} 1 - e^{-(x/\alpha)^{\beta}}, & \text{se } x > 0 \\ 0, & \text{se } x \leq 0, \end{cases}$$

é extremamente flexível, por possuir uma grande variedade de formas, que a faz ajustar-se empiricamente a muitos tipos de dados. A Weibull é parametrizada por um parâmetro de escala (α) e por um parâmetro de forma (β), ambos positivos.

Vejamos alguns casos particulares da Weibull:

$\beta = 1 \Rightarrow$ torna-se uma distribuição exponencial

$\beta = 2 \Rightarrow$ torna-se uma distribuição de Rayleigh

$3 \leq \beta < 4 \Rightarrow$ torna-se aproximadamente uma distribuição normal.

Conforme já foi citado anteriormente, já existe extensão para aplicação do teste de aderência de Kolmogorov-Smirnov, quando os parâmetros são estimados a partir da amostra, no caso particular de se tentar a distribuição de Weibull como ajuste. LITTELL, Mc CHAVE e OFFEN (1979) substituiram os parâmetros α e β por estimadores de máxima verossimilhança $\hat{\alpha}$ e $\hat{\beta}$, que foram calculados através das equações de THOMAS, BAIN e ANTLE (1969), utilizando o método de Newton-Raphson e geraram, através do método de Monte Carlo, valores críticos da estatística D_{max} associados à distribuição de Weibull, para amostras de tamanho moderado (até $n = 40$).

Não encontramos simulações de valores críticos da estatística D_{max} para n maior do que 40, não tendo sido feito, portanto, o teste de aderência para verificação do ajuste dos nossos dados à Weibull, uma vez que seria necessária uma simulação de valores críticos de D_{max} para o teste de Kolmogorov-Smirnov, o que não faz parte do nosso trabalho.

Os dados de vazão específica dos poços não secos foram então testados com relação à aderência e observou-se que melhor ajuste ocorreu com os valores de vazão específica (transformados logaritmicamente) à distribuição normal. Também foram plotados pontos no gráfico normal de probabilidade. A reta esperada, característica da distribuição, foi plotada e pode-se observar graficamente a aderência dos dados à reta (ver resultados e gráficos no Cap. V). Como este ajuste foi testado apenas para os poços não secos (vide item 4.2.5), será apresentada (vide item 5.3) uma ponderação das probabilidades de ocorrência de vazões, de forma a caracterizar precisamente o estudo realizado.

4.2.7 CALCULOS DE PROBABILIDADE DE OCORRENCIA DE VAZOES A PARTIR DA LEI DE PROBABILIDADE ESTABELECIDA

Com a função densidade de probabilidade estabelecida, foi então possível fazer estimativas de vazões em poços no cristalino. Para cada subdivisão amostral (nas

rochas e bacias) foi intitulada a Distribuição Log Normal característica e então calculadas probabilidades (vide item 5.5)

4.2.8 ANALISE DO RESIDUO SECO

Com relação à qualidade da Água, fizemos apenas análise da distribuição de frequência desta característica e alguns breves comentários.

TABELA 4.8 - Distribuição de frequência do resíduo seco (mg/l)

Classes	Limite inferior	Limite superior, absoluto	Frequência absoluta	Frequência relativa	Frequência acumulada	Freq. Relativa acumulada
1	0.00	2000.00	424	0.57297	424	0.57297
2	2000.00	4000.00	130	0.17568	554	0.74865
3	4000.00	6000.00	64	0.08649	618	0.83514
4	6000.00	8000.00	42	0.05676	660	0.89190
5	acima de 8000.00		80	0.10811	740	1.00000

Observa-se que dos 751 poços não secos, não se tem informações a cerca do resíduo seco em 11 destes.

Na maior parte das águas coletadas nas perfurações, o resíduo seco é inferior a 2000 mg/l, portanto, procurando ser tolerante, conforme afirma ALBUQUERQUE (op.cit), este limite é razoável para o consumo humano, embora deva ser visto com reservas. O gosto salgado na água é preponderante e a dosagem dos outros constituintes iônicos deve ser verificada.

Cerca de 83% das águas possuem um resíduo seco

inferior a 8000 mg/l, o que nos dá uma boa porcentagem de aproveitamento para consumo animal; seja bovino, suíno, equino, ovino e também caprino.

CAPITULO V

APRESENTAÇÃO E ANALISE DE RESULTADOS

De acordo com o que foi afirmado no capítulo IV, a variável vazão específica, pelo fato de melhor representar as condições hidráulicas do meio fraturado, foi escolhida para a análise estatística, no sentido de ser a característica menos falha no estudo de potencialidades de poços. Neste capítulo, mostramos os resultados encontrados, aplicando a metodologia já citada anteriormente a esta variável.

5.1 DISTRIBUIÇÕES DE FREQUÊNCIA

As tabelas 5.1 e 5.2 abaixo apresentam a frequência observada de ocorrência de poços por tipo de rocha e por bacia hidrográfica, respectivamente.

Tabela 5.1 - Frequência de ocorrência de poços não secos
- Rochas -

Tipo de rocha	Nº de poços	Freq. Relativa
Gnaissse	489	0.65113
Granito	88	0.11718
Migmatito	22	0.02929
Xisto	86	0.11451
Filito	46	0.06125
Anfibólio	06	0.00799
Rch Cataclástica	01	0.01330
Quartzito	11	0.14650
Pegmatito	02	0.02660

Tabela 5.2 - Frequência de ocorrência de poços não secos
- Bacias Hidrográficas -

Bacia	Nº de poços	Freq. Relativa
APB	89	0.11851
EPPB	21	0.02796
MP	28	0.03728
MPB	73	0.09720
RC	21	0.02796
RCM	07	0.00932
RES	61	0.08123
RJC	05	0.00666
RM	41	0.05459
RPE-AP	108	0.14381
RPI-AP	129	0.17177
RSD	69	0.09188
RTP	99	0.13182

Há predominância de rochas gnaissicas, seguidas em ordem decrescente por granitos, xistos, filitos, migmatitos, além de pequenas ocorrências de quartiztos, anfibólios, pegmatitos e apenas uma ocorrência de rocha cataclástica.

Nas bacias hidrográficas, há maior quantidade de poços na bacia do rio Piranhas, ficando o segundo lugar com a bacia do rio Paraíba.

TABELA 5.3 - Distribuição de frequência da variável vazão específica (l/h/m)

Classes	Limite inferior	Limite superior absoluta	Frequencia absoluta	Frequencia relativa	Frequencia acumulada	Freq. Relativa acumulada
1	0.00	1166.67	699	0.93076	699	0.931
2	1166.67	2833.33	37	0.04927	736	0.980
3	2833.33	4500.00	11	0.01465	747	0.995
4	4500.00	6166.67	1	0.00133	748	0.996
5	6166.67	7833.33	2	0.00266	750	0.999
6	7833.33	9500.00	1	0.00133	751	1.000

De acordo com a tabela 5.3, cerca de 93% dos poços analisados, possuem vazão específica inferior a 1200 l/h/m, indicando-nos muito baixos valores de produção no cristalino paraibano.

A percentagem de poços com vazões específicas superiores a 4500 l/h/m é inferior a 1%.

5.2 ESTATISTICAS CALCULADAS

Nas tabelas 5.4 a 5.7, temos algumas estatísticas das variáveis vazão específica e $\ln(\text{vazão específica})$ por tipo de rocha e bacia hidrográfica, respectivamente.

TABELA 5.4 - Estimativas de parâmetros referentes à variável vazão específica (Zoneamento por tipo de rocha)

ROCHAS	(Nº DE POÇOS :		ESTIMATIVAS DE PARÂMETROS									
	PPs(%)	SECOS;NSECOS	\bar{x}	σ	CV(%)	MIN.	MAX.	MEDIANA	MODA	1º QUARTIL	3º QUARTIL	
GERAL	245	751	24.60	350.620	778.462	222.02	1.20	8753.80	100.90	5.30	273.40	307.70
GNAISSE	145	489	22.87	330.023	753.851	228.42	1.20	8753.80	99.90	5.30	33.50	289.70
GRANITO	53	88	37.59	389.250	925.543	237.78	5.50	6782.40	98.90	92.40	25.95	272.55
MICHAITITO	05	22	18.52	391.962	633.940	161.73	14.00	2752.30	175.15	104.80	44.70	343.30
XISTO	30	86	25.86	349.705	626.506	179.15	4.10	3938.30	113.05	30.30	36.70	379.30
FILITO	09	46	16.36	443.372	779.906	175.90	4.40	3746.40	108.05	14.20	52.40	357.00

PPs(%)=SECOS/TOTAL - Porcentagem de poços secos

CV(%) - Coeficiente de variação = (desvio padrão/média) x 100

NSECOS - Quantidade de poços não secos

Em termos gráficos, podemos também visualizar a distribuição dos dados, através do box-plot múltiplo (fig 5.1).

Observamos, com relação à variável vazão específica, uma grande variabilidade, que de certa forma não mudou muito nas diversas subdivisões feitas, quando comparada com toda a amostra de dados.

A tabela 5.4 nos mostra que houve pequenas variações na média das vazões específicas nas rochas, embora o coeficiente de variação fosse sempre superior a 1.50, indicando grandes dispersões dos dados em torno da média.

O menor índice de poços secos ocorreu no filito (16.36%), embora a quantidade de poços existente neste tipo não seja muito representativa e o maior índice de poços secos ocorreu nos granitos, com cerca de 38%.

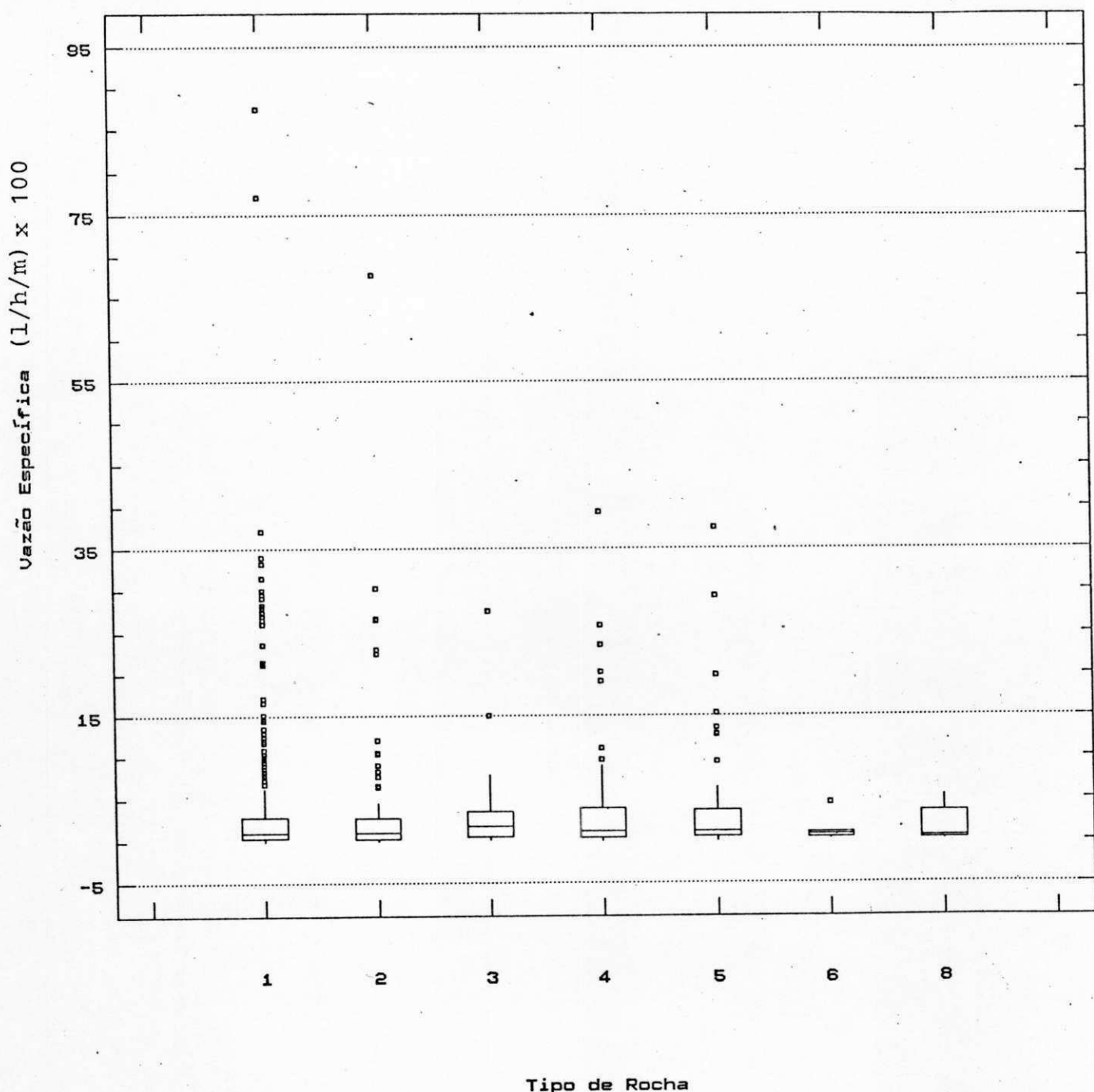


Figura 5.1 - Box plox múltiplo para os dados de vazão específica

TABELA 5.5 - Estimativas de parâmetros referentes à variável vazão específica (Zoneamento por bacia hidrográfica)

BACIAS	Nº DE POÇOS		PPs(%)	ESTIMATIVAS DE PARÂMETROS									
	SECOS	NSECOS		\bar{x}	σ	CV(%)	MIN.	MAX.	MEDIANA	MODA	1º QUARTIL	3º QUARTIL	
APB	13	89	12.75	466.645	1067.790	228.82	5.30	8753.80	128.70	16.90	53.00	411.90	
BPB	06	21	22.22	939.286	1464.220	155.89	8.00	5948.00	340.70	263.70	116.10	956.50	
MPB	25	73	25.51	641.099	1320.490	205.97	5.30	7710.80	162.70	162.30	45.10	499.90	
RTP	34	99	25.56	468.934	779.776	166.29	5.50	3399.40	129.50	120.30	34.50	444.90	
BPA	78	282	21.66	540.816	1093.780	202.25	5.30	8753.80	161.90	16.80	45.50	456.60	
RPE-AP	40	108	27.03	181.579	326.332	179.72	2.50	2122.00	63.30	40.70	26.00	170.50	
RPI-AP	35	129	21.34	321.086	657.126	204.66	2.00	3938.30	79.40	14.20	35.80	232.10	
RSD	26	69	27.37	138.393	189.583	137.08	5.30	1180.40	59.90	57.10	26.20	170.10	
NP	09	28	24.32	164.482	195.768	118.81	13.70	819.70	96.85	85.20	30.90	216.75	
RES	22	61	26.51	341.987	594.910	173.95	1.20	2752.30	139.80	128.60	40.60	332.60	
BPI	132	395	25.05	243.138	488.709	201.00	1.20	3938.30	81.90	14.20	30.30	211.50	
RCM	02	07	22.22	198.000	162.509	082.08	13.90	394.80	124.00	101.00	49.00	379.30	
RM	17	41	29.31	206.756	250.350	121.08	4.80	825.80	78.10	77.20	26.90	273.70	
RJC	01	05	16.67	498.220	1088.990	218.58	27.20	2302.70	37.60	37.60	37.60	86.00	
RC	08	21	27.59	114.848	148.023	128.89	2.80	609.20	71.70	63.70	23.70	112.90	
BMJ	09	26	25.71	188.573	451.842	239.61	2.80	2302.70	67.70	37.60	27.20	112.90	

PPs(%) = SECOS/TOTAL - porcentagem de poços secos.

CV(%) - Coeficiente de variação = (desvio padrão/média) x 100

NSECOS - Quantidade de poços não secos

A tabela 5.5 acima, juntamente com o box plot múltiplo (fig. 5.2), nos mostra que há também uma forte variação na média das vazões específicas nas bacias. As maiores variações ocorreram nas bacia do rio Paraíba, mantendo-se nas sub-bacias pertencentes à mesma, e na bacia Curimatau e Jacu, codificada por BMJ. Nas sub-bacias que compõem o rio Piranhas esta variação foi bem menor.

Observou-se maiores médias nas sub-bacias do rio Paraíba: (939.286 $1\text{h}\text{m}^{-1}$) para o baixo Paraíba; (641.099 $1\text{h}\text{m}^{-1}$) para o médio Paraíba; e (466.645 $1\text{h}\text{m}^{-1}$) para o alto Paraíba. A menor média de vazão específica ficou com a bacia

do rio Curimatau com 114.848 km^3/m , ficando as demais bacias intercaladas entre estes valores, embora com valores mais próximos do mínimo.

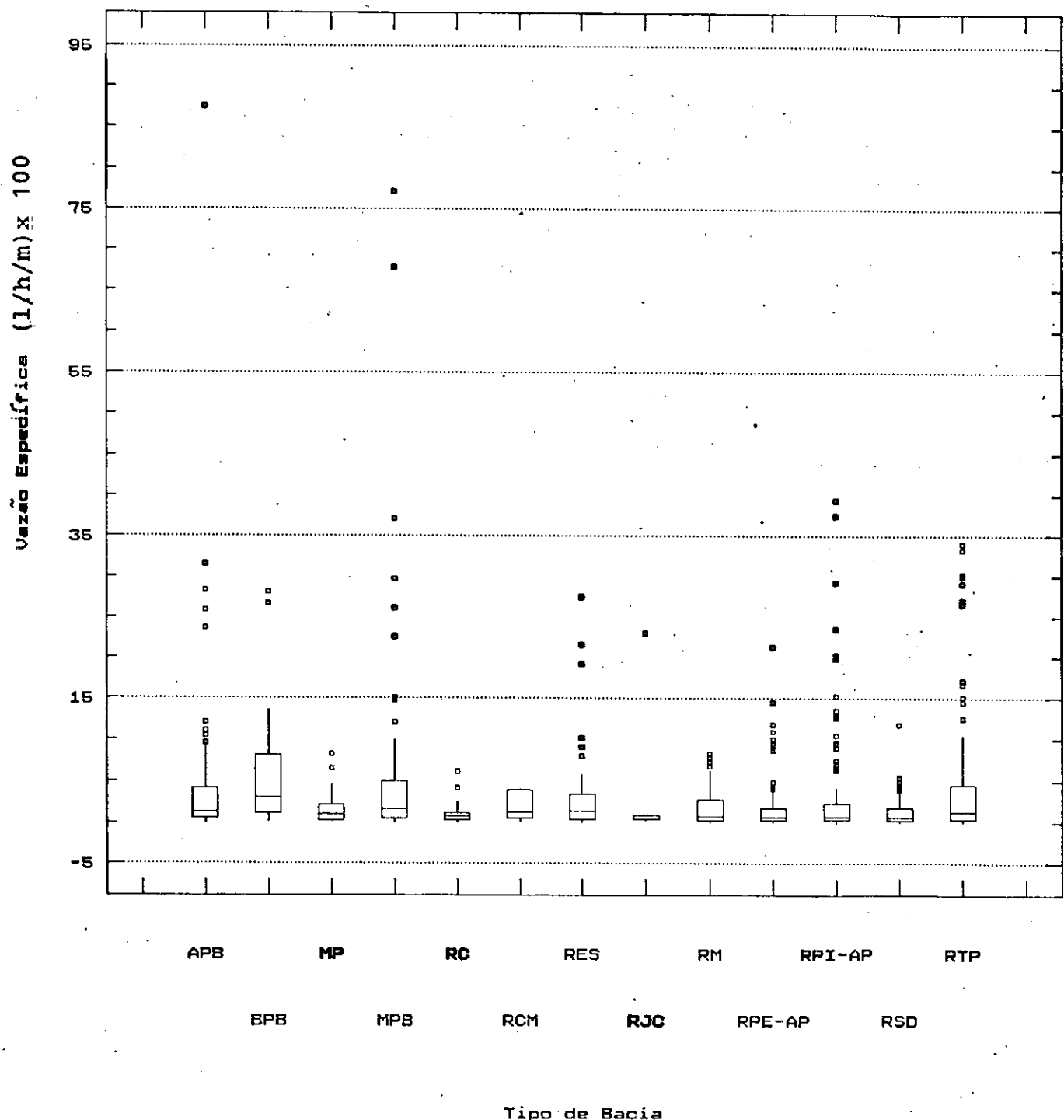


Figura 5.2 - Box plot múltiplo para os dados de vazão específica.

Por bacias, o menor índice de pozos secos foi observado na sub-bacia do alto Paraíba (cerca de 12.75%) e o maior índice, na bacia do rio Mamanguape (cerca de 29%).

Depois de aplicarmos a transformação logaritmica aos dados de vazão específica, pudemos observar então, uma menor variabilidade dos mesmos, conforme podemos constatar nas tabelas 5.6 e 5.7 abaixo, juntamente com os respectivos box-plots múltiplos (figs. 5.3 e 5.4).

TABELA 5.6 - Estimativas de parâmetros referentes à variável Ln da vazão específica (Zoneamento por tipo de rocha)

ROCHAS			ESTIMATIVAS DE PARAMETROS									
			PPs(%)									
	SECOS	NSECOS		M	S	CV(%)	MIN.	MAX.	MEDIANA	MODA	1º QUARTIL	3º QUARTIL
GERAL	245	751	24.60	4.66370	1.53937	33.01	0.182322	9.07724	4.61413	1.66771	3.53515	5.72913
GNAISSSE	145	489	22.87	4.62710	1.52666	32.99	0.182322	9.07724	4.60417	1.66771	3.51155	5.66885
GRANITO	53	88	37.59	4.56975	1.60735	35.17	1.704750	8.82209	4.59390	4.52613	3.25613	5.60781
MIGMATITO	05	22	18.52	5.00115	1.48397	29.67	2.639060	7.92019	5.13313	4.65205	3.79997	5.83860
XISTO	30	86	25.86	4.77320	1.56323	32.75	1.410990	8.27850	4.72751	3.41115	3.60278	5.93833
FILITO	09	46	16.36	4.95681	1.52904	30.85	1.481600	8.22855	4.68258	2.65324	3.95891	5.87774

PPs(%) = SECOS/TOTAL - Porcentagem de pozos secos

CV(%) - Coeficiente de variação = (desvio padrão/média) x 100

NSECOS - Quantidade de pozos não secos

TABELA 5.7 - Estimativas de parâmetros referentes à variável ln da vazão específica (Zoneamento por bacias hidrográficas)

BACIAS	Nº DE POCOS	PPs(%)	ESTIMATIVAS DE PARAMETROS									
			SECOS(NSECOS)	n	\bar{x}	\sigma	CV(%)	MIN.	MAX.	MEDIANA	MODA	
AFB	13	89	12.75	5.04016	1.49303	29.60	1.667710	9.07724	4.85748	2.82731	3.97029	6.0207E
BPB	06	21	22.22	5.65446	1.80921	32.00	2.079440	8.69081	5.83100	5.57481	4.75445	6.8638E
NPB	25	73	25.51	5.06027	1.73503	34.29	1.667710	8.95038	5.09121	5.08945	3.80888	6.81441
RTP	34	99	25.56	4.93138	1.63078	33.07	1.704750	8.13135	4.86368	4.78999	3.54096	6.0978E
BPA	78	282	21.66	5.05292	1.63134	32.28	1.667710	9.07724	5.08698	2.82138	3.81771	6.12381
RPE-AP	40	108	27.03	4.23286	1.36463	32.24	0.916291	7.66011	4.14728	3.70623	3.25762	5.13831
RPI-AP	35	129	21.34	4.56399	1.53061	33.54	0.693147	8.27850	4.37450	2.65324	3.57795	5.44717
RSJ	26	69	27.37	4.09268	1.26581	30.93	1.667710	7.07361	4.04480	1.60227	3.26576	5.13639
NP	09	28	24.32	4.49110	1.16368	25.91	2.617400	6.70894	4.57249	4.44500	3.41695	5.3744E
RES	22	61	26.51	4.79541	1.57261	32.79	0.182320	7.92019	4.94021	4.85671	3.70377	5.80694
BPI	132	395	25.05	4.43957	1.43525	32.33	0.182322	8.27850	4.40550	2.65324	3.41115	5.35422
RCH	02	07	22.22	4.80808	1.23867	25.76	2.631890	5.97838	4.82028	4.61512	3.89182	5.9383E
RM	17	41	29.31	4.45846	1.46914	32.95	1.568620	6.71635	4.35799	4.34640	3.29213	5.6120E
RJC	01	05	16.67	4.55068	1.83407	40.30	3.303220	7.74184	3.62700	3.62700	3.62700	4.4543E
RC	08	21	27.59	4.03217	1.34021	33.24	1.029620	6.41215	4.27249	4.15418	3.16548	4.72650
BMJ	09	26	25.71	4.13188	1.42077	34.39	1.296200	7.74184	4.21334	3.62700	3.30322	4.72650

PPs(%) = SECOS/TOTAL - Porcentagem de poços secos

CV(%) - Coeficiente de variação = (desvio padrão/média) x 100

NSECOS - Quantidade de poços não secos

Os coeficientes de variação diminuiram bastante tanto nas bacias hidrográficas quanto nas subdivisões por tipo de rocha, indicando-nos uma menor dispersão dos dados quando da transformação logarítmica.

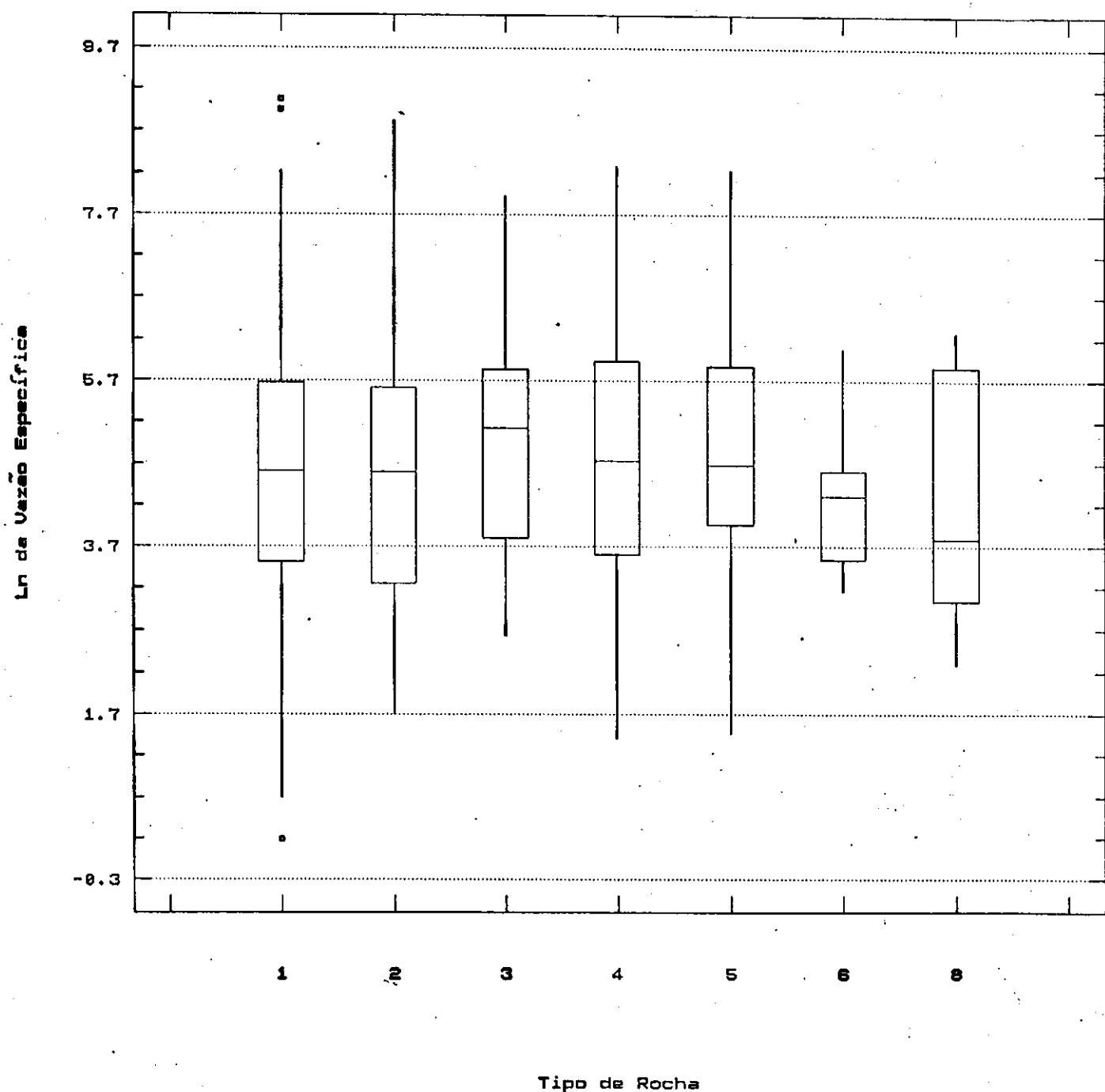


Figura 5.3 – Box plot múltiplo para os dados logaritmizados da vazão específica

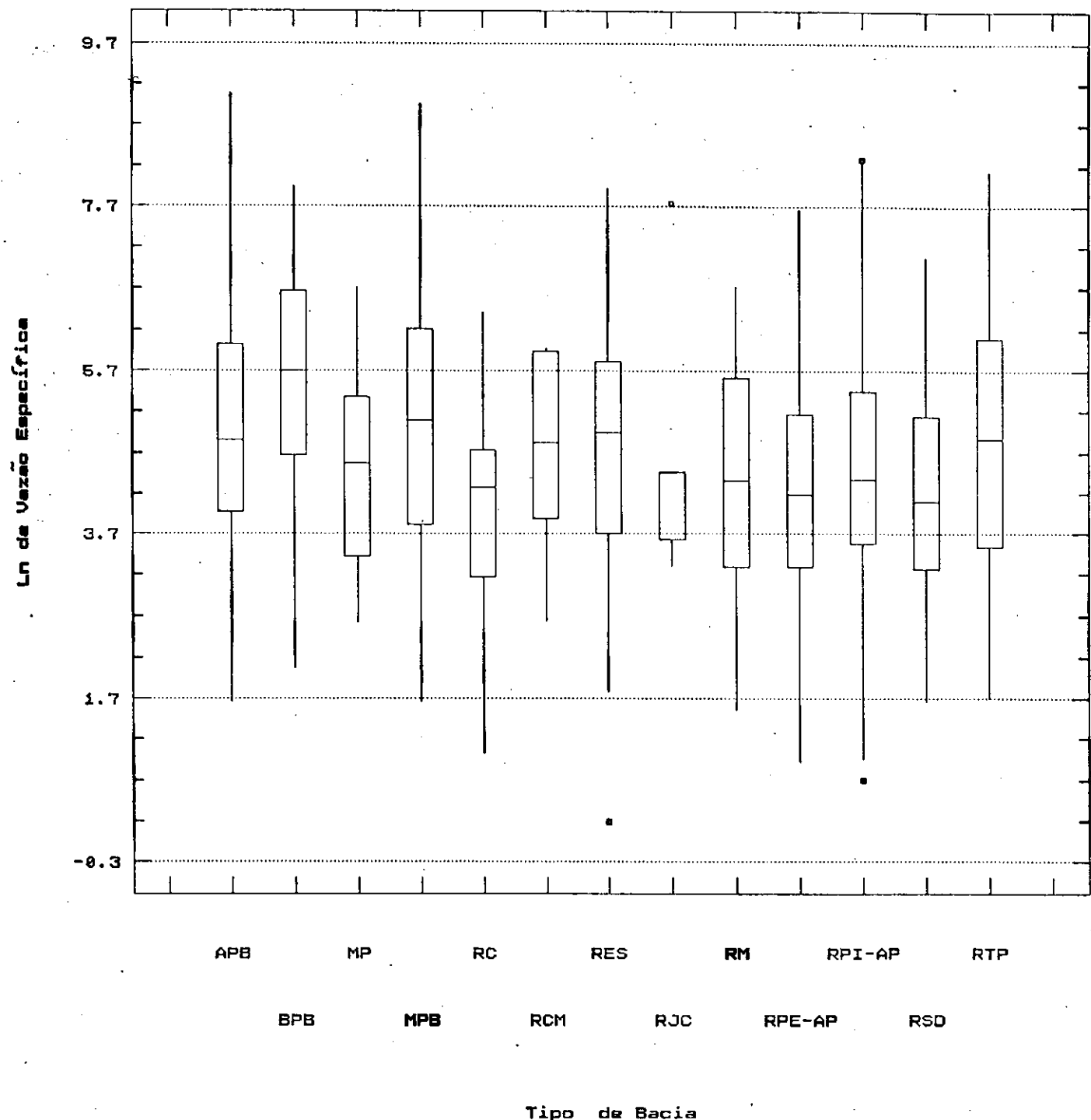


Figura 5.4 – Box plot múltiplo para os dados logaritmizados da vazão específica

5.3 TESTE DE ADERÊNCIA

O teste de aderência foi aplicado aos poços não secos, isto é, àqueles que apresentaram vazão específica diferente de zero, num total de 751 poços. Conforme afirmado na seção 4.2.5, constatou-se que a vazão específica é uma variável mista.

São mostrados a seguir os ajustes obtidos para todos os poços; tipos de rochas (onde predominaram um número suficiente de poços para a análise) e bacias hidrográficas.

Definimos inicialmente, as seguintes variáveis aleatórias, que são importantes no nosso estudo:

V_a = vazão do poço (expressa em l/h)

V = vazão específica do poço (expressa em $l/h/m$)

$W = \begin{cases} 0, & \text{se o poço é seco} \\ 1, & \text{caso contrário} \end{cases}$

$\begin{cases} P(W=0) = p_0 \\ P(W=1) = 1 - p_0 \end{cases}$

O parâmetro p_0 é estimado por:

$$p_0 = \frac{\text{Nº de poços secos}}{\text{Total de poços}}$$

$F(v) = P(V \leq v) = \text{função de distribuição acumulada de } V.$

Observemos agora que:

- i) Se $v < 0$, $F(v) = 0$, uma vez que não existem vazões negativas;
- ii) Se $v=0$, $F(v) = p_0$, conforme definição acima;
- iii) Se $v > 0$, $F(v) = P(V \leq v) = P(V \leq v / W=0).p_0 + P(V \leq v / W=1).(1-p_0)$;

$$\begin{aligned} P(V \leq v / W=0) &= 1 \\ \text{sabemos que: } & \quad | \\ P(V \leq v / W=1) &= \int_0^v f(t) dt, \end{aligned}$$

onde $f(t)$ representa a f.d.p. (função densidade de probabilidade) que foi ajustada aos dados dos poços não secos.

Portanto, dado que para os poços não secos foi ajustada a distribuição Log normal ou seja, a distribuição normal aos dados logaritmizados, V é uma variável mista com a seguinte função de distribuição acumulada:

$$F(v) = \begin{cases} 0, & \text{se } v < 0 \\ p_0, & \text{se } v = 0 \\ p_0 + (1 - p_0)\phi\left[\frac{\ln(v) - \mu}{\sigma}\right], & \text{se } v > 0 \end{cases}$$

onde ϕ é a função de distribuição acumulada da normal $N(0,1)$.

5.4 RESULTADOS DOS TESTES DE AJUSTAMENTO

Com o uso de pacotes computacionais, pudemos

determinar a estatística D_{\max} , do teste de Kolmogorov-Smirnov, assim como o nível descritivo do teste, para cada subdivisão feita. As tabelas 5.8 a 5.11 nos mostram estes resultados.

TABELA 5.8 - Teste de K-S para ajuste da distribuição normal à vazão específica - rochas -

ROCHAS	POCOS NSECOS	D_{\max}	NIVEL DE SIGNIF.	ESTIMAT DE PARAM. μ	σ
Geral	751	0.327	0.000	350.620	778.462
Gnaissé	489	0.331	0.000	330.023	753.851
Granito	88	0.340	0.000	389.230	925.543
Migmatito	22	0.303	0.000	391.988	633.940
Xisto	86	0.291	0.000	349.705	626.506
Filito	46	0.305	0.000	443.372	779.906

TABELA 5.9 - Teste de K-S para ajuste da distribuição normal ao Ln da vazão específica - rochas -

ROCHAS	POCOS NSECOS	D_{\max}	NIVEL DE SIGNIF.	ESTIMAT DE PARAM. μ	σ
Geral	751	0.030	0.116	4.66370	1.53937
Gnaissé	489	0.028	0.452	4.62710	1.52666
Granito	88	0.075	0.234	4.56975	1.60735
Migmatito	22	0.103	0.861	5.00115	1.46397
Xisto	86	0.085	0.125	4.77380	1.56323
Filito	46	0.101	0.273	4.95681	1.53904

TABELA 5.10 - Teste de K-S para ajuste da distribuição normal à vazão específica - bacias -

BACIAS	POCOS NSECOS	Dmáx	NIVEL DE SIGNIF.	ESTIMAT DE PARAM. $\hat{\mu}$	$\hat{\sigma}$
APB	89	0.333	0.000	466.645	1067.790
BPB	21	0.322	0.000	939.286	1464.220
MPB	73	0.311	0.000	641.099	1320.490
RTP	99	0.298	0.000	468.934	779.776
BPA	282	0.312	0.000	540.816	1093.780
RPI-AP	129	0.314	0.000	321.066	657.126
RPE-AP	108	0.292	0.000	181.579	326.332
RSD	69	0.241	0.000	138.293	189.583
MP	28	0.229	0.001	164.482	195.768
RES	61	0.297	0.000	341.987	594.910
BPI	395	0.310	0.000	243.138	488.709
BMJ	26	0.367	0.000	188.573	451.842
RJC	05	0.459	0.101	498.220	1088.990
RC	21	0.267	0.000	114.848	148.023
RM	41	0.275	0.000	206.756	250.353
RCM	07	0.247	0.251	198.000	162.509

TABELA 5.11 - Teste de K-S para ajuste da distribuição normal ao Ln da vazão específica - bacias -

BACIAS	POCOS NSECOS	Dmáx	NIVEL DE SIGNIF.	ESTIMAT DE PARAM. $\hat{\mu}$	$\hat{\sigma}$
APB	89	0.070	0.320	5.04016	1.49203
BPB	21	0.073	0.409	5.65446	1.80921
MPB	73	0.113	0.742	5.06027	1.73503
RTP	99	0.078	0.140	4.93138	1.63078
BPA	282	0.046	0.145	5.05292	1.63134
RPI-AP	129	0.107	0.001	4.56399	1.53061
RPE-AP	108	0.061	0.384	4.23286	1.36463
RSD	69	0.071	0.483	4.09268	1.26581
MP	28	0.107	0.568	4.49110	1.16368
RES	61	0.113	0.053	4.79541	1.57261
BPI	395	0.033	0.349	4.43957	1.43525
BMJ	26	0.107	0.633	4.13188	1.42077
RJC	05	0.321	0.101	4.55068	1.83407
RC	21	0.121	0.609	4.03217	1.34021
RM	41	0.107	0.262	4.45846	1.46914
RCM	07	0.212	0.539	4.80808	1.23867

Como observamos nas tabelas que mostram os resultados do teste de aderência, não houve ajuste dos dados de vazão específica à distribuição normal, pois os níveis descritivos dos testes, na sua totalidade, podemos dizer, foram nulos. Por outro lado, quando aplicamos a transformação logarítmica, constatou-se que apenas nas sub-bacias do rio Piancó e rio Espinharas não ocorreu ajuste, ficando portanto estabelecido que a distribuição dos dados de vazão específica para as outras subdivisões feitas seguem uma lei probabilística Log normal ou também conhecida como lei de Galton.

Os gráficos normais de probabilidade (figs 5.5 a 5.23), nos dão uma visualização da aderência dos dados logaritmizados de vazão específica à reta esperada característica da distribuição normal para as subdivisões feitas.

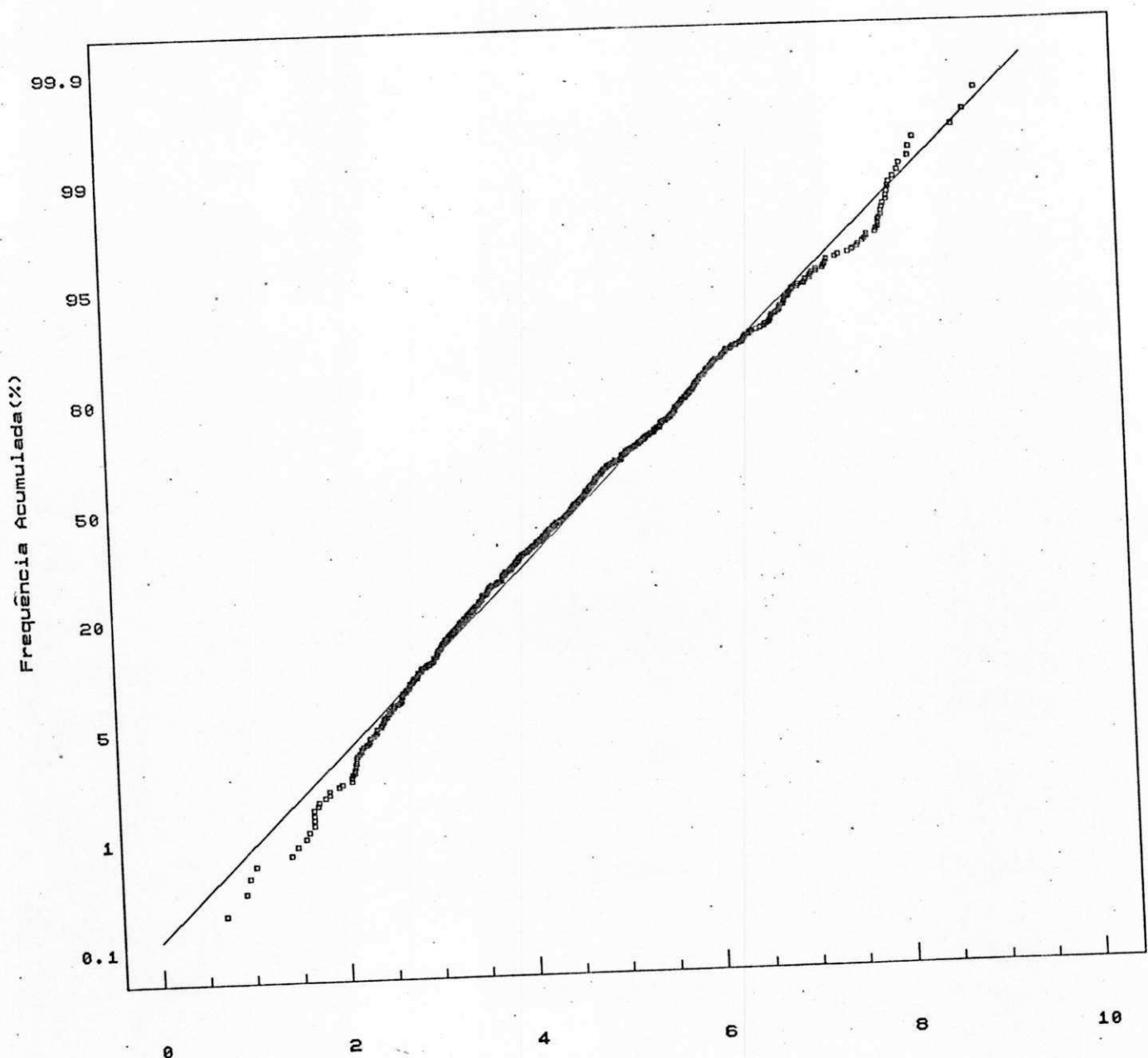


Figura 5.5 - Gráfico normal de probabilidade - Todos os poços -

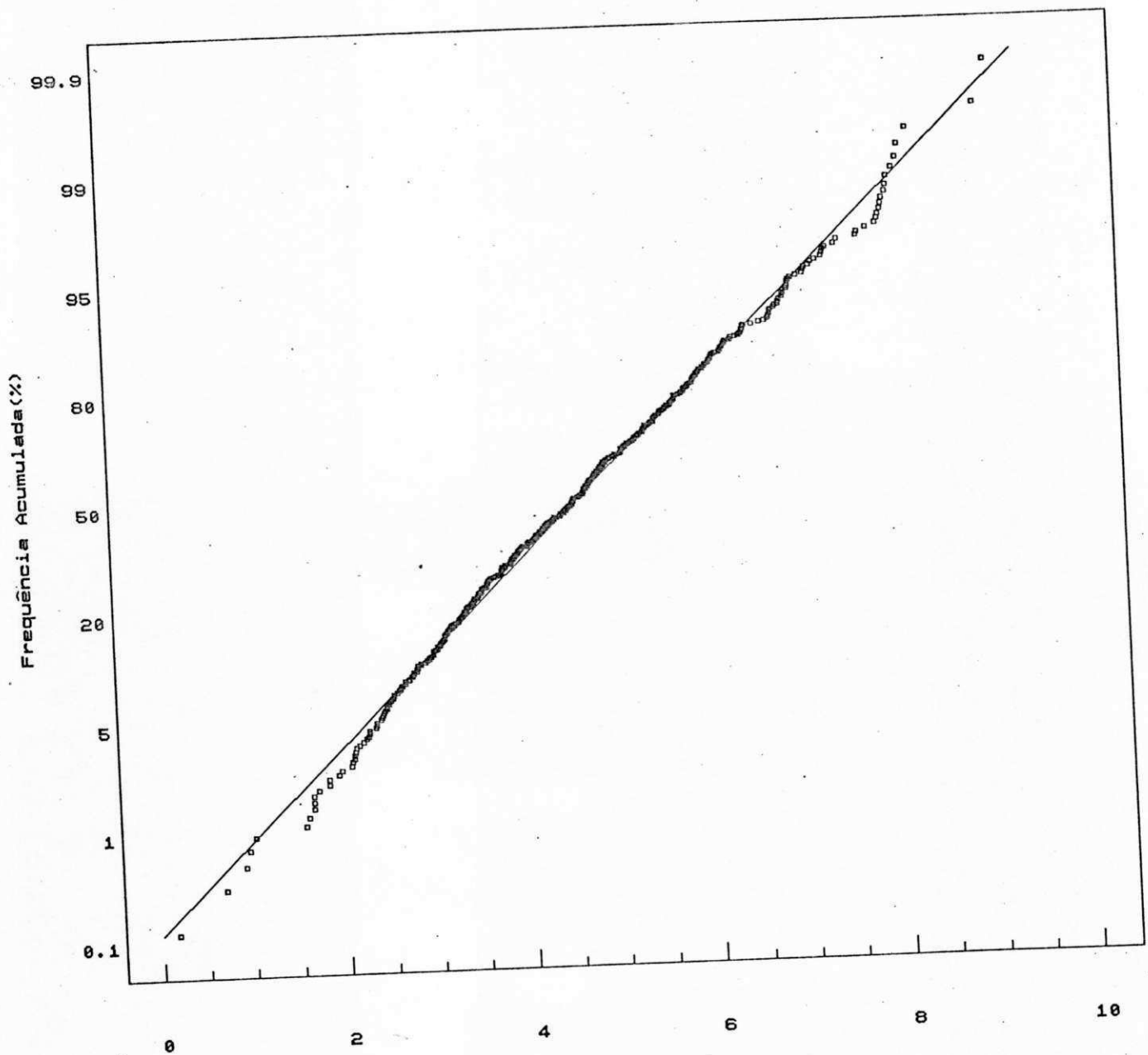


Figura 5.6 – Gráfico normal de probabilidade – Gnaisse –
Ln da Vazão Específica

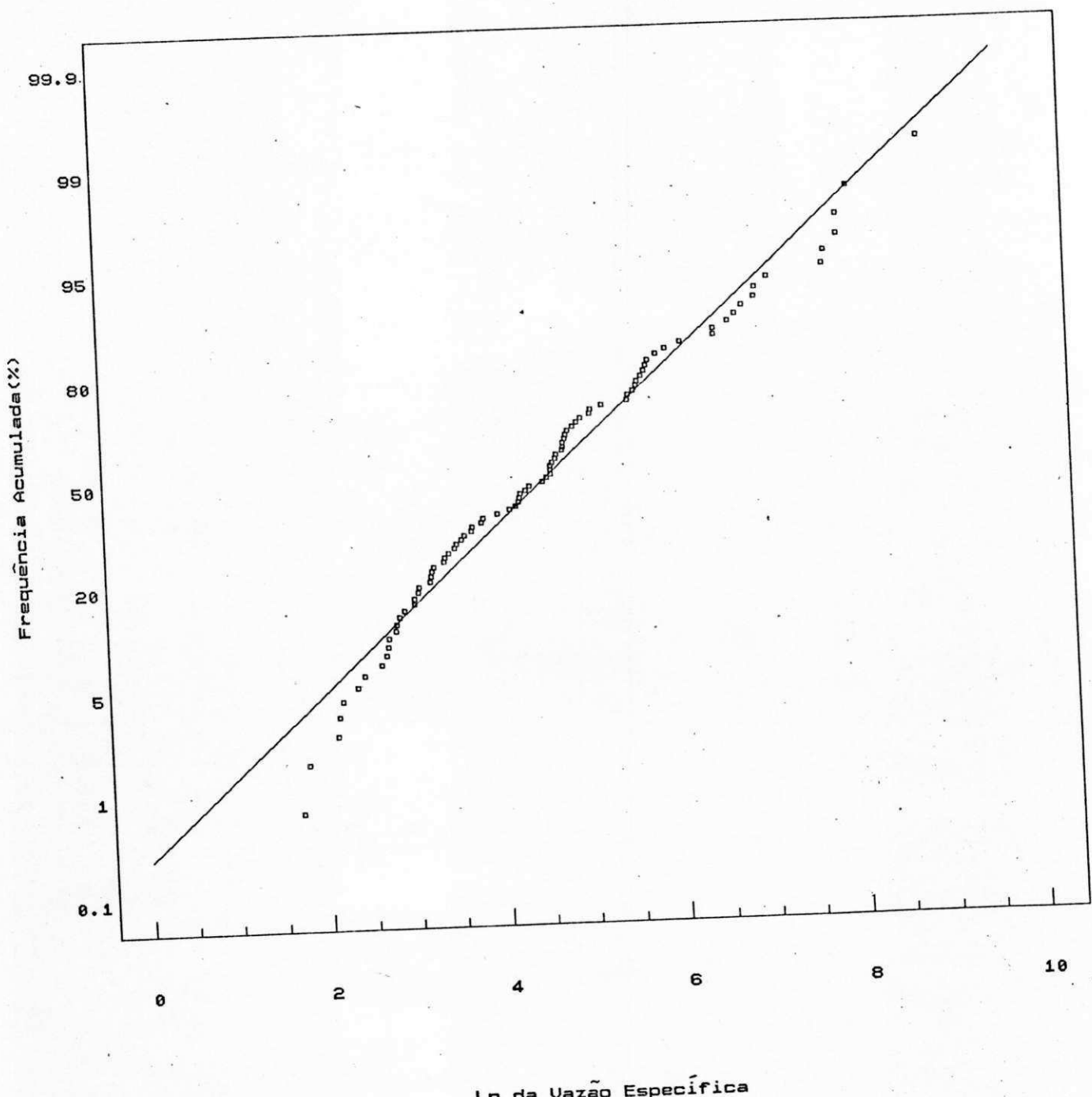


Figura 5.7 - Gráfico normal de probabilidade - Granito -

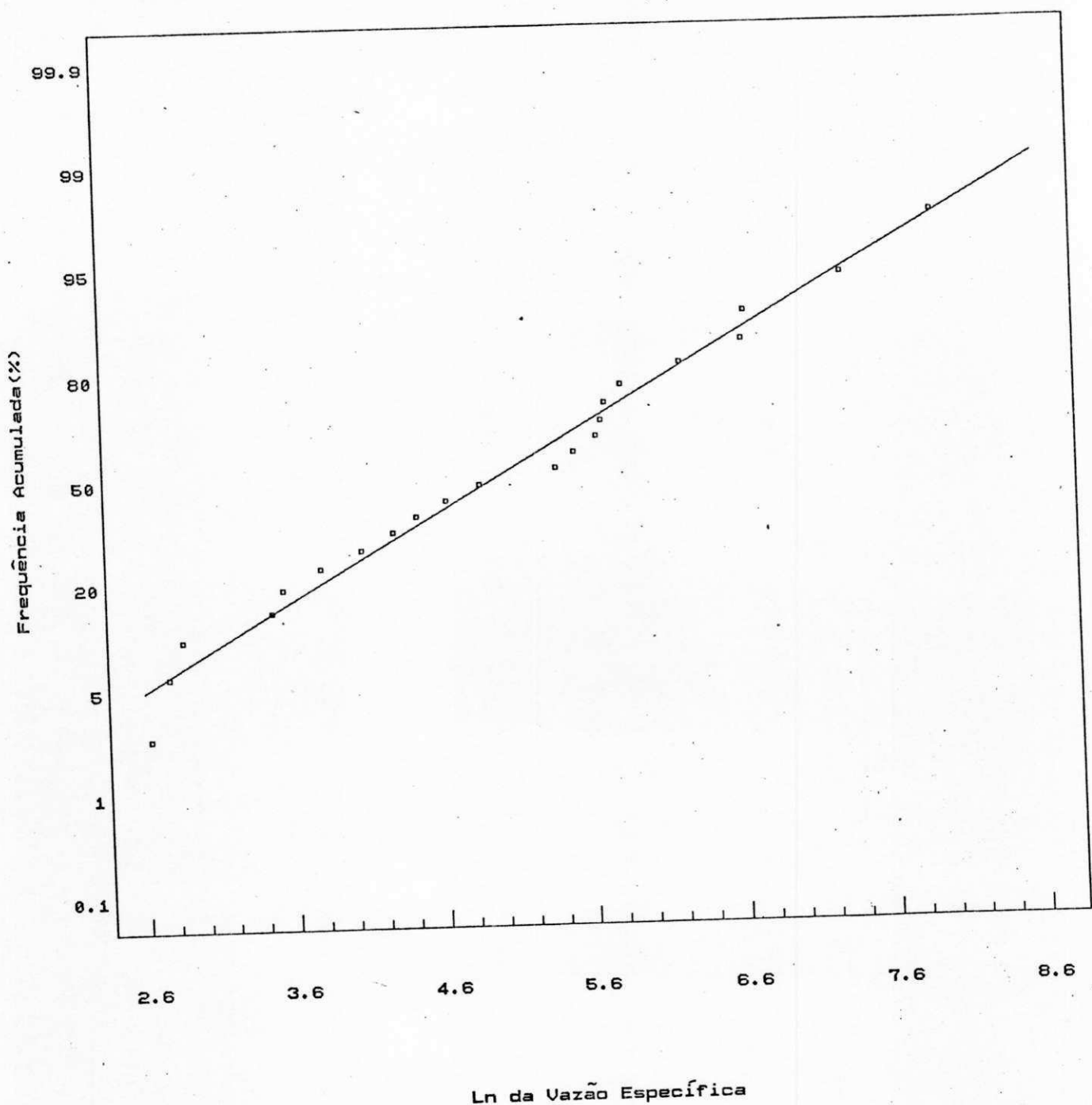


Figura 5.8 - Gráfico normal de probabilidade - Migmatito -

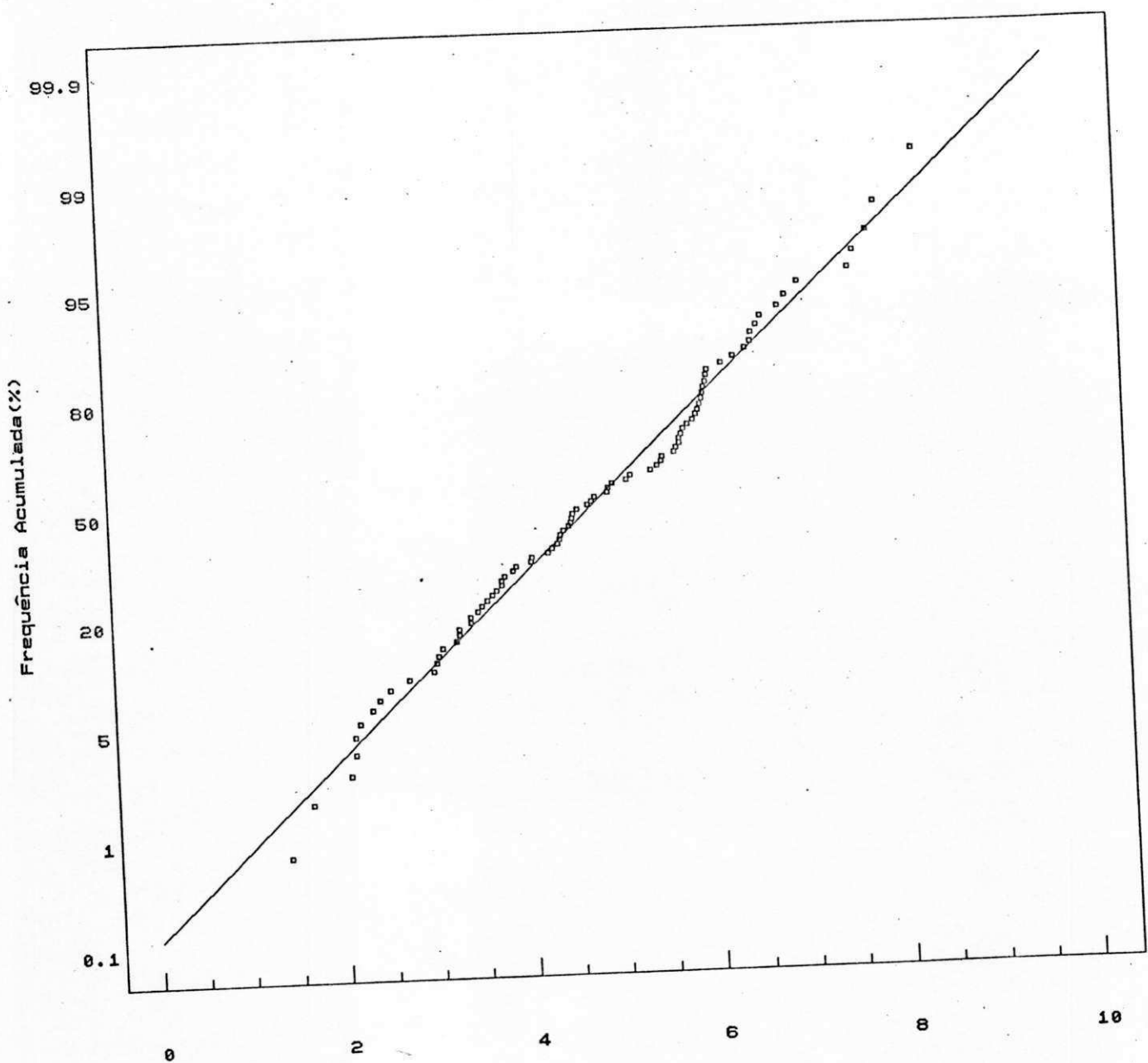
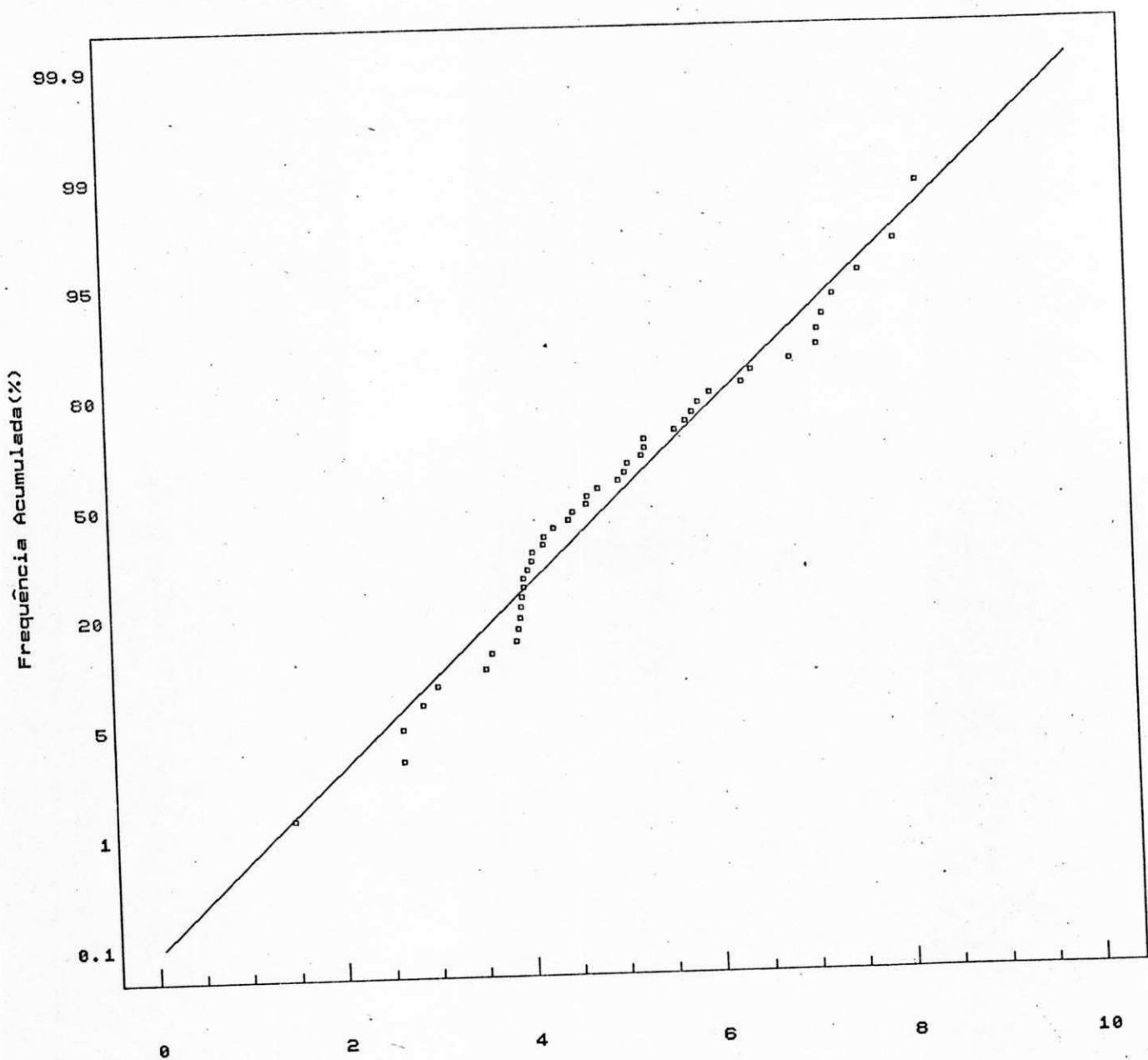


Figura 5.9 - Gráfico normal de probabilidade - Xisto -
 $\ln \text{ da Vazão Específica}$



\ln da Vazão Específica

Figura 5.10 - Gráfico normal de probabilidade - Filito -

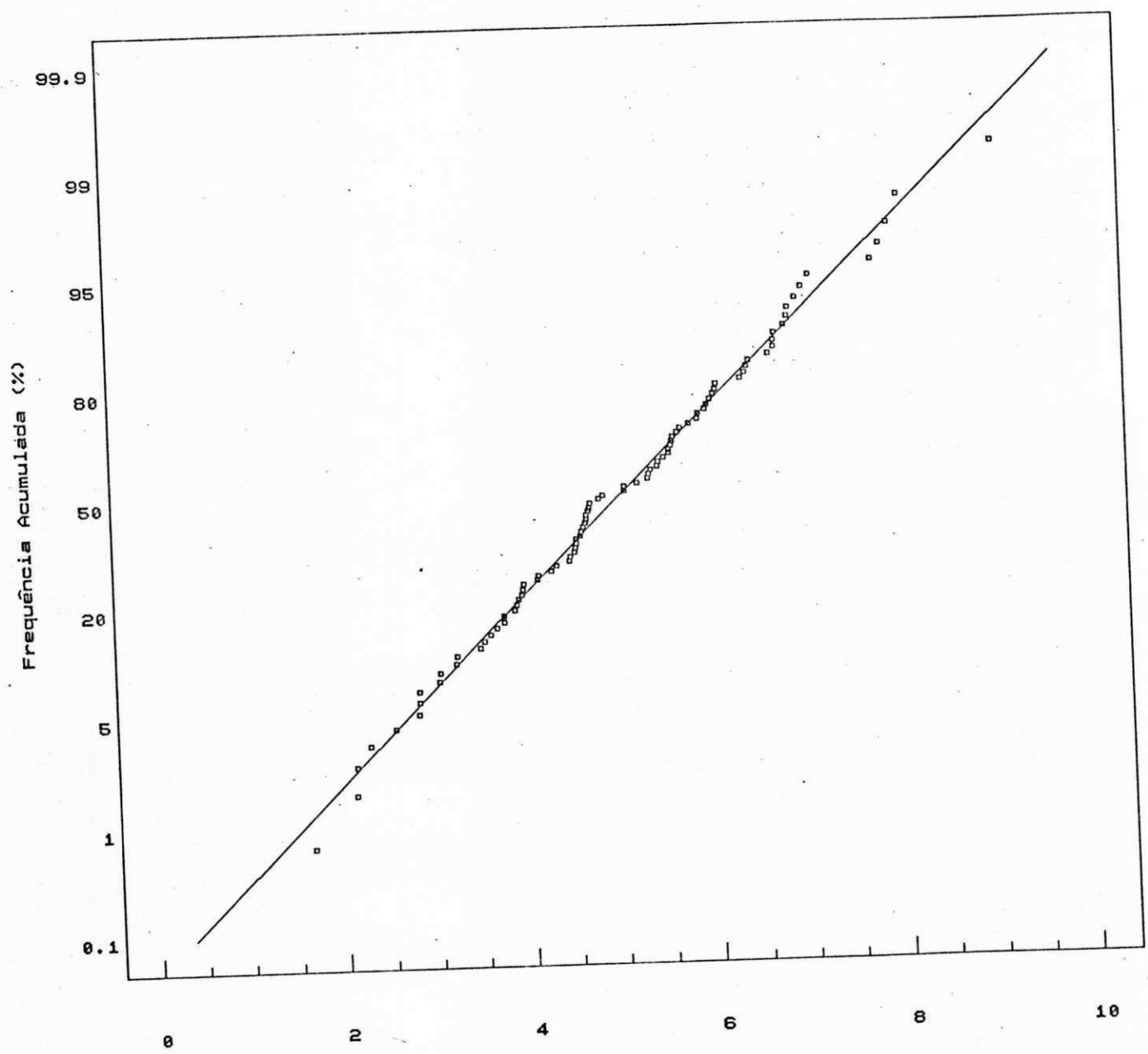


Figura 5.11 - Gráfico normal de probabilidade - APB -

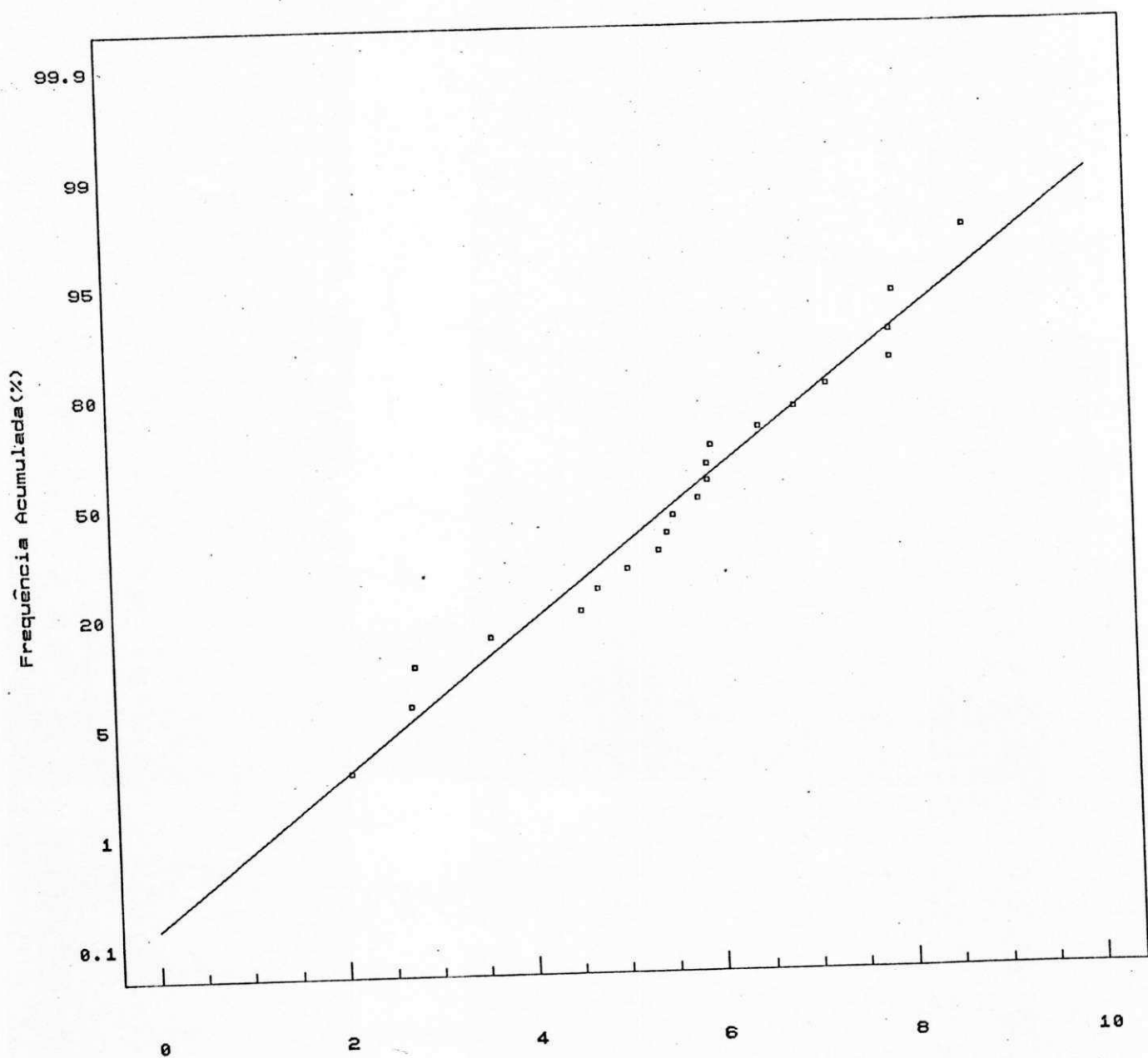


Figura 5.12 - Gráfico normal de probabilidade - BPP -

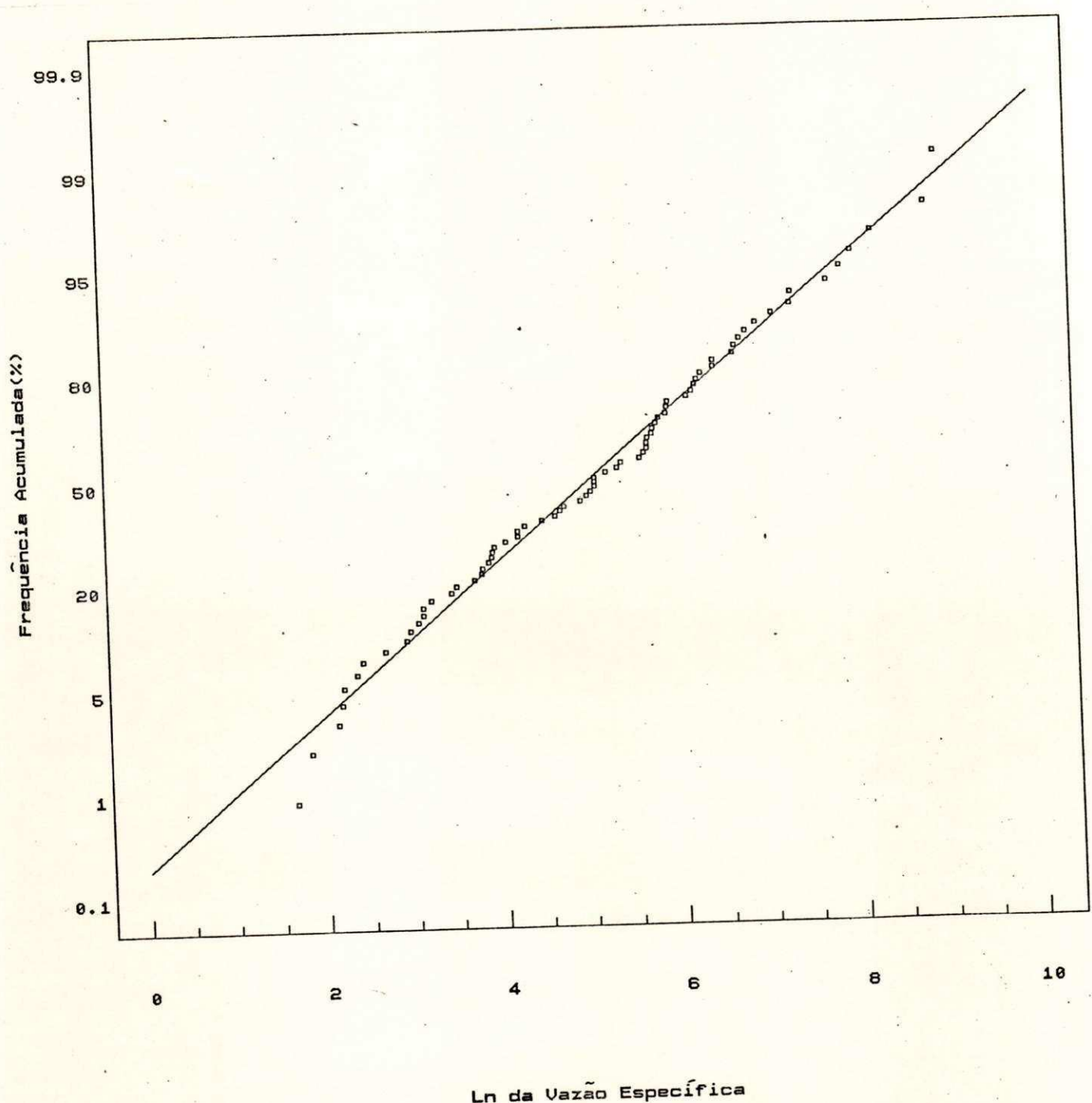


Figura 5.13 – Gráfico normal de probabilidade – MPB –

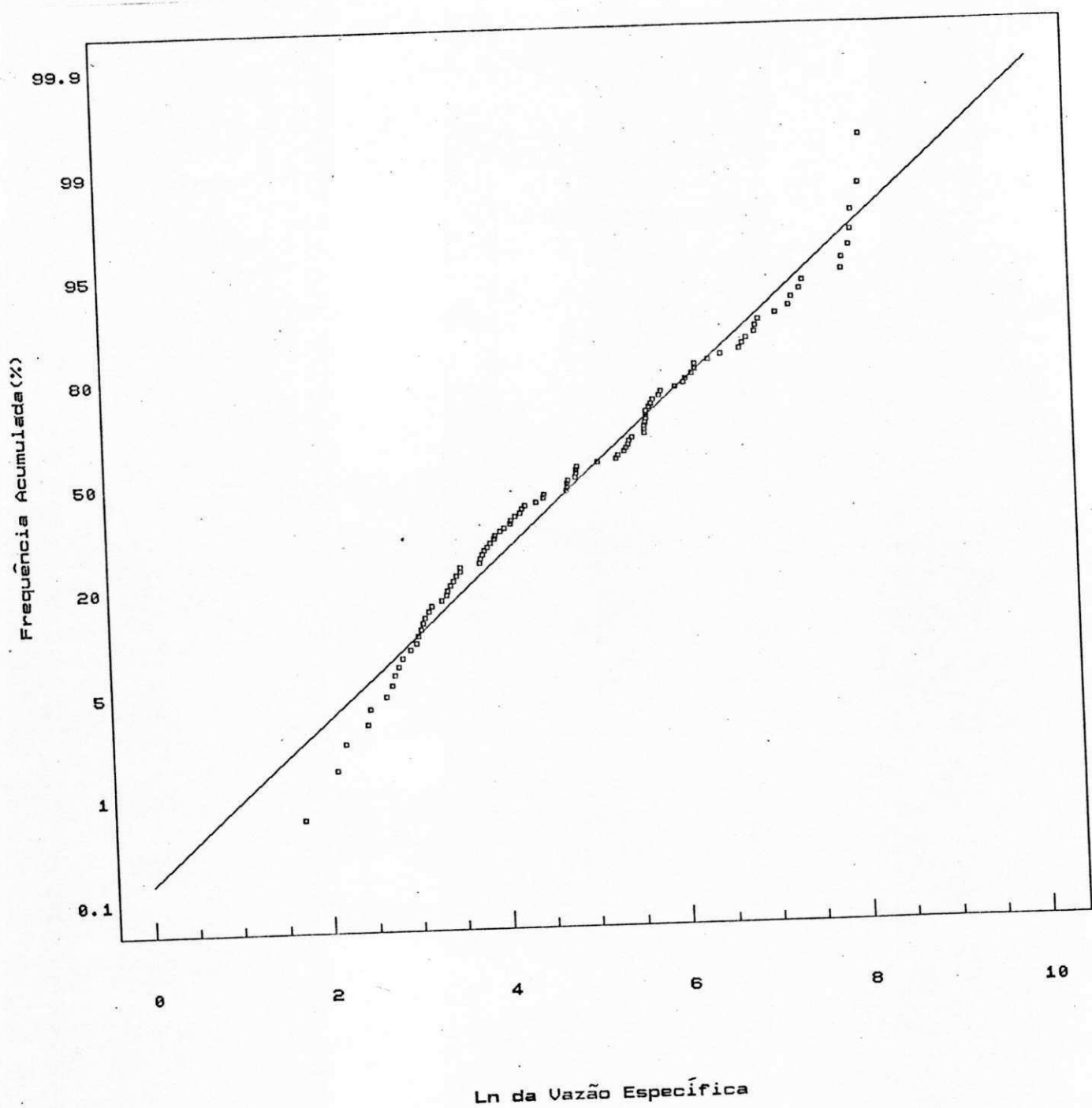
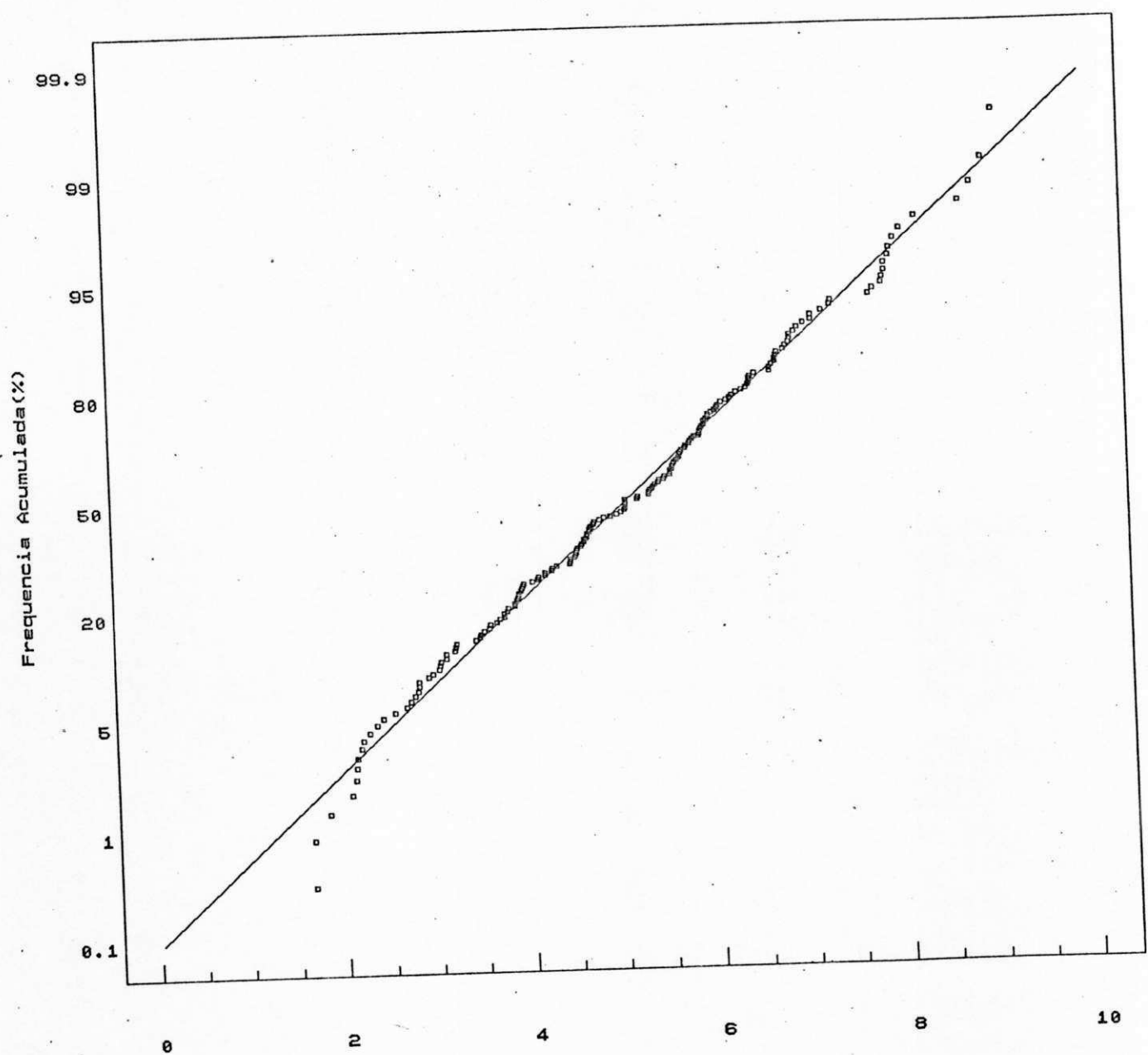


Figura 5.14 - Gráfico normal de probabilidade - RTP -



Ln da Vazao Especifica

Figura 5.15 - Gráfico normal de probabilidade - BPA -

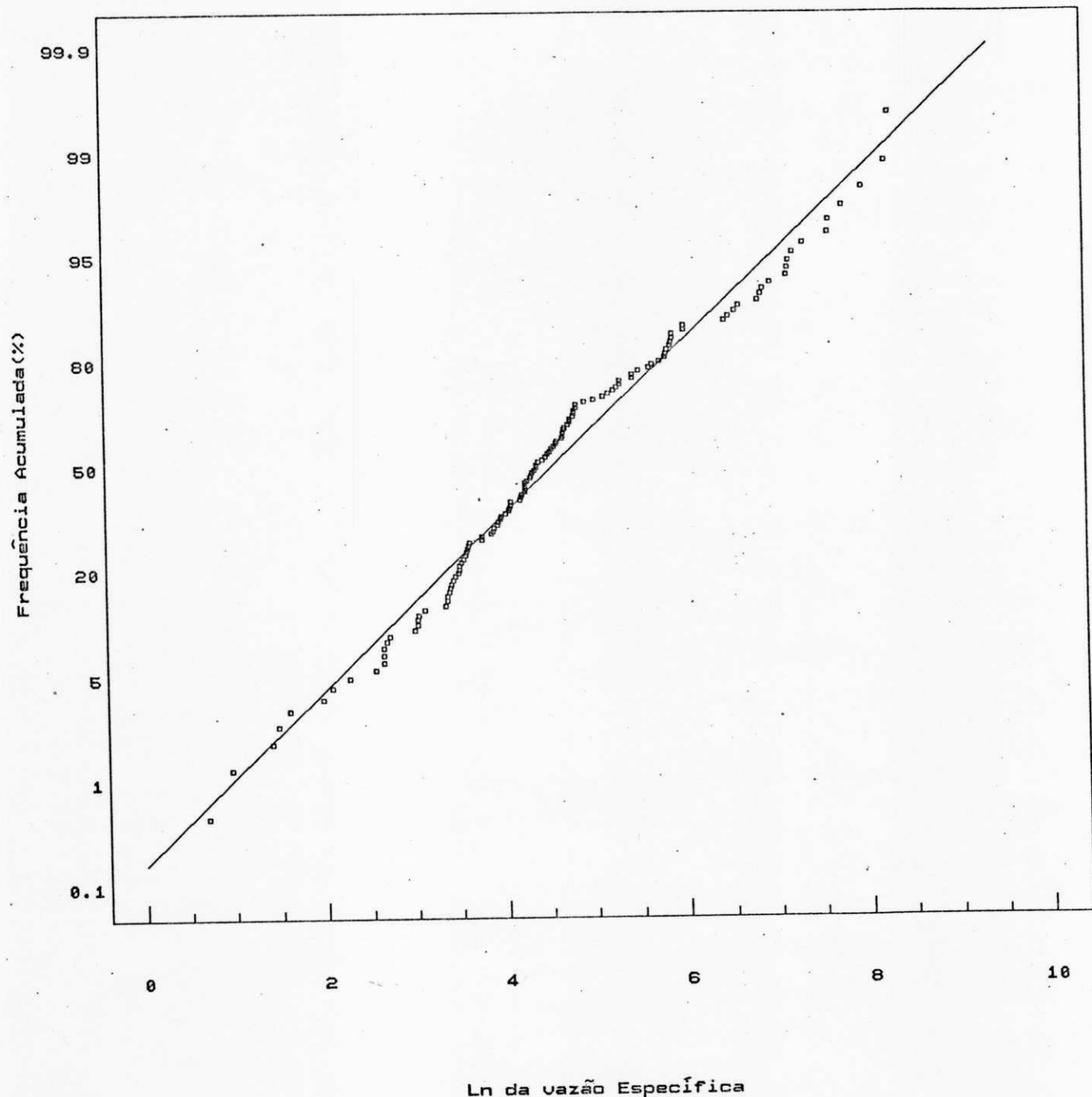


Figura 5.16 – Gráfico normal de probabilidade – RPI-AP –

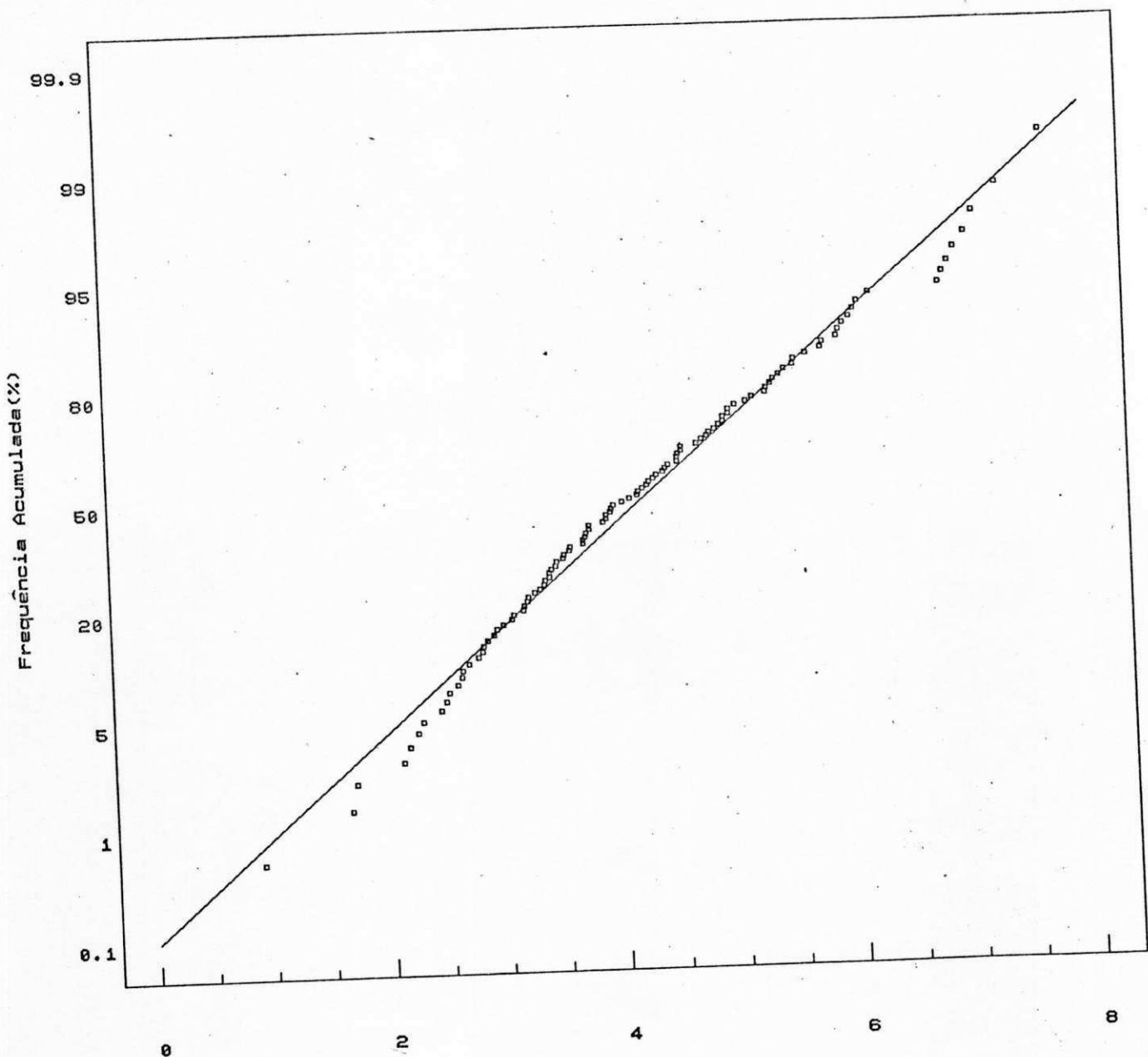
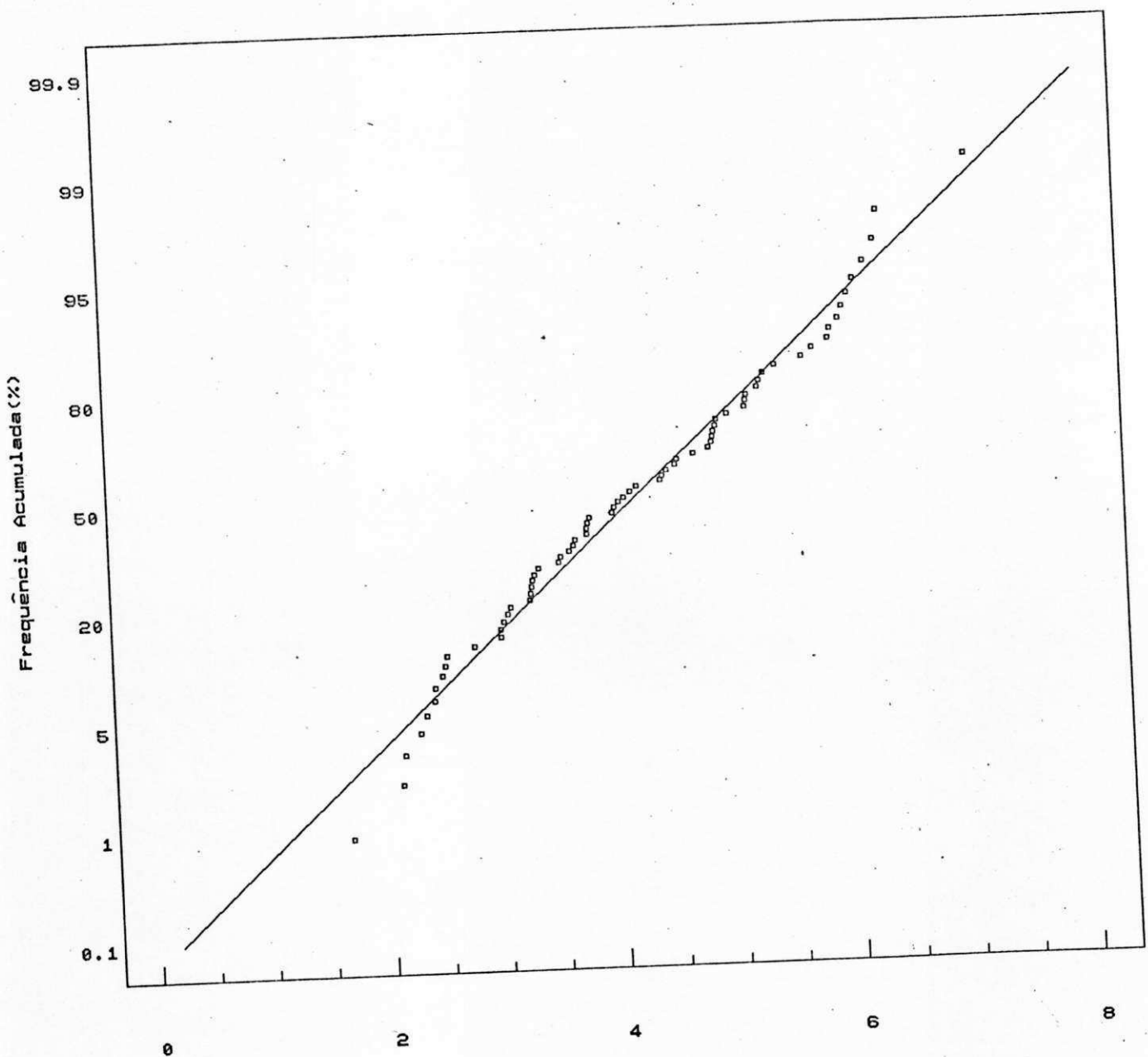


Figura 5.17 - Gráfico normal de probabilidade - RPE-AP



\ln da Vazão Específica

Figura 5.18 – Gráfico normal de probabilidade – RSD –

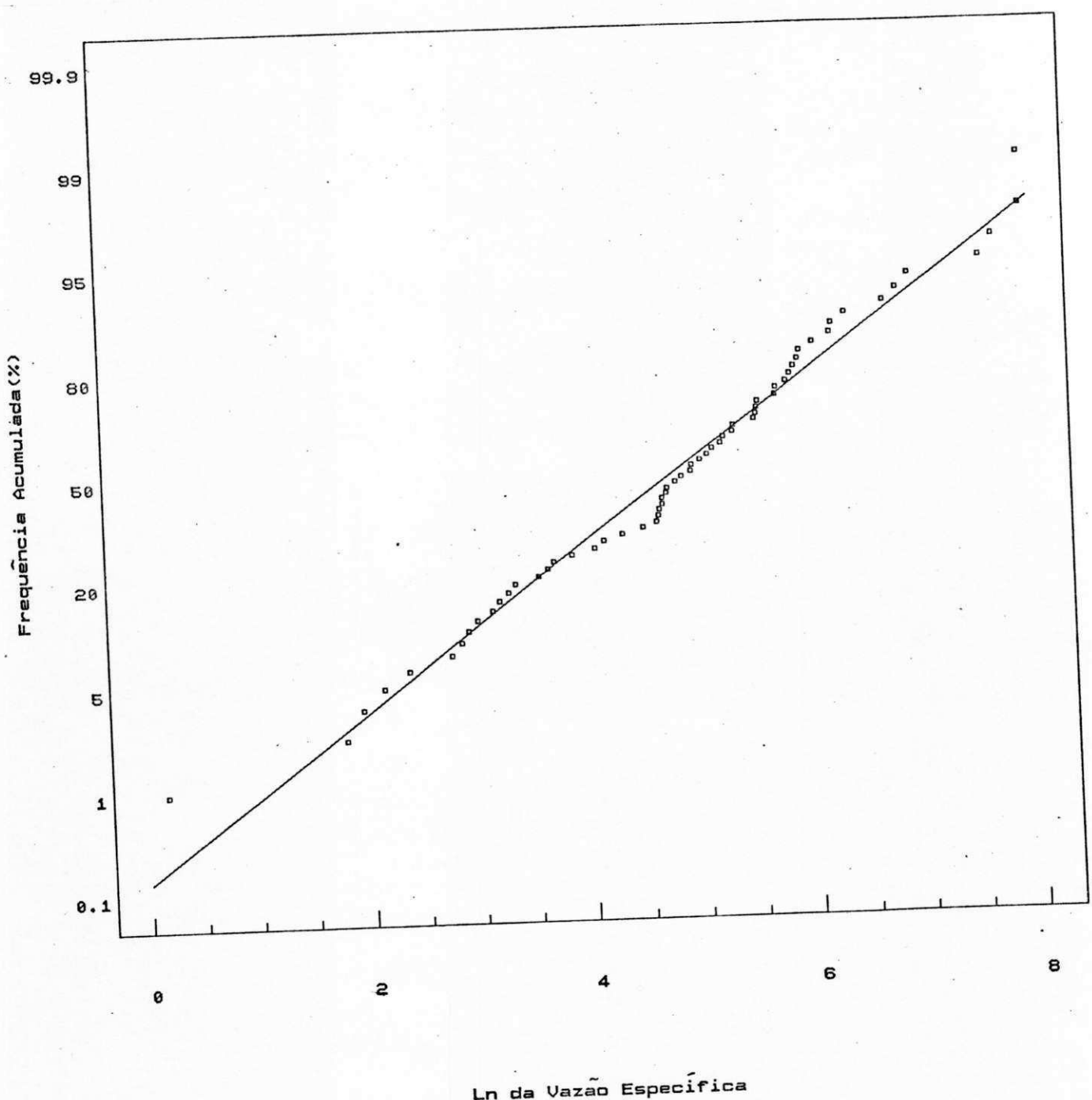


Figura 5.19 - Gráfico normal de probabilidade - RES -

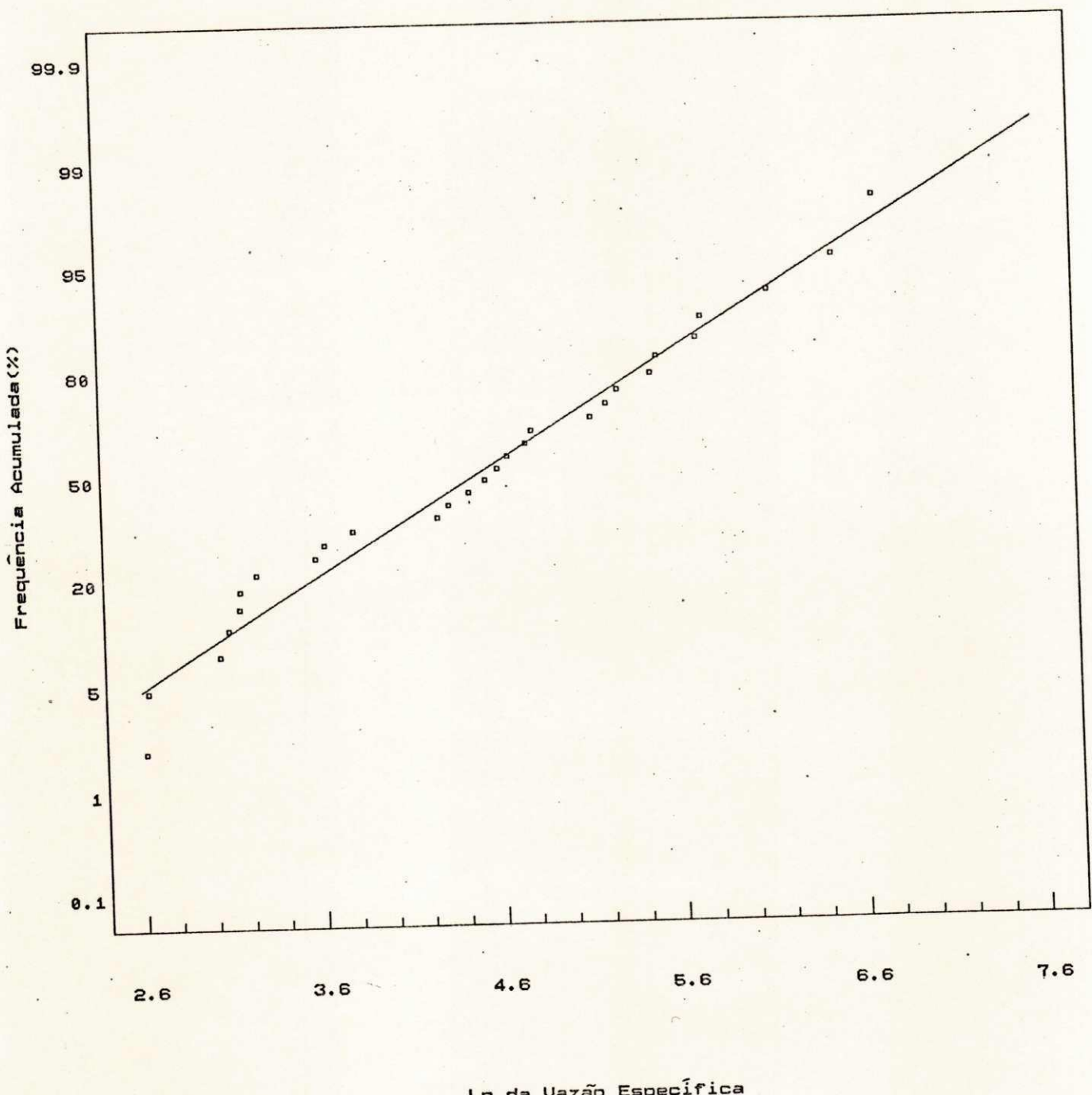


Figura 5.20 - Gráfico normal de probabilidade - MP -

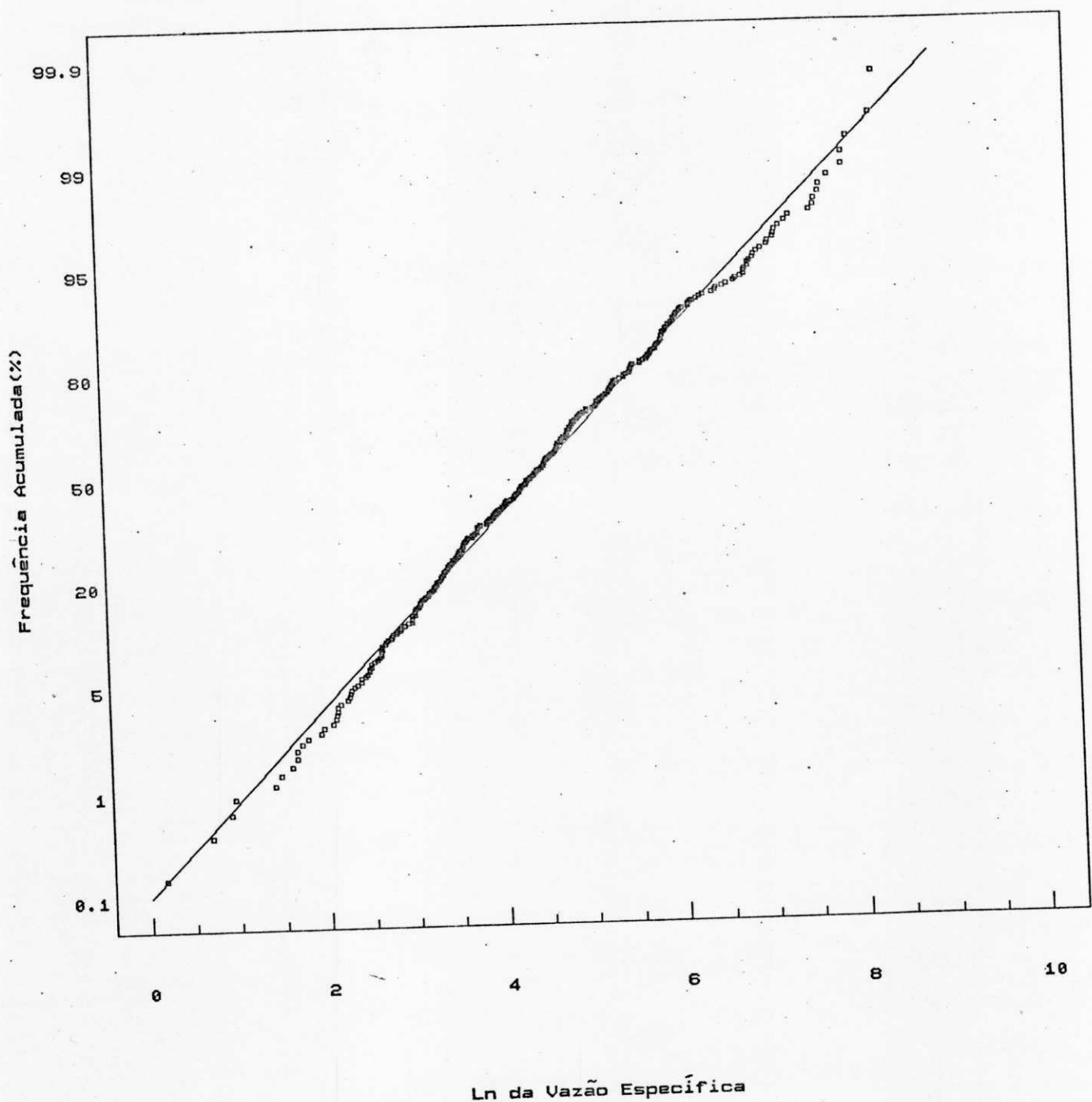


Figura 5.21 - Gráfico normal de probabilidade - BPI -

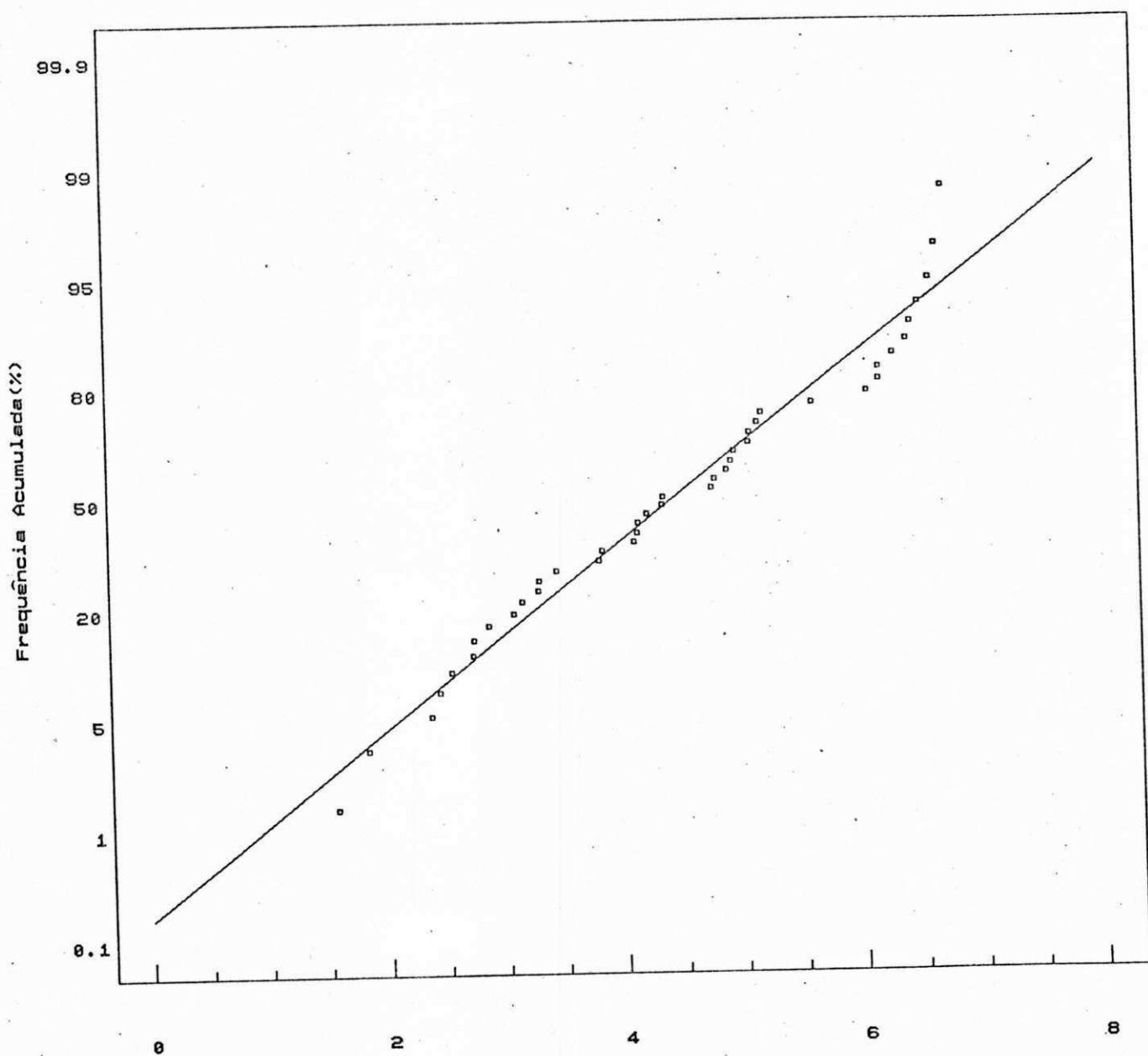


Figura 5.22 - Gráfico normal de probabilidade - RM -

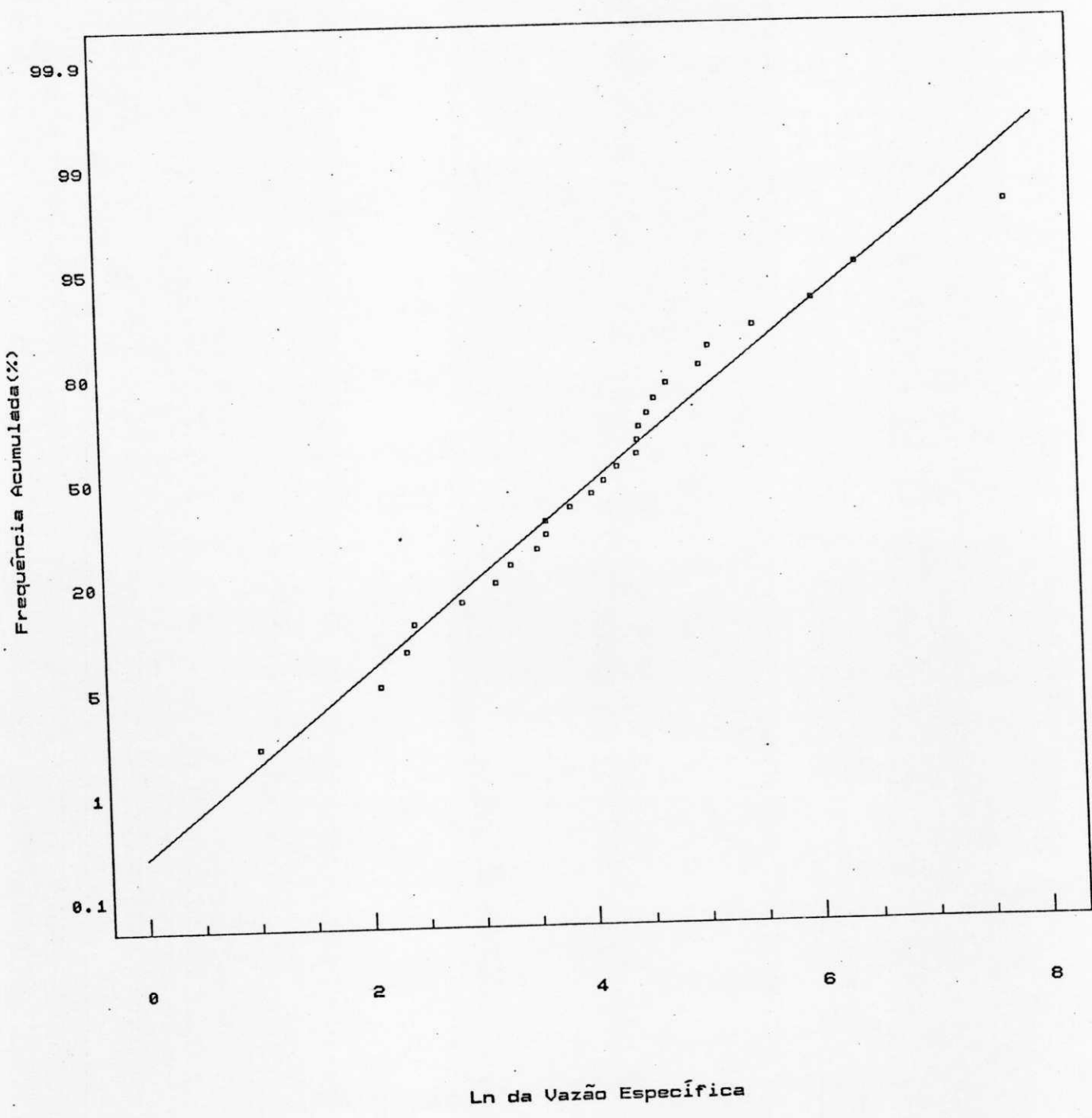


Figura 5.23 - Gráfico normal de probabilidade - BMJ -

5.5 PROBABILIDADES DE OCORRENCIA DE VAZOES EM POCOS
PERFURADOS NO CRISTALINO PARAIBANO

Após estabelecermos a distribuição normal aos dados logaritmizados de vazão específica, estimamos então, algumas probabilidades de ocorrência de valores de vazões superiores a um determinado valor v_a , para as subdivisões por tipo de rocha e por bacia hidrográfica.

Exemplificando, vejamos:

Num gnaisse, qual a probabilidade de se obter uma vazão superior a 4000l/h na perfuração de um poço?

Para os gnaisses, obtivemos uma média amostral $\hat{\mu} = 4.6271$ e um desvio padrão $\hat{\sigma} = 1.52666$, com um β_0 (proporção de poços secos) = 0.2287.

Consideramos um rebaixamento médio observado (nível dinâmico - nível estático) de 12.00m (verificado na análise dos dados para todos os poços) e portanto uma vazão específica aproximadamente correspondente a:

$$v = (4000l/h)/12.00m = 333.33(1/h/m)$$

Sabemos que:

$$P(V > v) = 1 - P(V \leq v), \text{ porém}$$

$$P(V \leq v) = \beta_0 + (1 - \beta_0) \cdot \phi \left[\frac{\ln v - \bar{\mu}}{\sigma} \right], \text{ onde } \phi \text{ é}$$

a função de distribuição acumulada da normal padrão que pode ser calculada por tabelas.

$$\ln(333.33) = 4.6271$$

$$\varphi\left(\frac{4.6271}{1.52666}\right) = 0.780587, \text{ substituindo}$$

estes valores de ρ_0 e $\varphi\left(\frac{\ln(V_{\text{máx}})}{1.52666}\right)$, na equação

acima temos:

$$P(V > v) = 0.2287 + (1 - 0.2287) * 0.780587 = 0.830767,$$

portanto: $P(V > v) = 1 - 0.830767 = 0.169233.$

As tabelas 5.12, 5.13 e 5.14 abaixo nos apresentam resultados de cálculos de probabilidades para as subdivisões por rocha e por bacia hidrográfica.

TABELA 5.12 - Estimativas para as probabilidades de ocorrência de vazões superiores a determinados valores no cristalino paraibano - rochas -

VAZÃO (v_s) (1/h)	VAZÃO (1/h/m)	Ln (VAZÃO (ESPECIFICA/ESPECIFICA))	PROBABILIDADES $P(V > v_s)$					
			GERAL	GNAISSE	GRANITO	MIGMATITO	XISTO	FILITE
1000.00	83.33	4.4228	0.42388	0.42671	0.33478	0.53095	0.43645	0.53241
2000.00	166.67	5.1160	0.28987	0.28877	0.22903	0.38226	0.30635	0.38352
3000.00	250.00	5.5215	0.21766	0.19788	0.17280	0.29571	0.23434	0.29771
4000.00	333.33	5.8091	0.17223	0.16923	0.13751	0.23879	0.18815	0.24141
4800.00	400.00	5.9915	0.14642	0.11508	0.11746	0.20555	0.16154	0.20851
6000.00	500.00	6.2146	0.11826	0.09500	0.09553	0.16847	0.13215	0.17177
7200.00	600.00	6.3969	0.09809	0.09500	0.07977	0.14134	0.11082	0.14481
12000.00	1000.00	6.9078	0.05462	0.05214	0.04549	0.08101	0.06380	0.08446
24000.00	2000.00	7.6009	0.02126	0.01983	0.01851	0.03251	0.02612	0.03503

TABELA 5.13 - Estimativas para as probabilidades de ocorrência de vazões superiores a determinados valores no cristalino paraibano - sub-bacias -

VAZAO (v_s) (1/h)	VAZAO (1/h/m)	Ln (VAZAO) (ESPECIFICA)	PROBABILIDADES P(V) v_s						
			APB	MPB	BPB	RTP	RPE-AP	RSD	MP
1000.00	83.33	4.4228	0.57627	0.47923	0.58490	0.46334	0.32446	0.28843	0.39611
2000.00	166.67	5.1160	0.41856	0.36290	0.47991	0.33865	0.18882	0.15210	0.22374
3000.00	250.00	5.5215	0.32587	0.29437	0.41169	0.26704	0.12588	0.09405	0.14224
4000.00	333.33	5.8091	0.26450	0.24806	0.36241	0.21976	0.09051	0.06359	0.09739
4800.00	400.00	5.9915	0.22847	0.22029	0.33142	0.19192	0.07206	0.04851	0.07465
6000.00	500.00	6.2146	0.18811	0.18840	0.29434	0.16055	0.05343	0.03402	0.05244
7200.00	600.00	6.3969	0.15844	0.16428	0.26505	0.13728	0.04115	0.02495	0.03840
12000.00	1000.00	6.9078	0.09190	0.10687	0.18996	0.08394	0.01823	0.00950	0.01431
24000.00	2000.00	7.6009	0.03756	0.05330	0.10967	0.03783	0.00496	0.00203	0.00285

TABELA 5.14 - Estimativas para as probabilidades de ocorrência de vazões superiores a determinados valores no cristalino paraibano - bacias -

VAZAO (v_s) (1/h)	VAZAO (1/h/m)	Ln (VAZAO) (ESPECIFICA)	PROBABILIDADES P(V) v_s			
			BPA	BPI	RM	BM
1000.00	83.33	4.4228	0.50952	0.37825	0.36030	0.31118
2000.00	166.67	5.1160	0.37962	0.23888	0.23132	0.18146
3000.00	250.00	5.5215	0.30315	0.16899	0.16588	0.12185
4000.00	333.33	5.8091	0.25186	0.12741	0.12651	0.08833
4800.00	400.00	5.9915	0.22133	0.10477	0.10488	0.07079
6000.00	500.00	6.2146	0.18661	0.08102	0.08198	0.05300
7200.00	600.00	6.3969	0.16061	0.06470	0.06610	0.04119
12000.00	1000.00	6.9078	0.10009	0.03203	0.03375	0.01884
24000.00	2000.00	7.6009	0.04634	0.01035	0.01147	0.00543

Como esperado, a probabilidade de se encontrar poços produzindo altas vazões no cristalino paraibano, é muito baixa e em determinadas circunstâncias praticamente inexiste.

Nas rochas, a variabilidade dos índices

probabilisticos foi pequena, observando-se maiores probabilidades nos filitos e migmatitos e menores probabilidades nos granitos.

Nas bacias observou-se maiores probabilidades na bacia do rio Paraíba, sendo as sub-bacias do baixo Paraíba e alto Paraíba, as que apresentaram maiores índices probabilísticos. Na bacia do rio Piranhas, o maior índice ocorreu na sub-bacia do Médio Paraíba e menores probabilidades na bacia dos rios Curimatau e Jacu, sendo que a sub-bacia do rio Seridó obteve índices baixos.

As bacias dos rios Mamanguape e do rio Piranhas apresentaram aproximadamente as mesmas chances.

CAPITULO VI

CONCLUSOES E RECOMENDACOES

6.1 CONCLUSOES

1. Com base nos resultados obtidos, podemos admitir o modelo selecionado como de boa aplicabilidade aos dados de vazão específica de poços perfurados no cristalino paraibano.
2. Ao nível atual de conhecimento, principalmente devido à indisponibilidade de dados, em especial de análises tectônicas e de mecânica das rochas, não é possível fazer associação da geologia com a incidência de valores de vazão nulos observados no estudo.
3. Altas produções no cristalino paraibano praticamente inexistem, havendo preponderância de valores de vazão inferiores a 20001 por poço.
4. A obtenção de maiores probabilidades de vazão nos filitos e migmatitos pode ter ocorrido em função da pequena quantidade de dados pertencentes a estes tipos de rochas. Ainda mais, conforme comentado na revisão

bibliográfica, as árdosias e filitos possuem fraturas mais abertas, por se originarem nas proximidades da crosta terrestre, possuindo assim por consequência, maiores chances de acumulação de água.

5. As melhores chances de obtenção de água na bacia do Paraíba (BPA) comprovam a existência de melhores fraturas, ou seja, fraturas em condições naturais mais apropriadas para armazenar água. Obteve-se maiores valores de probabilidade na sub-bacia do Alto Paraíba, em função de estabelecer-se em níveis topográficos mais altos, possuindo esta sub-bacia fraturas que ainda não sofreram o processo da erosão; e no Baixo Paraíba, em função das coberturas eluviais ou aluviais que margeiam o rio Paraíba contribuirem para alimentação das fraturas, podendo ocorrer diferenças de tectônismo e de mecânica das rochas, não susceptíveis a análise atualmente.

6. Observa-se que os riscos continuam a existir na perfuração de um poço no cristalino e que, a exploração ou não do potencial deste sistema é relativa, em função de estar associada diretamente a outros fatores, tais como a necessidade sócio-econômica da região e a existência ou não de outras disponibilidades hidrálicas.

6.2 RECOMENDAÇÕES PARA FUTURAS PESQUISAS

1. Um maior planejamento com relação à locação dos poços, para assim caracterizar de uma melhor forma o

sistema cristalino como sistema aquífero utilizando análises estatísticas, já que as equações nos meios porosos, são incompatíveis ao mesmo;

2. Maior coleta de informações por parte dos órgãos ligados à perfuração de poços. Realização de novos estudos geológicos com ênfase à tectônica das fraturas e à mecânica das rochas.

3. Aprimoramento da metodologia de perfuração de poço para captação precisa do corpo principal da fratura ou sistema de fraturas.

4. É necessário que os órgãos especializados em perfurações de poços, conscientizem a mão de obra responsável pela coleta dos dados, testes de bombeamento, para que os dados coletados sejam os mais fiéis à realidade do campo e assim, os estudos a partir destes dados, possam colaborar com maior exatidão à pesquisa e exploração de água no sistema cristalino, além de ampliar o estudo e gerenciamento dos recursos hídricos disponíveis no Estado.

5. Pode-se, em função do interesse da área de recursos hídricos, juntamente com especialistas em métodos e análises numéricas, optando-se por uma outra distribuição probabilística para testar o ajuste aos dados de vazão específica, fazer simulações da estatística de teste D_{max} para a distribuição Weibull, em virtude da flexibilidade deste tipo de distribuição.

REFERENCIAS BIBLIOGRAFICAS

ALBUQUERQUE, J. do P.T. (1984) - "Contribuição ao Conhecimento do Sistema Cristalino do Estado da Paraíba como meio aquífero". in Anais do 3º Congresso Brasileiro de Águas Subterrâneas. Vol I - p. 489-513 - Fortaleza - Ce.

ALBUQUERQUE, J. do P.T. (1984) - "Os Recursos de Água Subterrânea do Trópico Semi-árido do Estado da Paraíba" - Tese de Mestrado - UFPB - Campina Grande - Paraíba. 195 p.

ALBUQUERQUE, J. do P.T. (1970), Inventário Hidrogeológico Básico do Nordeste - Folha 15 - Jaguaribe -SE, SUDENE, SUDENE, Divisão de Documentação, HG-32, Recife.

BARENBLATT, ZHELTOV(GILTOV), KOTCHINA (1960) - "Basic concepts in the theory of seepage of homogeneous liquids in fissured rocks" - Journal of Applied Math. Mech. Vol 24, nº 5, p. 1286-1303. (in CUSTÓDIO e LLAMAS 1976)

BRASIL/SUDENE-GEOTECNICA S.A (1980) - Plano de Aproveitamento dos Recursos Hídricos do Nordeste- PLIRHINE, Fase I. Recursos Hídricos I e II, Águas Subterrâneas e Águas de Superfície, vol VII, Recife-PE p.

CAMPBELL, M.D.(1977) - "Water well Technology for Groundwater Development and Production in Igneous and Metamorphic Rocks". International Seminar - Stockholm - Sweden, (in COSTA 1986).

CASTILLO, E., KAMADI, G.M., KRIZEK, R.J.(1972) - "Unconfined Flow through jointed rock" - Water Resources Bulletin, Am. Water Resources Assoc., Vol 8, nº 2, p. 266-281. (in CUSTÓDIO e LLAMAS, 1976).

CEDESTROM, D.J., ASSED, J.C.(1964) - "Observações Hidrológicas no Nordeste do Brasil". DHRM, DGM, Nº 120, Rio de Janeiro.

CONOVER, W. J.(1980) - Practical Nonparametrics Statistics - Wiley, New York. 493p.

COSTA, W.D.(1965) - "Análise dos Fatores que Influenciam Na Hidrogeologia do Cristalino" - Rev. Água Subterrânea, set/dez - Recife - PE.

COSTA, W.D.(1980) - "A Hidrogeologia do Cristalino à Luz da Mecânica das Rochas" in Anais do 1º Congresso Brasileiro de Aguas Subterrâneas - Recife - p. 375-383.

COSTA, W.D(1986) - "Análise dos Fatores que atuam no Aquífero fissural - Área piloto dos Estados da Paraíba e R.G do Norte". Tese de Doutoramento - 206 p. São Paulo.

CRUZ, W., (1967) - "Alguns Aspectos de Circulação e Salinização de Água Subterrânea em Rochas Cristalinas do

Nordeste do Brasil - série: Brasil - Sudene
Hidrogeologia", Nº 8 - Recife - PE.

CSALLANY, S.C.(1965) - "The Hydraulic Properties and Yields of Dolomite and Limestone Aquifers". I.A.S.H - UNESCO.

Simpósio de Dubrovnik Sobre La Hidrologia de Las Rocas Fracturadas - Tomo I, p. 120-138. (in CUSTÓDIO e LLAMAS, 1976)

↓
CUSTÓDIO, E. e LLAMAS, M.R.(1976) - Hidrologia Subterrânea - Tomo I - Ediciones Omega S.A - Barcelona.

DALLAL, G.E. and WILKINSON, L.(1986) - "An Analytic Approximation to the Distribution of Lilliefors Test Statistic for Normality". American Statistician, 40, 294 - 296.

DURBIN, J.(1975) - "Kolmogorov-Smirnov Tests When Parameters are Estimated with Applications to Tests of Exponentiality and Tests on Spacings", Biometrika, 62, p. 5-22.

↓
FRANGIPANI, A. (1985) - "Revisão da Literatura Internacional sobre Água Subterrânea em Rochas Fraturadas" in Anais do I Simpósio Nacional de Água Subterrânea em Rochas Fraturadas. Belo Horizonte - MG.

GREENGARTEN, A.C., WITHERSPOON, P.A(1972) - "A Method of analyzing Pumps Test Data from Fractured Aquifers"- Sym. Percolation Through Fissured Rocks. Stuttgart. Int. Soc. Rock Mechanics, Int Assoc: Eng.Geology T3-B, (in CUSTÓDIO

e LLAMAS, 1976).

GREENGARTEN, RAMEY, RACHAVAN. (1972) - "Pressure Analysis of Fractured Wells". Soc. Petroleum Eng., 4714 Annual Fall Meeting. San Antonio, Texas (in CUSTODIO e LLAMAS, 1976).

GREENGARTEN, A. C., RAMEY, H.J., Jr(1972) - "Unsteady State Pressure Distribution Created by a Well with a Single Horizontal Fracture, Partial Penetration, or Restricted entry". Soc. Petroleum Eng. of AIME. Dallas. (in CUSTODIO e LLAMAS, 1976).

HAUSMAN, A.(1985) - "Aspectos Hidráulicos da Circulação em Aquíferos Fraturados" - in Anais 1º Simpósio Nacional de Água Subterrânea em Rochas Fraturadas - p. 29-31 - Belo Horizonte - MG.

HOEL, P.G.(1980) - Estatística Matemática - Editora Guanabara Dois S.A - Rio de Janeiro - 4ª edição. 373 p.

HONYK, W.J.(1979) - "Proposta de uma Nova Unidade de Produção nas Rochas Cristalinas" - UFPE - Recife (circulação interna e restrita) (in COSTA, 1986).

HUCK, S. W. and CORMIER, W. H. and BOUNDS, W.G.Jr.(1974) - Reading Statistic and Research - Harper & Row, Publishers new York. 387 p.

LARSSON, I., (1977) - "Groundwater in Hard Rocks". International Seminar, Stockholm - Cagliari.

LEGRAND, H.(1959) - "Yield of Wells" - Div. Mineral Resources, Bull N° 75 - U.S.A., (in COSTA, 1986).

LILLIEFORS, H.W.(1967) - "On the Kolmogorov-Smirnov Test for Normality With Mean and variance Unknown", JASA, 62, 399-402.

LILLIEFORS, H.W.(1969) - "On the Kolmogorov-Smirnov Test for the Exponential Distribution with Mean Unknown", JASA, 64, 387-389.

LOUIS, C.(1968) - "Etude des Ecoulements d'Eau des les Roches Fissurés et de leurs influences sur la Stabilité des Massifs Rocheux" - These présentée a l'Université de Karlerache - E.D.F. Bulletin de la Direction des Etudes et Recherches, Serie A, N° 3, (in COSTA, 1986).

LITTELL, R.C. and McCLAVE, J.T. and OFFEM, W.W.(1979) - Goodness-of-Fit Tests for the two parameter Weibull Distribution ". Commun. Statist - SIMULA - COMPUTA B8(3), 257-269.

MASSEY, F.J.(1951) - "The Kolmogorov-Smirnov for Goodness of Fit", JASA, 46, 68-78

REBOUCAS, A. da C.(1973) - "Le Probleme de L'Eau Dans le Zone Semi-Aride du Brésil" Memoire de l'Université de Strasbourg, N° CNRG - Ao 8.639, Strasbourg, France, (in ALBUQUERQUE, 1974).

SIQUEIRA, L.(1963) - " Contribuição da Geologia a Pesquisa de Água Subterrânea" - SUDEME - 45 p. Recife - PE.

SIQUEIRA, L.(1963) - "Aspectos Hidrogeológicos do Cariri Paraibano", SUDEME - Boletim. Rec. Mat. Vol 1, Nº 1, p. 11-14, 10/12. Recife - PE.

SUSZYNSKY, E. F.(1968) - "L' Hidrogéologie des Terrains Cristalins du "Nordeste" Brésilien". Bull. Bureau Recherches Géologiques et Minières, sección III, vol 3, 2^a parte, p. 83-95. Paris, (in CUSTÓDIO e LLAMAS, 1976).

SCHOFF, S.L.(1965) - "Hidrogeologia e Pesquisa Hidrogeológica no Nordeste Brasileiro" 5^a Semana de Estudos de Hidrogeologia - Aguas no Nordeste, SICEG, nº 5, Ouro Preto, p. 121-156.

STEWART, G.W.(1967) - "Drilled Water Wells in New Hampshire". New Hampshire Department of Resources and Economic Development; Division of Economic Development. Mineral Resources Survey, part XX, (in CUSTÓDIO e LLAMAS, 1976).

TALTASSE et alii.(1961) - "Relatório sobre Pesquisa de Água em Curso no Cariri (Paraíba)", Relatório Interno, Grupo Cariri, Campina Grande, (in ALBUQUERQUE, 1984).

TEIXEIRA, J.A. and OLIVEIRA, S.P.B.(1962), Perfuração de Poços Tubulares e Levantamento Geológico". Petrolina - PE - SUDEME, Inédito.

THOMAN, D.R., BAIN, L.T. and ANTLE, C.E.(1969) - "Inferences

on the Parameters of the Weibull Distribution",
Technometrics, 11, 445-460. (in LITTELL, McCLAVE e OFFEN,
1979).

WALTON, W.C.(1970) - Groundwater Resource Evaluations.
Mc.Graw Hill Book, Co. 664 p.

WONMACOTT, T.H. and WONMACOTT, R.J.(1980) - Introdução a
Estatística, Rio de Janeiro: Livros Técnicos e
Científicos. 589 p.

ANEXO I

CRASTRO DAS INFORMAÇÕES DE PERFURAÇÕES DE POCOS NO CRYSTALLINO PARABANHO - DADOS COLHIDOS DA CDRM

Município	Coord. Geograf.	Tb	Prof.	N.E.	N.D.	Vazão	V.E.P.	Manto Coberto	Fraturas	Res. Sec.	R. Basica	
	Lat.	Ch	Ch	Ch	Ch	Ch/h	Ch/h/m	Mat Esp (Ch)	entradas	Ch9/13		
AGUAR BRINCH	072913	373619	ST	12.00	50.00	1.630	20.310	101.0	5.0	2	2470.00 1 RPI-AP	
AGUAR BRINCH	072945	373623	ST	10.00	50.00	8.680	17.460	198.0	22.5	-	790.00 1 RPI-AP	
AGUAR BRINCH	073156	374116	ST	12.00	40.00	2.900	14.040	1220.0	109.5	2	662.00 1 RPI-EP	
AGUAR BRINCH	073132	374009	ST	3.00	60.00	8.360	12.825	59.0	13.0	6	1335.00 1 RPI-AP	
AGUAR BRINCH	072648	373445	ST	12.00	45.00	4.570	17.422	274.0	21.0	2	1820.00 1 RPI-AP	
AGUAR BRINCH	073042	373834	ST	12.00	45.00	2.370	14.780	2680.0	232.1	3	1467.00 1 RPI-EP	
AGUAR BRINCH	072454	373843	ST	* 50.00	*	*	*	*	0.0	21.10	2	RPI-AP
AGUAR BRINCH	070600	380610	DAP	8.00	50.00	2.910	7.530	525.0	113.6	3	728.00 1 RPI-AP	
AGUAR BRINCH	070552	381510	DAP	12.00	50.00	6.000	12.330	212.0	133.5	2	430.00 1 RPI-AP	
AGUAR BRINCH	070549	381036	DAP	12.00	50.00	5.560	12.095	653.0	99.9	1	447.00 1 RPI-AP	
AGUAR BRINCH	070423	380739	DAP	12.00	50.00	5.580	18.360	1360.0	106.4	4	1 RPI-AP	
AGUAR BRINCH	070516	381713	DAP	* 50.00	*	*	*	*	3.0	1.0	424.53 1 RPI-AP	
AGUAR BRINCH	070656	381139	DAP	12.00	50.00	5.600	10.207	128.0	29.0	2	406.45 1 RPI-AP	
ALAGOTINHA	-	-	PB	12.00	30.00	2.000	9.110	475.0	665.5	2	3575.00 1 RPI	
ALAGOTINHA	-	-	PB	12.00	50.00	2.100	14.110	1440.0	119.9	2	9750.00 1 RPI	
ALAGOTINHA	-	-	PB	12.00	60.00	6.030	22.950	1321.0	78.1	1	5760.00 1 RPI	
ALAGOTINHA	-	-	PB	12.00	51.00	1.920	8.400	2800.0	432.1	4	576.00 1 RPI	
ALAGOTINHA	-	-	PB	12.00	60.00	7.490	20.026	2250.0	179.4	3	23.40 1 RPI	
ALAGOTINHA	-	-	PB	* 57.30	*	*	*	*	2.7	0.0	665.03 1 RPI	
ALLEGÓRIA GRANDE	-	-	PB	24.00	22.00	2.000	12.040	630.0	625.8	3	42.50 ** 1 RPI	
ALLEGÓRIA GRANDE	-	-	PB	9.00	30.00	5.000	15.020	827.0	160.2	3	2023.70 1 RPI	
ALLEGÓRIA GRANDE	-	-	PB	10.00	22.00	3.150	7.750	737.0	4.0	0.0	491.30 1 RPI	
ALLEGÓRIA GRANDE	-	-	PB	* 30.00	*	*	*	*	3	0.0	*	
ANTENOR MAGALHÃES	065100	382310	SC	12.00	40.00	2.580	9.160	7200.0	1094.2	1	41.50 1 RPI	
ANTENOR MAGALHÃES	065110	382403	SC	12.00	50.00	2.115	10.900	103.0	111.7	3	28.20 1 RPI	
ANTENOR MAGALHÃES	065200	382395	SC	12.00	50.00	2.615	24.950	124.0	15.6	2	745.00 1 RPI	
ANTENOR MAGALHÃES	0638823	382520	SC	12.00	50.00	1.370	17.575	395.0	24.9	3	892.00 1 RPI	
ANTENOR MAGALHÃES	-	-	SC	12.00	50.00	7.720	15.510	514.0	66.0	2	622.00 1 RPI	
ANTENOR MAGALHÃES	065300	382616	SC	* 50.00	*	*	*	*	0.0	3.0	429.00 1 RPI	
ANTENOR MAGALHÃES	065213	382210	SC	* 50.00	*	*	*	*	1.0	0.0	1 RPI	
ANTENOR MAGALHÃES	064003	382710	SC	12.00	50.00	2.730	9.790	3428.0	485.6	3	1 RPI	
BRACHIGI	064803	3752205	PB	12.00	36.00	0.000	5.520	4280.0	775.4	3	645.46 1 RPE-AP	
BRACHIGI	064623	352606	PB	12.00	40.00	11.500	13.900	1150.0	479.2	2	715.00 1 RPI	
BRACHIGI	064733	352135	PB	* 50.00	*	*	*	*	0.0	0.0	34.50 1 RPI	
BRASILHUM	-	-	CUR	* 23.00	*	*	*	*	2	9.0	*	
PROEIRAS	-	-	BP	12.00	50.00	2.400	21.895	1220.0	62.6	1	195.00 2 RPI	
PROEIRAS	-	-	CV	8.00	65.00	36.000	44.260	436.0	58.7	2	496.00 1 RPI	
PROEIRAS	-	-	CV	12.00	50.00	1.890	6.960	1636.0	322.7	2	6201.00 1 RPI	
PROEIRAS	-	-	CV	12.00	40.00	2.100	25.550	1590.0	67.8	2	7150.00 1 RPI	
PROEIRAS	-	-	CV	* 50.00	*	*	*	*	3.0	34.75	*	
PROEIRAS	-	-	CV	* 50.00	*	*	*	*	1.5	3.0	1 RPI	
PROEIRAS	-	-	CV	* 50.00	*	*	*	*	3.0	0.0	*	
PROEIRAS	-	-	CV	12.00	60.00	1.400	17.400	315.0	19.7	2	8710.00 1 RPI	
PROEIRAS	-	-	CV	12.00	50.00	2.400	21.550	2945.0	154.0	2	29.45 1 RPI	
B. DE S. MIGUEL	074336	361243	CV	12.00	30.00	2.800	5.880	3692.0	1198.7	2	9750.00 1 RPI	
B. DE S. MIGUEL	074637	361736	CV	12.00	40.00	3.060	12.865	2666.0	271.4	3	10680.00 2 RPI	
B. DE S. MIGUEL	074529	360906	CV	12.00	40.00	3.45	8.510	499.9	3.0	2176.00 2 RPI		
B. DE S. MIGUEL	074406	361700	CV	12.00	51.00	6.970	22.300	4010.0	261.6	3	6371.00 1 RPI	
B. DE S. MIGUEL	074444	362221	CV	12.00	51.00	3.215	8.510	16.9	0.5	25.20	1135.46 1 RPI	
BOM SUCESSO	063023	375749	CR	16.30	50.00	2.200	21.980	334.0	452.4	1	811.51 2 RPI	
BOM JESUS	064939	383913	SC	12.00	40.00	2.010	11.100	1398.0	1454.3	2	266.00 1 RPE-AP	
BOM JESUS	064600	383426	SC	* 44.00	*	*	*	*	4	0.0	*	
BOM JESUS	064853	383929	SC	12.00	50.00	4.840	27.576	216.0	9.5	3	630.00 1 RPE-AP	
BOM JESUS	064645	383745	SC	* 50.00	*	*	*	*	3.0	0.0	*	
BOM JESUS	064952	333922	SC	12.00	50.00	6.210	12.270	687.0	113.4	1	1460.00 1 RPE-AP	
BOM JESUS	064952	333922	SC	* 50.00	*	*	*	*	3.0	0.0	*	
BOM JESUS	064854	303915	SC	12.00	50.00	2.500	14.835	396.0	32.1	3	1050.00 3 RPE-AP	
BOM JESUS	064844	333929	SC	* 50.00	*	*	*	*	3.0	0.0	*	

Municipio	Coord. Geograf Lat.	Tb ChD	Prof. ChD	N.E ChD	N.D ChD	Vazao Q1/bh)	V.Esp (1/bh)	Mario Cobert Net Esp ChD	Fracturas entre-asas	Rest-Sec Chg/ID	R Bacia
BONFIM	072642 360944	CW 12.00	30.00	2.970	6.660	5530.0	1498.6	4	0.7 RH	9.0 9.90	3 MPB
BONFIM	072639 361203	CW *	30.00	*	*	*	*	*	0.5 RH	1.8 11.55	3 MPB
BONFIM	072639 360246	CW 12.00	30.00	4.660	15.540	4000.0	367.6	4	2.0 RH	9.0 23.30	3 MPB
BONFIM	072636 360120	CW 12.00	40.00	1.940	18.300	4590.0	230.6	2	3.0 RH	9.0 31.90	32.00 1 MPB
BONFIM	072636 360633	CW 12.00	42.00	4.240	22.110	18.400	103.0	4	1.0 RH	15.0 29.95	30.00 2 MPB
BONFIM	072626 361106	CW 12.00	21.50	8.350	9.970	56.400	2246.9	4	2.0 RH	4.0 16.90	16.95 2 MPB
BONFIM	073454 360956	CW 12.00	30.00	8.550	14.860	260.0	41.2	2	3.0 RH	6.0 19.50	19.55 1 MPB
BONFIM	072508 361043	CW *	30.00	*	*	*	*	4	0.5 RH	6.0 19.50	19.55 1 MPB
BONFIM	072514 360600	CW 12.00	40.00	4.490	9.350	7200.0	1481.5	3	2.0 RH	6.0 9.20	9.40 1 MPB
BONFIM	072942 360713	CW *	30.00	*	*	*	*	5	2.5 RH	9.0 8.30	8.40 1 MPB
BONFIM	072700 361210	CW 12.00	50.00	1.980	37.690	225.0	6.3	3	3.0 RH	6.0 6.10	6.10 1 MPB
BONFIM	073543 360109	CW 12.00	30.00	1.560	15.770	4417.0	310.8	3	3.0 RH	6.0 21.70	21.70 1 MPB
BONFIM	-	CW *	30.00	*	*	*	*	5	0.5 RH	0.0 *	*
BONFIM	073630 360826	CW 7.00	50.00	2.300	21.000	2571.0	137.5	2	3.0 RH	6.0 30.50	30.70 1242.00 4 MPB
BONITO STA FE	072120 382916	SC *	50.00	*	*	*	*	5	0.5 RH	6.0 *	*
BONITO STA FE	071919 381339	SC 12.00	69.00	1.650	28.850	728.0	21.8	2	3.0 RH	9.0 37.50	37.50 1 RFE-AP
BONITO STA FE	071804 383200	SC 12.00	50.00	1.520	24.300	496.0	21.8	2	3.0 RH	6.0 26.60	26.60 1 RFE-AP
BONITO STA FE	071700 382700	SC 12.00	50.00	4.680	19.700	436.0	29.4	2	3.0 RH	0.0 21.10	21.10 1 RPE-AP
BONITO STA FE	071911 381332	SC 6.00	50.00	4.400	10.040	142.0	25.2	4	3.0 RH	6.0 9.95	10.00 1 RFE-AP
BONITO STA FE	072026 382923	SC *	51.00	*	*	*	*	5	1.0 RH	6.0 *	*
BONITO STA FE	071621 383145	SC 12.00	40.00	5.465	11.745	2322.0	369.7	4	3.0 RH	0.0 42.80	43.00 1 RFE-AP
BON VENTURIA	072503 381206	SC 12.00	40.00	7.450	10.605	4830.0	1521.4	4	3.0 RH	6.0 17.00	17.20 5 RPI-AP
BON VENTURIA	072516 381023	SC *	50.00	*	*	*	*	5	3.0 RH	0.0 *	*
BON VENTURIA	072620 381336	SC 12.00	52.00	*	*	*	*	5	3.0 RH	6.0 11.80	12.00 *
BON VENTURIA	072434 381200	BP 12.00	40.00	7.900	21.295	3272.0	249.3	3	3.0 RH	0.0 *	*
BONHEIRES	-	-	-	BP *	50.00	*	*	2	3.0 RH	0.0 *	*
BONHEIRES	-	-	-	BP 12.00	40.00	4.220	8.440	2571.0	609.2	4	3.0 RH
BONHEIRES	-	-	-	BP 12.00	50.00	5.500	16.916	819.0	717.1	2	3.0 RH
BELEM	064129 352731	PB 12.00	50.00	5.200	16.916	819.0	717.1	2	3.0 RH	9.0 13.40	13.55 *
BELEM	-	-	-	PB 12.00	50.00	5.200	16.916	819.0	717.1	2	3.0 RH
B-DOS COCHOS	070720 330351	DAP 12.00	45.00	6.620	27.235	1978.0	96.0	2	3.0 RH	6.0 35.00	35.00 1 RPI-AP
B-DOS COCHOS	071043 381513	DAP 12.00	50.00	2.165	12.695	3862.0	36.3	2	3.0 RH	9.0 13.80	13.80 *
B-DOS COCHOS	071003 380942	DAP 12.00	40.00	8.860	23.600	1028.0	69.7	2	3.0 RH	6.0 31.40	31.40 *
B-DOS COCHOS	070907 330906	DAP 12.00	40.00	7.220	26.150	1109.0	53.0	4	3.0 RH	6.0 35.10	35.10 *
B-DOS COCHOS	070722 330642	DAP 12.00	50.00	8.260	26.550	197.0	9.7	2	3.0 RH	3.0 35.10	35.15 *
B-DOS COCHOS	070722P 3304952	DAP 6.00	50.00	6.700	12.725	202.0	33.5	2	3.0 RH	6.0 14.90	15.00 *
B-DOS COCHOS	071009 3304541	DAP *	50.00	*	*	*	*	4	0.5 RH	6.0 *	*
B-JOS COCHOS	070806 330451	DAP 10.00	51.00	6.000	34.329	1640.0	57.9	1	0.5 RH	2.0 48.00	48.10 *
B-JOS COCHOS	070716 3306332	DAP *	50.00	*	*	*	*	5	1.0 RH	2.0 48.00	48.10 *
B-JOS COCHOS	071129 330523	DAP 12.00	50.00	6.800	17.515	217.0	20.2	2	3.0 RH	6.0 20.60	20.70 *
B-JOS COCHOS	070834 3306449	DAP *	50.00	*	*	*	*	5	1.0 RH	0.0 *	*
B-JOS COCHOS	071120 330643	DAP 12.00	50.50	1.050	9.360	240.0	26.9	1	0.5 RH	3.2 *	*
B-JOS COCHOS	071009 3304541	DAP 10.00	51.00	*	*	*	*	4	0.5 RH	1.0 RH	*
B-JOS COCHOS	070806 3306332	DAP 12.00	42.00	3.150	16.660	860.0	63.7	2	2.5 RH	15.0 20.20	20.25 16900.00 1 RC
B-JOS COCHOS	0655227 360928	CUR 10.00	50.00	4.800	19.875	171.0	11.3	2	2.0 RH	6.0 19.50	19.55 1 RC
B-JOS COCHOS	0659334 3306336	CUR 12.00	54.00	32.860	39.020	1014.0	164.6	2	2.0 RH	9.0 51.30	51.30 *
B-JOS COCHOS	-	CUR *	50.00	*	*	*	*	5	1.0 RH	3.2 *	*
B-JOS COCHOS	064194 360237	CUR 12.00	45.00	5.800	16.790	1241.0	112.9	2	2.0 RH	9.0 26.20	26.30 6242.00 1 RC
B-JOS COCHOS	064910 360643	CUR *	50.00	*	*	*	*	5	1.0 RH	10.0 *	*
B-JOS COCHOS	-	CUR *	50.00	*	*	*	*	5	1.0 RH	2.0 6.00	6.00 1 MP
B-JOS COCHOS	062316 382732	CUR 12.00	50.00	3.630	9.990	1531.0	244.6	2	2.0 RH	0.0 11.10	11.15 1 MP
BREJO DO CRUZ	062225 372452	CR 12.00	48.00	6.180	9.890	393.0	236.8	2	2.0 RH	0.0 10.50	10.60 1795.46 4 MP
BREJO DO CRUZ	061510 373205	CR 12.00	40.00	1.860	10.740	2779.0	313.0	2	2.0 RH	0.0 13.30	13.30 2680.00 2 MP
BREJO DO CRUZ	060045 372506	CR *	50.00	*	*	*	*	5	1.0 RH	0.0 *	*
BELEM B DO CRUZ	061460 373326	CR 12.00	50.00	5.835	15.100	411.0	44.5	2	2.0 RH	0.0 16.40	16.40 7935.00 1 MP
BELEM B DO CRUZ	060049 371812	CR 12.00	50.00	9.650	19.015	1515.0	161.8	4	1.8 RH	9.0 23.30	23.40 7800.00 1 MPB
CHAMPAH GRANDE	-	BS 12.00	30.00	*	*	*	*	5	1.0 RH	*	*

Municipio	Coord. Geograf Lat.	Geograf Long.	Tb Ch _D	Pr. Ch _D	N-E Ch _D	N-D Ch _D	Vazio Cl/h _D	V-E _{SP} Cl/h _D	Manto Cobert Mat Esp Ch _D	Fractura entredas	Res-Sec Cmg/21	R Bacia
CAMPINA GRANDE	-	-	AB *	30.00	*	4.110	16.350	*	106.9	4	2.0	RA
CAMPINA GRANDE	071518	360713	AB	12.00	50.00	*	*	*	2	4.0	RA	20.50
CAMPINA GRANDE	-	-	AB *	50.00	*	*	*	*	2	1.0	RA	9.0
CAMPINA GRANDE	071137	360502	AB *	12.00	50.00	4.450	28.730	*	67.4	2	1.5	RA
CAMPINA GRANDE	071700	360545	AB	12.00	50.00	3.680	5.125	1636.0	67.4	2	1.5	RA
CAMPINA GRANDE	072024	360531	AB	12.00	33.00	3.680	15.240	9600.0	7710.8	2	1.0	RA
CAMPINA GRANDE	072406	350520	AB	12.00	46.00	15.240	17.310	2482.0	1199.8	2	1.0	RA
CAMPINA GRANDE	071926	361533	AB	12.00	40.00	6.730	12.795	2769.0	456.6	1	0.0	RA
CAMPINA GRANDE	072123	3611400	AB	12.00	40.00	4.500	6.160	13846.0	2971.2	1	1.5	RA
CAMPINA GRANDE	071306	361400	AB	12.00	30.00	3.470	11.500	1674.0	206.5	1	0.0	RA
CAMPINA GRANDE	071204	361226	AB *	50.00	*	*	*	*	1	0.0	RA	3.0
CAMPINA GRANDE	071158	361350	AB	12.00	40.00	4.250	11.495	1945.0	266.5	2	1.0	RA
CAMPINA GRANDE	072115	360520	AB *	50.00	*	*	*	*	2	2	RA	6.0
CAMPINA GRANDE	-	-	AB	12.00	65.00	8.520	33.040	562.0	22.9	2	3.0	RA
CAMPINA GRANDE	071029	360206	AB *	50.00	*	*	*	*	0.0	0.0	RA	17.30
CAMPINA GRANDE	071449	360757	HB	6.00	40.00	4.495	15.240	99.0	9.2	0.0	0.0	RA
CAMPINA GRANDE	071608	360600	AB	3.00	50.00	21.100	25.150	76.0	18.7	2	3.0	RA
CAMPINA GRANDE	-	-	AB	12.00	50.00	13.890	25.230	576.0	50.8	1	0.0	RA
CAMPINA GRANDE	-	-	AB	12.00	50.00	1.570	7.575	150.0	25.0	4	1.0	RV
CAMPINA GRANDE	071101	360102	HB	8.15	50.00	6.400	7.400	660.0	891.9	2	3.0	RA
CAMPINA GRANDE	071448	361607	HB	12.00	50.00	4.000	20.695	1506.0	88.6	0.0	0.0	RA
CAMPINA GRANDE	071225	361727	HB	12.00	50.00	9.140	10.050	305.0	335.2	0.0	1.0	RA
CAMPINA GRANDE	071406	361121	HB	10.00	50.00	9.570	12.460	469.0	162.3	2	2.0	RA
CAMPINA GRANDE	071350	360844	HB	10.00	50.00	9.270	14.360	1263.0	289.7	2	1.0	RA
CAMPINA GRANDE	071702	360110	HB *	50.00	*	*	*	*	1	0.0	RA	11.40
CAMPINA GRANDE	071634	360640	AB *	50.00	*	*	*	*	0.0	0.0	RA	0.0
CAMPINA GRANDE	071736	361443	AB	12.00	50.00	6.500	11.460	1798.0	262.5	0.0	3.0	RA
CAMPINA GRANDE	071645	361437	AB	24.00	50.00	20.800	23.387	750.0	289.9	0.0	1.0	RA
CAMPINA GRANDE	-	-	AB	22.00	30.00	3.200	12.430	1700.0	184.2	3	3.0	RA
CAMPINA GRANDE	-	-	AB	18.00	60.00	6.370	37.742	1398.0	44.6	2	3.0	RA
CAMPINA GRANDE	-	-	AB	2.00	50.00	3.750	33.350	1456.0	5.3	2	0.5	RV
CAMPINA GRANDE	-	-	AB	24.00	50.00	6.865	11.770	444.0	49.9	0.4	0.4	RV
CARLOS BRINCHAO	061938	353506	HBDP	12.00	40.00	1.200	6.120	13090.0	2660.6	2	3.0	RA
CRICICA	-	-	PB	4.00	50.00	*	*	*	*	2	2	RA
CRUZEIRAS	072306	3622016	CV	12.00	30.00	2.630	38.980	99.0	2.8	3	3.0	RA
CRUZEIRAS	074022	3622006	CV	12.00	50.00	7.860	22.860	380.0	25.3	2	2.0	RA
CRUZEIRAS	073810	3622443	CV	12.00	40.00	6.540	25.350	1940.0	103.1	0.5	0.5	RA
CRUZEIRAS	073956	3624222	CV	12.00	30.00	2.390	3.340	9000.0	1512.6	1	1.5	RA
CRUZEIRAS	073820	3626210	CV	12.00	30.00	6.480	17.120	4230.0	337.6	3	1.5	RA
CRUZEIRAS	073157	362141	CV	12.00	30.00	2.000	12.215	8470.0	829.3	2	1.5	RA
CRUZEIRAS	074045	3623442	CV	12.00	40.00	1.760	13.040	2801.0	2.18	3	3.0	RA
CRUZEIRAS	073034	3622552	CV	12.00	40.00	4.390	12.330	7578.0	954.4	2	3.0	RA
CRUZEIRAS	072805	3619241	CV	12.00	40.00	3.510	7.040	12000.0	3399.4	0.0	1.0	RA
CRUZEIRAS	072239	361537	CV	12.00	42.00	5.920	26.430	3944.0	167.9	4	3.0	RA
CRUZEIRAS	073958	362214	CV	12.00	50.00	10.850	24.645	2680.0	208.8	1	0.0	RA
CRUZEIRAS	073744	3622343	CV	12.00	40.00	4.700	13.435	5333.0	610.8	2	3.0	RA
CRUZEIRAS	072613	361644	CV	12.00	50.00	10.680	16.055	2332.0	314.8	2	1.0	RA
CRUZEIRAS	072634	361317	CV	8.00	50.00	3.750	17.195	423.0	31.5	2	3.0	RA
CRUZEIRAS	072223	361256	CV	12.00	40.00	2.520	21.260	3050.0	162.7	2	3.0	RA
CRUZEIRAS	072424	361910	CV	10.00	40.00	5.250	9.425	11076.0	2652.9	4	2.0	RA
CRUZEIRAS	072910	361507	CV	5.00	50.00	11.460	12.350	259.0	291.0	3	1.0	RA
CRUZEIRAS	072613	361408	CV	*	*	*	*	*	406.7	22	3.0	RA
CRUZEIRAS	072619	362132	CV	12.00	50.00	2.700	16.210	5495.0	4235.0	0	45.60	RA
CRUZEIRAS	073322	362356	CV	12.00	50.00	3.640	8.842	4235.0	904.9	3	3.0	RA
CRUZEIRAS	072424	361910	CV	12.00	40.00	4.600	9.420	4235.0	925.0	4	1617.00	RA
CRUZEIRAS	072910	361507	CV	5.00	50.00	11.460	12.350	259.0	291.0	1	1.0	RA
CRUZEIRAS	072613	361408	CV	*	*	*	*	*	406.7	22	3.0	RA
CRUZEIRAS	072619	362132	CV	12.00	50.00	2.700	16.210	5495.0	4235.0	0	45.60	RA
CRUZEIRAS	073322	362356	CV	12.00	50.00	3.640	8.842	4235.0	904.9	3	3.0	RA
CRUZEIRAS	072424	361910	CV	12.00	40.00	4.600	9.420	4235.0	925.0	4	1617.00	RA
CRUZEIRAS	072910	361507	CV	5.00	50.00	11.460	12.350	259.0	291.0	1	1.0	RA
CRUZEIRAS	072613	361408	CV	*	*	*	*	*	406.7	22	3.0	RA
CRUZEIRAS	072619	362132	CV	12.00	50.00	2.700	16.210	5495.0	4235.0	0	45.60	RA
CRUZEIRAS	073322	362356	CV	12.00	50.00	3.640	8.842	4235.0	904.9	3	3.0	RA
CRUZEIRAS	072424	361910	CV	12.00	40.00	4.600	9.420	4235.0	925.0	4	1617.00	RA
CRUZEIRAS	072910	361507	CV	5.00	50.00	11.460	12.350	259.0	291.0	1	1.0	RA
CRUZEIRAS	072613	361408	CV	*	*	*	*	*	406.7	22	3.0	RA
CRUZEIRAS	072619	362132	CV	12.00	50.00	2.700	16.210	5495.0	4235.0	0	45.60	RA
CRUZEIRAS	073322	362356	CV	12.00	50.00	3.640	8.842	4235.0	904.9	3	3.0	RA
CRUZEIRAS	072424	361910	CV	12.00	40.00	4.600	9.420	4235.0	925.0	4	1617.00	RA
CRUZEIRAS	072910	361507	CV	5.00	50.00	11.460	12.350	259.0	291.0	1	1.0	RA
CRUZEIRAS	072613	361408	CV	*	*	*	*	*	406.7	22	3.0	RA
CRUZEIRAS	072619	362132	CV	12.00	50.00	2.700	16.210	5495.0	4235.0	0	45.60	RA
CRUZEIRAS	073322	362356	CV	12.00	50.00	3.640	8.842	4235.0	904.9	3	3.0	RA
CRUZEIRAS	072424	361910	CV	12.00	40.00	4.600	9.420	4235.0	925.0	4	1617.00	RA
CRUZEIRAS	072910	361507	CV	5.00	50.00	11.460	12.350	259.0	291.0	1	1.0	RA
CRUZEIRAS	072613	361408	CV	*	*	*	*	*	406.7	22	3.0	RA
CRUZEIRAS	072619	362132	CV	12.00	50.00	2.700	16.210	5495.0	4235.0	0	45.60	RA
CRUZEIRAS	073322	362356	CV	12.00	50.00	3.640	8.842	4235.0	904.9	3	3.0	RA
CRUZEIRAS	072424	361910	CV	12.00	40.00	4.600	9.420	4235.0	925.0	4	1617.00	RA
CRUZEIRAS	072910	361507	CV	5.00	50.00	11.460	12.350	259.0	291.0	1	1.0	RA
CRUZEIRAS	072613	361408	CV	*	*	*	*	*	406.7	22	3.0	RA
CRUZEIRAS	072619	362132	CV	12.00	50.00	2.700	16.210	5495.0	4235.0	0	45.60	RA
CRUZEIRAS	073322	362356	CV	12.00	50.00	3.640	8.842	4235.0	904.9	3	3.0	RA
CRUZEIRAS	072424	361910	CV	12.00	40.00	4.600	9.420	4235.0	925.0	4	1617.00	RA
CRUZEIRAS	072910	361507	CV	5.00	50.00	11.460	12.350	259.0	291.0	1	1.0	RA
CRUZEIRAS	072613	361408	CV	*	*	*	*	*	406.7	22	3.0	RA
CRUZEIRAS	072619	362132	CV	12.00	50.00	2.700						

Municipio	Coord. Geograf.	Tb	Prof.	H.E	H.D.	V.E.P.	Vazao	Monto Cobert.	Fraturas:	Peso. Sec.	R. Baixa
	Lati	Chd	Chd	(m)	(m)	(m)	(l/h)	Mat Esp (m)	entradan	Chg/ID	
CARBALU	075048	364629	CV	12.00	40.00	4.560	14.375	10032.0	110.2	0.5 RH	3.0
CARBALU	075320	364913	CV	12.00	50.00	5.800	27.090	20111.0	94.5	3 RH	6.0
CARBALU	075522	363530	CV	12.00	40.00	6.400	22.135	585.0	37.2	1.5 RH	38.80
CARBALU	075243	364428	CV	12.00	50.00	3.530	7.292	3412.0	907.0	2 RH	24.0
CARBALU	075446	3644216	CV	12.00	50.00	3.400	19.612	4000.0	43.0	3 RH	6.0
CACIN-DE AREIA	070446	371148	DAP	12.00	40.00	2.800	16.160	4000.0	299.0	3 RH	2.0
CACIN-DE AREIA	070453	371130	DAP	12.00	50.00	3.030	37.110	2571.0	75.4	2 RH	2.0
CACIN-DE AREIA	070506	370916	DAP	12.00	50.00	3.040	19.485	439.0	26.7	2 RH	2.0
CACIN-DE AREIA	070613	370828	DAP	12.00	40.00	1.450	19.780	2077.0	1.12.2	1 RH	2.0
CACIN-DE AREIA	070504	371029	DAP	12.00	40.00	5.000	9.020	2028.0	504.5	2 RH	1.0
CACIN-DE AREIA	070923	371149	DOP	12.00	50.00	3.640	14.440	1510.0	139.8	2 RH	0.0
CACITE	-	371142	DAP	* 51.00	*	*	*	*	2.2	4.5 RH	*
CACITE	-	371142	DAP	* 50.00	2.500	12.410	373.0	37.6	2 RH	12.0	10.30
CACITE	063214	360509	CUR	* 50.00	*	*	*	*	2.2	1.5 RH	*
CACITE	063421	360949	CUR	12.00	50.00	3.100	26.330	631.0	27.2	3 RH	6.0
CACITE	-	371142	DAP	12.00	45.00	2.330	18.675	1406.0	86.0	2 RH	12.0
CATINGUEI/PB	070756	373552	DAP	12.00	40.00	2.360	14.110	1420.0	120.6	1 RH	9.0
CATINGUEI/PB	071140	373719	DAP	12.00	40.00	7.485	17.565	2500.0	247.5	1 RH	0.0
CATINGUEI/PB	070216	373456	DOP	12.00	40.00	2.415	16.395	1500.0	107.3	2 RH	1.0
CATINGUEI/PB	070144	373310	DOP	12.00	50.00	1.530	18.735	647.0	49.2	1 RH	0.0
CATINGUEI/PB	-	373310	DOP	12.00	50.00	14.810	34.165	154.0	8.0	1 RH	0.0
CATINGUEI/PB	-	373310	DOP	12.00	50.00	14.810	34.165	2093.0	120.2	3 RH	0.0
CATINGUEI/PB	070042	373651	DAP	12.00	50.00	6.030	23.490	2093.0	120.2	3 RH	0.0
CATINGUEI/PB	070006	373239	DAP	10.00	40.00	3.200	14.300	1180.0	106.3	2 RH	1.0
CATINGUEI/PB	070465	373608	DOP	9.00	50.00	2.160	6.610	9000.0	2022.5	3 RH	0.0
CATINGUEI/PB	070123	373750	DAP	10.00	37.00	9.000	17.570	260.0	50.3	2 RH	0.0
CATINGUEI/PB	070231	373816	DHP	8.00	40.00	3.800	26.440	706.0	31.2	2 RH	0.0
CATINGUEI/PB	070252	373522	DHP	12.00	50.00	5.440	14.090	800.0	92.5	3 RH	0.0
CATINGUEI/PB	070745	373522	DHP	12.00	50.00	6.675	29.755	1635.0	15.3	2 RH	0.0
CATINGUEI/PB	070352	373829	DHP	* 50.00	*	*	*	*	56.8	1 RH	0.0
CATINGUEI/PB	071109	373235	DHP	12.00	50.00	5.315	14.678	2666.0	278.6	2 RH	0.0
CATINGUEI/PB	070352	373820	DHP	* 50.00	*	*	*	*	322.5	2 RH	0.0
CRAZETRAS	065326	383400	SC	6.00	30.00	2.500	8.150	1822.0	322.5	3 RH	0.0
CRAZETRAS	065352	3833414	SC	* 40.00	*	*	*	*	1.5 RH	0.0	*
CRAZETRAS	065254	3833438	SC	6.00	30.00	2.370	11.135	6780.0	1001.7	2 RH	1.5
CRAZETRAS	065306	383350	SC	6.00	19.40	2.220	7.670	2285.0	419.3	2 RH	1.0
CRAZETRAS	065306	383356	SC	6.00	30.00	1.930	11.125	4000.0	435.0	2 RH	1.0
CRAZETRAS	065305	383238	SC	6.00	40.00	2.230	8.710	1333.0	205.7	0.5 RH	0.0
CRAZETRAS	065200	383347	SC	* 50.00	*	*	*	*	2 RH	0.0	*
CRAZETRAS	065233	383346	SC	6.00	40.00	1.050	8.480	1454.0	195.7	3 RH	0.0
CRAZETRAS	065325	3833417	SC	6.00	23.00	5.450	12.550	847.0	119.3	2 RH	0.0
CRAZETRAS	065338	3833414	SC	* 40.00	*	*	*	*	0.0 RH	1.0	*
CRAZETRAS	065353	383326	SC	* 40.00	*	*	*	*	2 RH	3.0	*
CRAZETRAS	065352	3833341	SC	6.00	17.50	0.870	3.810	2571.0	874.5	2 RH	1.5
CRAZETRAS	065229	383354	SC	6.00	50.00	1.605	9.480	194.0	14.1	2 RH	0.0
CRAZETRAS	065242	3833412	SC	6.00	50.00	3.520	13.720	144.0	15.3	1 RH	0.0
CRAZETRAS	065206	3833339	SC	3.00	50.00	5.400	32.460	144.0	175.5	3 RH	0.0
CRAZETRAS	065333	3833412	SC	6.00	50.00	3.650	8.420	637.0	1.3.70	1 RH	0.0
CRAZETRAS	065341	383341	SC	* 50.00	*	*	*	*	41.5	1 RH	0.0
CRAZETRAS	065433	3833412	SC	1.00	50.00	3.700	5.460	73.0	41.5	1 RH	0.0
CRAZETRAS	065652	383126	SC	12.00	40.00	4.350	18.705	1105.4	77.0	3 RH	0.0
CRAZETRAS	065831	383254	SC	12.00	50.00	4.130	25.945	632.6	29.0	2 RH	0.0
CRAZETRAS	065044	382749	SC	* 50.00	*	*	*	*	3 RH	9.0	*
CRAZETRAS	065429	383422	SC	12.00	50.00	1.950	7.610	409.0	72.3	3 RH	0.0
CRAZETRAS	065529	382639	SC	12.00	50.00	1.850	21.070	1000.0	52.0	3 RH	0.0
CRAZETRAS	065336	383152	SC	12.00	40.00	4.490	12.225	630.0	61.8	3 RH	0.0
CRAZETRAS	065359	383351	SC	* 50.00	*	*	*	*	2.5 RH	6.0	*
CRAZETRAS	065912	383441	SC	* 51.00	*	*	*	*	2.1.5 RH	3.0	*
CRAZETRAS	065325	382904	SC	12.00	40.00	1.290	24.220	391.0	17.0	2 RH	3.0

Município	Coord. Geográf.	Tb	Prof.	N-E Ch ₀	N-O Ch ₀	Vazao Ch ₀ /h ₀	V-Esp Ch ₀ /h ₀	Manto Cobert Mat. Esp Ch ₀	Fraturas entradas	Res-Sec Chg/12	R. Bacia
CABEZERAS	SD 3163215	SC 12.00	40.00	1.765	7.420	12000.0	2122.0	2	3.0 RH	6.0	14.00
CABEZERAS	SD 3163255	SC 12.00	50.00	0.660	12.110	96.0	2.0	3.0 RH	6.0	*	816.00
CABEZERAS	SD 3163305	SC 12.00	40.00	1.395	11.350	9000.0	904.1	2	3.0 RH	6.0	17.40
CABEZERAS	SC 3163717	SC 12.00	50.00	3.060	21.823	652.0	347.7	2	3.0 RH	9.0	24.30
CABEZERAS	SC 3163237	SC 12.00	40.00	1.500	19.075	1200.0	68.3	2	1.0 RH	0.0	21.00
CABEZERAS	-	SC *	50.00	*	*	*	*	2	1.0 RH	6.0	*
CABEZERAS	065155	SC 12.00	50.00	2.500	14.415	1142.0	95.6	2	3.0 RH	6.0	19.60
CABEZERAS	065418	SC 12.00	50.00	1.950	14.350	565.0	262.0	3	6.0 RH	15.0	*
CABEZERAS	065310	SC 12.00	40.00	2.900	13.045	2834.0	279.0	1	3.0 RH	6.0	14.50
CABEZERAS	065252	SC 12.00	50.00	4.000	14.891	400.0	36.7	3	5.0 RH	0.0	14.90
CABEZERAS	070006	SC 12.00	40.00	3.810	11.665	3273.0	406.3	4	3.0 RH	6.0	19.75
CABEZERAS	065232	SC 12.00	41.00	6.130	19.765	661.0	48.5	3	3.0 RH	0.0	30.40
CABEZERAS	065735	SC 12.00	50.00	*	*	*	*	3	3.0 RH	0.0	*
CABEZERAS	065148	SC 12.00	40.00	2.700	12.430	396.0	40.7	3	3.0 RH	9.0	10.55
CABEZERAS	065485	SC 12.00	48.00	*	*	*	*	3	3.0 RH	0.0	*
CABEZERAS	065052	SC 12.00	48.00	2.465	7.165	648.0	137.3	3	3.0 RH	0.0	20.50
CERAPOTÉPEA	0702322	SC 9.00	50.00	0.800	28.710	1210.0	43.3	2	1.0 RH	4.0	39.50
CERAPOTÉPEA	070252	SC 10.00	51.00	*	*	*	*	3	3.0 RH	6.0	*
CERAPOTÉPEA	070123	SC 3162010	50.00	3.200	10.000	650.0	95.6	2	3.0 RH	0.0	14.65
CERAPOTÉPEA	070506	SC 3162049	50.00	*	*	*	*	3	3.0 RH	6.0	*
CERAPOTÉPEA	070210	SC 3162033	50.00	3.645	12.926	3364.0	362.5	3	3.0 RH	0.0	15.10
CAC. DOS INDIOS	065533	SC 12.00	40.00	1.300	5.525	4000.0	946.5	3	1.0 RH	0.0	15.30
CAC. DOS INDIOS	070129	SC 12.00	40.00	5.600	14.445	566.0	65.5	4	3.0 RH	0.0	16.50
CAC. DOS INDIOS	065105	SC 12.00	50.00	*	*	*	*	3	3.0 RH	0.0	*
CAC. DOS INDIOS	065105	SC 12.00	50.00	8.800	19.355	202.0	19.1	2	6.0 RH	0.0	25.50
CAC. DOS INDIOS	065739	SC 12.00	50.00	2.500	9.700	1670.0	231.9	3	6.0 RH	7.0	11.90
CAC. DOS INDIOS	065434	SC 12.00	40.00	3.600	*	*	*	3	3.0 RH	0.0	*
CAC. DOS INDIOS	065523	SC 12.00	48.00	3.456	6.182	3245.0	1184.9	2	3.0 RH	0.0	11.00
CAC. DOS INDIOS	065466	SC 12.00	50.00	2.632	28.068	1090.0	42.8	3	3.0 RH	6.0	27.60
CONCEICAO	073419	SC 12.00	50.00	4.130	29.640	2322.0	90.3	3	1.0 RH	0.0	*
CONCEICAO	073417	SC 12.00	40.00	1.670	8.250	6000.0	911.8	2	3.0 RH	9.0	9.30
CONCEICAO	073237	SC 12.00	51.00	3.330	29.920	1855.0	69.8	2	3.0 RH	6.0	*
CONCEICAO	073649	SC 12.00	40.00	3.630	18.535	3000.0	201.3	3	3.0 RH	0.0	22.40
CONCEICAO	072747	SC 12.00	50.00	5.300	12.650	220.0	30.0	1	0.0 RH	0.0	12.70
CONCEICAO	074445	SC 12.00	40.00	3.475	7.750	12.475	313.0	0	3.0 RH	6.0	17.85
CONCEICAO	073346	SC 12.00	50.00	4.130	29.640	2322.0	90.3	3	1.0 RH	0.0	*
CONCEICAO	073345	SC 12.00	40.00	1.670	8.250	6000.0	911.8	2	3.0 RH	9.0	9.30
CONCEICAO	073154	SC 12.00	50.00	5.850	12.670	2322.0	30.3	3	3.0 RH	0.0	22.50
CONCEICAO	074410	SC 12.00	50.00	*	*	*	*	3	3.0 RH	0.0	*
CONCEICAO	073610	SC 12.00	40.00	5.530	11.495	4235.0	710.0	3	3.0 RH	0.0	19.00
CONCEICAO	074355	SC 12.00	50.00	*	*	*	*	3	3.0 RH	0.0	*
CONCEICAO	073338	SC 12.00	50.00	3.650	13.940	1000.0	99.1	2	3.0 RH	0.0	17.00
CONCEICAO	073347	SC 12.00	50.00	*	*	*	*	3	3.0 RH	0.0	*
CONCEICAO	073313	SC 12.00	50.00	24.00	*	*	*	2	3.0 RH	9.0	14.85
CONCEICAO	073303	SC 12.00	50.00	3.000	10.395	153.0	20.7	2	3.0 RH	0.0	32.80
COREMAS	065750	ODP 12.00	40.00	4.000	7.610	3790.0	1049.9	3	1.0 RH	0.0	*
COREMAS	065933	ODP 12.00	50.00	1.500	38.840	99.0	2.6	2	0.0 RH	0.0	12.70
COREMAS	070226	ODP 12.00	50.00	4.070	10.055	385.0	42.8	2	3.0 RH	0.0	14.70
COREMAS	065521	ODP 12.00	50.00	4.400	16.060	1440.0	124.4	2	1.0 RH	0.0	*
COREMAS	065739	ODP 12.00	50.00	3.200	17.850	60.0	9.1	3	1.0 RH	0.0	16.45
COREMAS	070129	ODP 12.00	50.00	*	*	*	*	2	1.0 RH	0.0	*
COREMAS	065916	ODP 12.00	40.00	4.000	16.980	480.0	37.0	3	3.0 RH	9.0	19.40
COREMAS	074344	ODP 12.00	48.00	3.340	29.760	3240.0	122.6	2	3.0 RH	1.2	39.50
CONGO	074823	CV 12.00	48.00	6.300	27.130	319.0	146.9	2	1.0 RH	0.0	28.15
CONGO	074244	CV 12.00	40.00	2.000	17.690	6480.0	423.8	3	1.0 RH	9.0	28.15
CONGO	074035	CV 12.00	50.00	5.000	25.690	1285.0	62.1	3	0.0 RH	12.0	31.25
CONGO	075204	CV 12.00	27.00	2.540	4.185	1440.0	8753.8	3	0.0 RH	12.0	13.00
CONGO	074413	CV 12.00	50.00	4.850	26.715	720.0	32.9	3	3.0 RH	9.0	31.90
CONGO	074656	CV 12.00	30.00	3.260	7.190	9257.0	2355.5	3	0.9 RH	12.0	12.90
CONGO	074059	CV 12.00	40.00	3.550	22.710	2053.0	109.3	2	3.0 RH	3.0	23.60
CONGO	074723	CV 12.00	40.00	9.000	15.915	1860.0	268.9	3	1.0 RH	9.0	19.00

Município	Coord. Geográfica	Ribeirão	Prof. (Ch)	N.E. (Ch)	N.O. (Ch)	Vazão (Q/Ah)	V.E.S.P. (L/H.M)	Manto Coberto Mat. Esp (Ch)	Fraturas enterradas	Fiss-Sec (cmg/1)	R. Bacia
CONGO	074155 364106	CV 12.00	50.00	1.600	12.985	97.0	6.5	2.0 RA	6.0	*	HFB
CONGO	074155 364106	CV 12.00	50.00	5.800	9.605	100.0	262.8	2.1-0 RA	11.30	11.40	4984.45 1 RFB
COR-DO	074242 364155	CV 12.00	50.00	4.240	12.160	847.0	106.9	2.2-5 RA	0.0	11.50	1231.56 1 RFB
COR-DO	074532 365726	CV 2.00	50.00	4.850	6.156	130.0	99.5	2.2-6 RA	0.0	6.00	1322.00 1 RFB
CORRAL VELHO	073110 381245	SC 12.00	48.00	5.880	23.481	900.0	51.1	4.0 RA	0.0	39.50	438.00 5 RFI-AP
CORRAL VELHO	073224 381149	SC 12.00	54.00	9.500	23.250	616.0	59.5	3.0 RA	0.0	33.50	536.00 4 RFI-AP
CORRAL VELHO	072903 381255	SC *	50.00	*	*	*	3.4	3.0 RA	0.0	*	*
CORRAL VELHO	073219 381208	SC *	50.00	*	*	*	2.2	6.0 RA	0.0	19.15	19.20
CORRAL VELHO	073416 381222	SC 12.00	50.00	5.720	14.205	986.0	116.2	2.2 RA	0.0	21.40	21.45
CORRAL VELHO	073213 381106	SC *	50.00	*	*	*	2.2	3.0 RA	0.0	*	*
CORRAL VELHO	073100 381052	SC 4.00	51.00	6.000	12.225	206.0	46.6	2.2 RA	0.0	14.60	14.85
CORRAL VELHO	073019 381310	SC 12.00	50.00	4.860	8.980	167.0	405.3	2.2 RA	0.0	35.50	35.55
CORRAL VELHO	073205 381142	SP 12.00	50.00	7.540	14.870	3428.0	1276.2	3.0 RA	0.0	37.00	37.20
CUCUTI	065229 361927	SP 12.00	51.00	0.000	23.750	2007.0	86.6	2.2 RA	0.0	19.00	1066.03 5 RFI-AP
CUCUTI	065340 362005	SP 12.00	50.00	1.530	17.527	3000.0	188.1	2.2 RA	0.0	48.00	2480.00 2 RSD
CUCUTI DO ROCHA	065402 373923	CR 12.00	50.00	2.230	24.935	2116.0	93.3	1.2 RA	0.0	49.30	2725.00 1 RSD
CONDADO	065529 373929	OBP 12.00	51.00	*	*	*	1.2	3.0 RA	0.0	29.30	3050.00
CONDADO	064538 373543	OBP *	51.00	*	*	*	2.2	3.0 RA	0.0	*	*
CONDADO	065525 373608	OBP 12.00	50.00	2.980	25.940	541.0	25.6	3.0 RA	0.0	46.70	46.80
CONDADO	065355 373716	OBP 10.00	50.00	3.060	26.020	480.0	20.9	2.2 RA	0.0	52.00	52.00
CONDADO	065628 373707	OBP 10.00	40.00	1.220	11.440	1951.0	196.7	3.0 RA	0.0	31.50	346.80 1 RFI
CONDADO	065214 373503	OBP 10.00	40.00	2.390	11.450	1674.0	184.8	3.0 RA	0.0	14.80	15.00
CONDADO	064753 373614	OBP 12.00	50.00	2.060	21.680	275.0	14.0	1.5 RA	0.0	25.00	25.00
CONDADO	065849 374110	OBP 12.00	47.50	24.240	34.460	369.0	36.0	0.0 RV	0.0	41.00	41.00
CONDADO	064513 373817	OBP 12.00	50.00	4.500	12.365	790.0	100.4	1.2 RA	0.0	11.80	534.00 6 RFI
DIAIS ESTRADAS	064508 352542	PB *	30.00	*	*	*	1.0 RA	0.0	30.0	30.0	10.40
DIAIS ESTRADAS	064429 352543	PB 12.00	40.00	3.500	8.980	1500.0	273.7	1.5 RA	0.0	12.50	12.60
DIAIS ESTRADAS	064022 352434	PB 12.00	40.00	5.140	14.400	3000.0	234.0	0.5 RA	0.0	19.20	19.20
DIAIS ESTRADAS	064218 352345	PB 12.00	42.00	0.100	17.470	6657.0	394.8	0.5 RA	0.0	40.80	40.85
DIAIS ESTRADAS	064359 352249	PB 8.00	30.00	0.660	10.255	6000.0	625.3	0.5 RA	0.0	23.00	23.05
DIAIS ESTRADAS	064248 352356	PB 12.00	50.00	7.030	14.200	1021.0	101.0	2.0 RA	0.0	14.00	14.52
DIAIS ESTRADAS	064329 352624	PB 12.00	40.00	7.030	17.180	3656.0	379.3	1.0 RA	0.0	17.50	18.00
DESTERRO	071916 3730352	ST 10.00	50.00	9.100	19.930	222.0	20.5	1.4 RA	0.0	25.60	25.70
DESTERRO	071842 3705000	ST 10.00	75.00	11.940	47.098	195.0	5.5	2.4 RA	0.0	53.90	53.92
DESTERRO	071900 370908	ST *	50.00	*	*	*	3.0 RA	0.0	*	*	*
DESTERRO	071726 370329	ST *	60.00	*	*	*	4.0 RA	0.0	5.00	5.00	*
DESTERRO	-	ST *	60.00	*	*	*	2.2 RA	1.0 RA	6.0	54.95	55.00
DEST-DE MALTA	064410 373442	CUR 22.20	50.00	2.260	13.935	847.0	132.9	2.2 RA	0.0	14.30	4775.02 1 RTP
DEST-DE MALTA	064448 373320	OBP 12.00	50.00	0.000	17.030	410.0	125.6	2.2 RA	0.0	21.00	2240.00 1 RTP
DEST-DE MALTA	064810 373531	OBP 10.00	50.00	3.750	12.490	120.0	37.9	2.2 RA	0.0	22.10	886.00 1 RTP
DEST-DE MALTA	064904 373427	OBP 12.00	40.00	3.365	16.400	1384.0	106.2	2.2 RA	0.0	15.50	671.31 1 RTP
DEST-DE MALTA	064940 373504	OBP 12.00	40.00	3.055	17.705	2482.0	169.4	2.4 RA	0.0	23.10	1015.00 1 RTP
DEST-DE MALTA	064416 373500	OBP *	50.00	*	*	*	4.0 RA	0.0	5.00	33.10	1470.00 1 RTP
DONA IRMÃES	072449 381619	SC 12.00	60.00	7.560	13.935	847.0	132.9	2.2 RA	0.0	14.30	4775.02 1 RTP
DONAMONTE	072229 3832023	SC 12.00	46.00	6.200	9.840	450.0	59.3	1.4 RA	0.0	23.70	633.00 5 RFI-AP
DONAMONTE	072139 381206	SC 4.00	50.00	4.200	9.570	76.0	123.6	2.0 RA	0.0	10.60	604.00 5 RFI-AP
DONAMONTE	072342 382015	SC 12.00	51.00	2.150	11.670	2250.0	231.5	1.4 RA	0.0	43.70	755.59 1 RFI-AP
EMAS	070503 374342	OBP 10.00	50.00	2.150	11.670	2250.0	231.5	1.4 RA	0.0	43.70	755.59 1 RFI-AP
EMAS	070352 374709	OBP 12.00	50.00	6.900	20.430	180.0	14.7	1.0 RA	0.0	8.80	9.00
EMAS	070249 374255	OBP 14.00	50.00	6.200	14.345	522.0	70.1	1.0 RA	0.0	16.50	16.60
EMAS	070341 374355	OBP 9.00	50.00	7.600	15.770	300.0	37.4	1.0 RA	0.0	15.00	385.00 5 RFI-AP
EMAS	070322 374709	OBP 12.00	50.00	2.500	10.025	571.0	36.7	1.0 RA	0.0	20.00	20.09
EMAS	070507 374126	OBP 12.00	50.00	8.500	30.340	597.0	27.3	2.0 RA	0.0	11.20	1119.00 2 RFI-AP
ESPERANÇA	-	EP 12.00	50.00	8.500	30.340	597.0	27.3	2.0 RA	0.0	39.70	19535.00 1 RM

Municipio	Coord. Geogr. Lat Long	Tb Ch ₀	Prof. Ch ₀	N-E Ch ₀	N-D Ch ₀	Vazao Q1/h ₀	V-Esp Cl/h ₀	Manto Cobert Mat Esp Ch ₀	Frasuras entraidas:	Pes-Sec Cm ² /d	R Bacia
FAGUNDES	-	AB 12.00	50.00	3.850	7.170	980.0	295.2	2.1.0 RA 12.0	9.00	9.10	x 1 MPB
FAGUNDES	-	AB 8.00	50.00	4.060	6.120	100.0	48.5	2.1.0 RA 9.0	7.20	7.25	4420.00 1 MPB
FAGUNDES	-	AB 12.00	40.00	1.970	7.160	437.0	835.6	0.0 RV	3.0	9.00	x 2736.00 1 MPB
FAGUNDES	-	AB 12.00	40.00	1.630	16.585	327.0	219.1	3.0 RA	0.0	22.50	x 5400.00 3 MPB
FAGUNDES	-	AB 12.00	40.00	3.350	10.550	266.0	370.3	3.0 RA	0.0	x	4935.00 1 MPB
FAGUNDES	-	AB 12.00	40.00	2.910	15.935	400.0	307.1	3.0 RA	0.0	15.50	x 1573.00 3 MPB
FAGUNDES	-	AB *	50.00	*	*	*	*	2.1.0 RA	0.0	42.15	x 2 MPB
FAGUNDES	-	AB *	50.00	*	*	*	*	2.1.0 RA	0.0	20.30	x 4591.00 1 MPB
FREI MARTINHO	062903	SP 22829	SP	12.00	60.00	2.750	20.440	402.0	22.7	2.3.0 RA	x 4 RSD
FREI MARTINHO	062815	SP 36654	SP	12.00	40.00	10.780	17.450	360.0	54.0	3.0 RA	9.00 x 9100.00 1 RSD
FREI MARTINHO	062800	SP 313023	SP	12.00	50.00	0.0000	24.985	400.0	16.0	2.3.0 RA	0.0 20.50 x 2210.00 1 RSD
FREI MARTINHO	062252	SP 362424	SP	*	50.00	*	*	*	*	3.0 RA	x 4 RSD
FREI MARTINHO	062059	SP 362435	SP	*	51.00	*	*	*	*	3.0 RA	x 4 RSD
GUARIBEIRA	065055	SP 375252	SP	12.00	33.00	2.600	17.460	670.0	45.1	3.0 RA	0.0 22.40 x 2925.00 1 RPI
GUARIBEIRA	064812	SP 335552	SP	8.00	50.00	5.100	9.840	520.0	77.2	2.3.0 RA	15.0 10.00 x 1560.00 1 RM
GUARIBEIRA	065201	SP 333015	SP	12.00	50.00	0.800	7.480	780.0	116.8	2.3.0 RA	9.00 8.90 x 682.50 1 RM
GUARIBEIRA	065132	SP 352634	SP	12.00	50.00	2.250	29.450	132.0	9.8	3.0 RA	0.0 33.55 x 2470.00 1 RM
GUARIBEIRA	065120	SP 352529	SP	12.00	30.00	2.300	7.680	3025.0	542.0	2.3.0 RA	12.0 11.30 x 3250.00 1 RM
GUARIBEIRA	065140	SP 352521	SP	12.00	40.00	0.500	16.540	7659.0	471.6	2.3.0 RA	9.00 23.00 x 650.00 2 RM
GUARIBEIRA	0652845	SP 352945	SP	12.00	40.00	*	*	*	75.5	2.3.0 RA	12.0 12.40 x 1459.50 2 RPI
GUARIBEIRA	071010	SP 352212	SP	*	50.00	*	*	*	*	3.0 RA	12.0 32.80 x 6825.00 2 RPI
GURJAO	071223	SP 362736	SP	12.00	40.00	5.550	6.520	2570.0	865.3	3.0 RA	12.0 11.50 x 11.60 1 RTP
GURJAO	071534	SP 365040	SP	*	50.00	*	*	*	*	3.0 RA	x 1 RTP
GURJAO	071218	SP 363239	SP	12.00	30.00	4.380	7.088	900.0	332.5	2.1.6 RA	9.00 13.60 x 10562.50 1 RTP
GURJAO	071243	SP 362544	SP	12.00	50.00	9.563	15.412	1982.0	338.9	2.1.0 RA	3.0 14.30 x 3900.00 1 RTP
GURJAO	071344	SP 362724	SP	*	50.00	*	*	*	*	3.0 RA	x 1 RTP
GURJAO	071113	SP 362848	SP	12.00	30.00	10.500	14.120	6000.0	1657.5	2.1.2 RA	6.0 21.60 x 3900.00 1 RTP
GURJAO	071242	SP 362803	SP	12.00	50.00	2.820	11.990	1200.0	130.9	2.3.0 RA	0.0 14.70 x 4210.00 1 RTP
GURJAO	071405	SP 362653	SP	12.00	50.00	3.220	20.240	153.0	9.0	3.0 RA	0.0 20.80 x 3550.00 4 RTP
GURJAO	071552	SP 353749	SP	12.00	50.00	4.230	29.600	206.0	8.1	2.3.0 RA	0.0 29.40 x 1873.00 1 RTP
IBIRABA	073107	SC 332517	SC	12.00	50.00	1.610	22.880	1674.0	79.4	3.0 RA	6.0 26.30 x 498.00 2 RPI-AP
IBIRABA	0722742	SC 332245	SC	12.00	50.00	2.600	29.240	116.0	9.4	1.0 RA	3.0 33.10 x 380.50 5 RPI-AP
IBIRABA	072729	SC 332744	SC	12.00	50.00	3.550	9.770	847.0	136.0	3.0 RA	6.0 13.60 x 946.70 1 RPI-AP
IBIRABA	073100	SC 332135	SC	12.00	50.00	7.450	9.710	439.0	19.4	3.0 RA	0.0 9.85 10.00 x 436.50 5 RPI-AP
IBIRABA	072721	SC 332306	SC	*	50.00	*	*	*	*	6.0 RA	x 1 RPI-AP
IBIRABA	072810	SC 332213	SC	12.00	50.00	4.500	23.630	666.0	34.8	3.0 RA	6.0 38.00 x 532.50 5 RPI-AP
IBIRABA	073343	SC 332413	SC	12.00	40.00	5.875	13.390	3064.0	407.7	4.1.5 RA	6.0 8.90 x 733.80 5 RPI-AP
IBIRABA	072714	SC 331929	SC	*	50.00	*	*	*	*	3.0 RA	x 5 RPI-AP
IBIRABA	072519	SC 332256	SC	12.00	50.00	6.600	14.430	550.0	70.2	2.2.1 RA	5.0 10.80 x 532.00 1 RPI-AP
IBIRABA	072710	SC 332052	SC	12.00	50.00	5.670	20.900	303.0	201.1	2.1.0 RA	6.0 29.30 x 649.45 5 RPI-AP
IBIRABA	072956	SC 332500	SC	*	50.00	*	*	*	*	3.0 RA	x 2 RPI-AP
INGA	-	FB 12.00	40.00	1.680	6.495	2322.0	340.7	2.3.0 RA	6.0 10.40 x 1040.00 2 RPI-AP		
INGA	-	FB 12.00	50.00	1.920	10.875	2000.0	223.3	1.0 RA	3.0 10.90 x 5415.00 1 RPI-AP		
INGA	-	FB 12.00	36.00	10.600	14.196	1286.0	379.3	1.0 RA	3.0 15.10 x 3744.00 4 RPI-AP		
INGA	-	FB 10.00	30.00	2.560	3.905	8000.0	5948.0	2.2.1 RA	6.0 8.60 x 7627.15 7 BPB		
INACULADORA	072319	ST 373026	ST	12.00	50.00	4.300	34.840	533.0	17.4	2.3.0 RA	0.0 12.85 x 3140.00 1 RES
INACULADORA	072739	ST 373300	ST	12.00	40.00	4.240	15.930	411.0	351.9	2.3.0 RA	6.0 19.10 x 1562.00 4 RPI-AP
INACULADORA	071958	ST 373255	ST	*	69.00	*	*	*	*	3.0 RA	x 1 RPI-AP
INACULADORA	072436	ST 373216	ST	6.00	50.00	5.500	17.315	65.0	7.2	1.0 RA	3.0 6.40 x 3714.00 1 RPI-AP
INACULADORA	072560	ST 352159	HF-BP	12.00	50.00	5.150	24.860	720.0	36.5	2.2.1 RA	6.0 33.50 x 190.00 1 BPB
INACULADORA	072300	ST 352121	HF-BP	*	50.00	*	*	*	*	3.0 RA	x 1 BPB
ITABAIHARA	071939	ST 352113	HF-BP	12.00	50.00	1.380	10.940	148.0	15.5	2.3.0 RA	6.0 7.80 x 7260.00 1 BPB
ITABAIHARA	072004	ST 352110	HF-BP	*	50.00	*	*	*	*	3.0 RA	x 1 BPB
ITABAIHARA	071723	ST 351724	HF-BP	12.00	40.00	3.300	10.960	7346.0	956.5	2.2.2 RA	4.0 22.00 x 2010.00 1 BPB
ITABAIHARA	072002	ST 352123	HF-BP	12.00	50.00	4.480	22.175	138.0	8.0	2.1.5 RA	3.0 9.30 x 1650.00 1 BPB
ITABAIHARA	072113	ST 352058	HF-BP	12.00	40.00	2.140	15.050	5142.0	398.3	2.2.0 RA	6.0 27.05 x 6930.00 1 BPB
ITABAIHARA	071936	ST 351927	HF-BP	12.00	40.00	2.300	21.040	4535.0	244.7	2.3.0 RA	6.0 26.90 x 2720.00 1 BPB
ITABAIHARA	071713	ST 351853	HF-BP	12.00	40.00	4.900	12.280	10000.0	1355.0	1.9.0	12.0 14.00 x 2242.50 1 BPB
ITABAIHARA	-	HF-BP	12.00	50.00	9.650	23.640	225.0	16.1	2.3.0 RA	6.0 26.50 x 897.00 1 BPB	
ITABAIHARA	-	HF-BP	*	50.00	*	*	*	*	*	6.0 RA	0.0 x 1 BPB

Município	Coord. Geográf.	Tb	Prof.	N.E.	N.D.	V.Esp.	Manto Cobert.	Fraturas:	Res. Sec.	R. Eacia
Lat.	Long.	Ch	Ch	Ch	Ch	Ch	Mat Esp(%)	entrad. Chq/12		
MALTA	065424 373063	09P	12.00	50.00	2.270	10.595	2769.0	332.6	2	3.0 RA
MALTA	065425 373208	09P	12.00	50.00	2.385	27.565	1600.0	63.5	2	3.0 RA
MALTA	065434 373104	09P	6.00	54.00	3.770	32.070	197.0	7.0	2	1.0 RA
MALTA	065533 372923	09P	12.00	40.00	7.410	13.800	1600.0	250.4	3.0 RA	0.0 45.85 9.90
MALTA	065425 373329	09P	12.00	43.20	3.200	10.055	616.0	90.1	2	3.0 RA
MONTADOS	-	09B	12.00	50.00	0.000	11.630	1600.0	137.6	2	1.0 RA
MOCÉRIO	-	09P	12.00	40.00	4.850	14.290	3600.0	381.3	3	1.0 RA
MONTAÇO	-	09P	12.00	30.00	1.300	4.440	6370.0	2665.3	2	4.0 RA
MONTEIRO	075653 371213	09P	12.00	50.00	4.420	12.600	210.0	225.7	2	1.5 RA
MONTEIRO	075501 371203	09P	12.00	50.00	4.270	16.510	1241.0	101.4	4	2.0 RA
MONTEIRO	075412 371403	09P	12.00	50.00	* *	*	*	*	*	*
MONTEIRO	075246 370902	09P	12.00	50.00	3.250	14.140	1074.0	95.2	2	1.5 RA
MONTEIRO	075226 365349	09P	12.00	40.00	2.450	6.390	12413.0	3150.5	2	2.0 RA
MONTEIRO	074913 371352	09P	12.00	50.00	* *	*	*	*	*	*
MONTES	074716 370345	09P	12.00	50.00	0.780	23.360	1188.0	52.6	1	0.0 RA
MONTES	075025 370544	09P	12.00	50.00	2.500	27.320	1600.0	52.5	1	0.0 RA
MONTES	074910 370416	09P	12.00	40.00	14.195	34.792	109.0	55.3	3	0.0 RA
MONTES	060056 370613	09P	8.00	51.00	3.200	11.250	6600.0	595.5	2	1.0 RA
MONTES	075554 370110	09P	12.00	50.00	3.660	25.255	412.0	21.0	2	1.0 RA
MONTES	080106 370543	09P	12.00	51.00	* *	*	*	*	*	*
MONTES	075645 370746	09P	12.00	50.00	4.030	21.600	172.0	9.4	2	1.0 RA
MONTES	075541 370934	09P	12.00	50.00	6.640	30.620	7578.0	534.9	6	1.0 RA
MONTES INDUSTRIAIS	-	09B	10.00	50.00	5.600	24.490	277.0	14.7	3	1.0 RA
MULUNGU	065300 372608	09P	12.00	50.00	* *	*	*	*	*	*
MULUNGU	065729 362126	09P	12.00	50.00	8.880	23.560	1000.0	68.1	2	3.0 RA
MULUNGU	065300 352547	09P	12.00	50.00	3.700	11.700	1325.0	161.6	2	3.0 RA
MULUNGU	065406 352314	09P	12.00	50.00	3.670	26.030	525.0	23.5	2	3.0 RA
MULUNGU	065625 352530	09P	12.00	50.00	1.140	10.320	98.0	10.7	3	1.0 RA
MURITUA	074103 381434	09P	12.00	50.00	* *	*	*	*	*	*
MURITUA	074333 381213	09P	12.00	50.00	9.450	14.810	300.0	56.0	3	1.0 RA
MURITUAZINHO	065549 381600	09P	12.00	40.00	2.830	14.580	4500.0	383.0	3	1.0 RA
MURITUAZINHO	065623 382229	09P	12.00	40.00	3.510	9.655	1210.0	196.9	2	1.0 RA
MURITUAZINHO	-	09P	12.00	50.00	* *	*	*	*	*	*
MURUBI	-	09P	12.00	50.00	5.510	23.513	6428.0	357.0	2	1.0 RA
MURUBI OLINDA	072849 380250	09P	12.00	40.00	3.050	29.530	10782.0	667.3	2	2.0 RA
MURUBI OLINDA	072609 380139	09P	12.00	40.00	6.100	10.870	10909.0	3938.0	3	3.0 RA
MURUBI OLINDA	072623 380116	09P	12.00	50.00	1.330	4.485	9230.0	2925.5	4	2.0 RA
MURUBI OLINDA	072823 380210	09P	12.00	35.00	5.205	34.205	3428.6	3746.4	3	3.0 RA
MURUBI OLINDA	072751 380106	09P	12.00	45.00	5.205	12.430	600.0	54.8	2	1.0 RA
MURUBI PALMEIRAS	064241 382134	09P	12.00	50.00	1.475	12.430	600.0	20.1	2	1.0 RA
MURUBI PALMEIRAS	063329 382339	09P	12.00	50.00	0.000	23.505	473.0	20.1	2	0.0 RA
MURUBI PALMEIRAS	063845 382223	09P	12.00	40.00	3.235	8.570	2571.0	481.9	3	1.0 RA
MURUBI PALMEIRAS	063929 382137	09P	12.00	42.00	0.005	17.400	9230.0	530.6	1	1.0 RA
MURUBI PALMEIRAS	063956 382138	09P	12.00	50.00	2.080	24.350	8667.0	38.9	1	0.0 RA
MURUBI PALMEIRAS	064058 382629	09P	12.00	60.00	* *	*	*	*	*	*
MURUBI PALMEIRAS	064055 382204	09P	12.00	50.00	6.280	20.850	202.0	10.3	1	0.0 RA
MURUBI PALMEIRAS	064145 382610	09P	12.00	51.00	* *	*	*	*	*	*
MURUBI PALMEIRAS	064053 382024	09P	12.00	51.00	* *	*	*	*	*	*
MURUBI PALMEIRAS	-	09P	12.00	30.00	6.630	12.720	4500.0	738.9	4	1.0 RA
OLHO D'AGUA	071635 373536	09P	10.00	50.00	8.225	26.456	947.0	51.9	1	0.0 RA
OLHO D'AGUA	071255 374216	09P	10.00	40.00	4.515	10.400	5538.0	941.0	3	1.0 RA
OLHO D'AGUA	071129 374816	09P	12.00	50.00	4.000	16.440	1100.0	88.4	3	1.0 RA
OLIPEDOS	071855 374616	09P	12.00	50.00	* *	*	*	*	*	*
OLIPEDOS	065328 361007	09P	12.00	50.00	1.630	11.510	2571.0	290.2	2	1.0 RA
OLIVEIRAS	065442 361543	09P	12.00	50.00	7.190	19.360	420.0	34.5	4	2.0 RA
OLIVEIRAS	073709 371016	09P	12.00	50.00	3.700	15.230	2666.0	231.2	3	1.0 RA
OLIVEIRAS	073647 370608	09P	12.00	30.00	3.900	9.810	300.0	50.6	3	1.0 RA
OLIVEIRAS	073300 370919	09P	12.00	51.00	* *	*	*	*	*	*
OLIVEIRAS	064506 382633	09P	12.00	50.00	* *	*	*	*	*	*

Município	Coord. Geograf.	Tb	Prof.	N.E.	N.D.	Vazao	V.Esp.	Manto Coberto	Fraturas	Res. Sec.	R. Bacia
	Lat	Ch	Ch	Ch	Ch	Ch/bd	Ch/bd	Mat Esp/Ch	entradas	Ch/g/12	Ch/g/12
POMBAL	-	-	HB	*	50.00	*	3.380	17.190	*	2.1.5	RA
POMBAL	070723	3607334	HB	*	12.00	40.00	2.000	1620.0	131.0	2.2.0	RA
POMBAL	070554	3604111	HB	*	50.00	*	2.785	29.040	473.0	2.2.0	RA
POMBAL	070541	360723	HB	*	12.00	50.00	*	*	17.5	3.3.0	RA
POMBAL	070531	361115	HB	*	50.00	*	3.510	16.520	*	3.1.4	RA
POMBAL	070533	360227	HB	*	5.00	50.00	3.510	129.0	6.6	2.3.0	RA
POMBAL	070132	360513	HB	*	12.00	50.00	2.500	37.610	222.0	3.6.3	RA
POMBAL	070121	360310	HB	*	12.00	50.00	1.900	25.940	890.0	33.3	RA
POMBAL	070126	360353	HB	*	12.00	50.00	51.00	*	1.0	3.0	RA
POMBAL	070134	360307	HB	*	8.00	50.00	4.300	14.890	178.0	16.8	RA
POMBAL	070333	360643	HB	*	50.00	*	*	*	*	2.2.1	RA
POMBAL	0701405	-	HB	*	50.00	*	*	*	*	2.3.0	RA
POMBAL	070103	360545	HB	*	10.00	42.00	2.280	22.560	315.0	15.5	RA
POMBAL	071125	361309	HB	*	12.00	50.00	3.840	14.325	1356.0	129.5	RA
POMBAL	071029	361209	HB	*	10.00	50.00	5.400	7.480	441.0	212.0	RA
POMBAL	071314	361110	HB	*	12.00	45.00	5.030	3.310	6470.0	3714.9	RA
POMBAL	070916	360519	DHP	*	50.00	45.00	17.856	1618.0	615.2	3.6.3	RA
POMBAL	064933	3724012	DHP	*	50.00	*	*	*	*	2.2.0	RA
POMBAL	064126	372552	DHP	*	50.00	*	*	*	*	2.3.0	RA
POMBAL	064926	3725413	DHP	*	12.00	50.00	2.700	9.095	269.0	42.1	RA
POMBAL	065355	375442	DHP	*	12.00	50.00	2.740	12.200	450.0	47.6	RA
POMBAL	064516	374113	DHP	*	50.00	*	4.450	13.830	690.0	73.6	RA
POMBAL	065656	374932	DHP	*	10.00	39.00	5.730	19.770	400.0	28.5	RD
POMBAL	065409	3744332	DHP	*	12.00	50.00	4.470	14.230	8000.0	819.7	RD
POMBAL	065013	3724510	DHP	*	10.00	40.00	4.500	23.760	1107.0	57.5	RD
POMBAL	064137	375659	DHP	*	12.00	50.00	2.700	13.675	1333.0	121.5	RA
POMBAL	064932	374613	DHP	*	12.00	50.00	2.740	12.200	450.0	47.6	RA
POMBAL	065128	375432	DHP	*	50.00	*	*	*	*	2.3.0	RA
POMBAL	064919	375326	DHP	*	12.00	50.00	2.950	20.250	35.0	2.0	RA
POMBAL	065136	375432	DHP	*	50.00	*	*	*	*	2.3.0	RA
POMBAL	063967	375254	DHP	*	12.00	50.00	3.440	10.300	151.0	22.0	RA
POMBAL	064340	374444	DHP	*	12.00	50.00	3.050	11.930	1043.0	117.5	RA
POMBAL	063902	373600	DHP	*	12.00	50.00	5.350	16.250	1099.0	85.2	RA
PAULISTH	063395	373239	DHP	*	6.00	46.00	4.820	24.440	460.0	23.4	RA
PAULISTH	063716	373448	DHP	*	24.00	50.00	3.625	8.050	2880.0	650.5	RA
PEDRA BRANCA	072512	3303518	SC	*	12.00	40.00	6.250	22.837	5176.0	106.7	RA
PEDRA BRANCA	072729	330534	SC	*	12.00	50.00	5.000	13.985	730.0	81.3	RA
PEDRA BRANCA	072604	330546	SC	*	10.00	40.00	6.630	11.345	4500.0	966.7	RA
PEDRA BRANCA	072652	3306413	SC	*	12.00	50.00	4.220	13.140	3000.0	336.3	RA
PRIMEIRO TUBBEL	074010	3303039	ST	*	9.00	*	*	*	*	3.1.0	RA
PRIMEIRO TUBBEL	073829	3302359	ST	*	12.00	50.00	4.745	31.304	1894.0	71.3	RA
QUERÊBA	070414	3709114	DHP	*	51.00	*	*	*	*	2.2.1	RA
QUERÊBA	070122	3708412	DHP	*	10.00	48.00	7.300	23.472	1756.0	108.6	RA
QUERÊBA	070402	370456	DHP	*	12.00	40.00	5.670	9.365	1321.0	355.6	RA
QUERÊBA	070150	370427	DHP	*	12.00	50.00	3.850	24.656	223.0	10.7	RA
QUERÊBA	070216	3706500	DHP	*	12.00	40.00	3.430	17.080	2779.0	203.6	RA
QUERÊBA	070313	3703119	DHP	*	8.00	50.00	4.700	5.890	3272.0	2.2.1	RA
QUERÊBA	070210	3303034	DHP	*	12.00	40.00	1.000	11.445	4000.0	2749.6	RA
QUERÊBA	070039	3706113	DHP	*	12.00	40.00	2.000	29.490	1052.0	363.0	RA
QUERÊBA	070142	370841	DHP	*	12.00	50.00	3.060	7.850	10285.0	38.3	RA
QUERÊBA	070256	371304	DHP	*	12.00	40.00	0.740	14.770	26227.0	2147.2	RA
QUERÊBA	070213	370456	DHP	*	12.00	40.00	*	*	3.0	187.2	RA
QUERÊBA	-	-	HB	*	12.00	40.00	2.430	4.730	6000.0	2608.7	RA
QUERÊBA	-	-	HB	*	12.00	40.00	0.370	7.760	512.9	3.0	RA
QUERÊBA	-	-	HB	*	12.00	40.00	3.200	17.170	6726.0	461.6	RA

Municipio	Coord. Geograf	Tb	Prof.	N.E	N.D	Vazao	V.Esp	Manto Cobert	Frações	Res.Sec	R.Bacia
	Lat	Long	(Ch)	(Ch)	(Ch)	(L/h)	(L/h/m)	Mat Esp(Ch)	entrad	(Chg/l)	
QUEIMADAS	-	-	AB *	50.00	*	*	*	- 0.0 RA	6.0	*	*
QUEIMADAS	-	-	AB 12.00	57.00	20.070	33.470	1978.0	147.6	- 0.0 RA	9.0 50.40	* 3960.00 1 MPB
QUEIMADAS	-	-	AB 12.00	50.00	9.000	10.930	13090.0	6782.4	- 0.0 RA	6.0 26.00	26.10 6822.00 2 MPB
QUEIMADAS	-	-	PB 10.00	50.00	4.060	9.935	336.0	52.0	- 2.0 RA	9.0 11.80	11.85 1168.67 1 MPB
QUEIMADAS	-	-	AB 12.00	50.00	16.785	19.140	2352.0	998.7	- 3.0 RA	9.0 23.50	* 2123.00 1 MPB
QUEIMADAS	-	-	AB 12.00	40.00	4.180	9.465	3272.0	619.1	- 0.0 RA	6.0 11.65	* 3215.00 1 MPB
PCH DOS CAVALOS	063146	373110	CR 12.00	50.00	2.200	9.320	540.0	75.8	- 3.0 RA	0.0 18.00	18.15 751.91 1 MP
REMÍGIO	-	-	AB 12.00	50.00	6.800	17.510	502.0	46.9	- 2.0 RA	12.0 19.90	20.00 8450.00 1 RC
REMÍGIO	-	-	PB 12.00	50.00	0.700	22.290	330.0	15.3	- 2.0 RA	24.0 25.90	26.00 585.00 2 RM
REMÍGIO	-	-	PB 12.00	46.50	3.450	14.830	200.0	17.6	- 1.4 RA	2.0 16.20	16.30 2080.00 3 RM
REMÍGIO	-	-	PB 12.00	50.00	2.700	16.805	1333.0	94.5	- 1.3 RA	9.0 22.20	22.30 23350.00 1 RC
REMÍGIO	065438	360352	AB *	50.00	*	*	*	- 0.0 RA	0.0	*	*
REMÍGIO	065423	360048	AB 12.00	40.00	5.400	14.240	3650.0	412.9	- 0.0 RA	6.0 21.90	22.00 9521.00 4 RC
REMÍGIO	-	-	PB 12.00	50.00	2.400	12.840	360.0	34.5	- 1.0 RA	9.0 14.10	14.20 11700.00 1 RC
REMÍGIO	-	-	PB 12.00	40.00	1.800	18.250	2322.0	1411.2	- 3.0 RA	6.0 26.10	* 17985.00 1 RM
SANTA CRUZ	065537	360658	DAP 8.00	51.50	2.315	21.560	660.0	34.3	- 6.0 RA	0.0 20.80	21.00 574.72 2 RPE-AP
SANTΗ HELENA	064149	360346	SC *	50.00	*	*	*	- 1.0 RA	3.0	*	*
SANTA LUZIA	070029	365640	DAP 12.00	34.00	2.680	7.975	1058.0	199.8	- 3.0 RA	9.0 9.30	9.40 1541.00 1 RSD
SANTA LUZIA	065236	365413	DAP *	50.00	*	*	*	- 3.0 RA	0.0	*	*
SANTA LUZIA	065532	365639	DAP 12.00	36.20	1.960	18.540	5034.0	303.6	- 2.0 RA	3.0 27.00	* 2240.00 2 RSD
SANTA LUZIA	065100	365619	DAP *	50.00	*	*	*	- 1.0 RA	0.0	*	*
SANTA LUZIA	065503	364938	DAP 12.00	40.00	1.560	13.455	1580.0	132.6	- 1.0 RA	0.0 17.80	* 700.00 1 RSD
SANTA LUZIA	065510	365420	DAP *	50.00	*	*	*	- 3.0 RA	0.0 41.00	*	1 RSD
SANTA LUZIA	065041	365705	DAP 9.00	50.00	*	*	*	- 1.7 RA	6.0 4.20	* 11360.00 1 RSD	
SANTA LUZIA	065010	365310	DAP 12.00	40.00	1.350	14.175	808.0	63.0	- 2.7 RA	0.0 14.80	* 700.00 1 RSD
SANTA LUZIA	065044	365531	DAP 12.00	50.00	2.000	24.485	187.0	8.3	- 3.0 RA	6.0 *	* 675.00 1 RSD
SANTA LUZIA	-	-	DAP *	60.00	*	*	*	- 3.0 RA	0.0 *	*	1 RSD
SANTA LUZIA	065126	365613	DAP *	50.00	*	*	*	- 0.0 RA	0.0 *	*	* 4 RSD
SANTA TEREZINHA	070100	372539	DAP 12.00	40.00	2.540	13.600	2011.0	161.8	- 3.0 RA	15.0 17.00	* 770.00 1 RES
SANTA TEREZINHA	070607	372300	DAP 12.00	50.00	2.330	9.760	300.0	40.6	- 1.0 RA	3.0 8.70	8.80 312.42 4 RES
SANTA TEREZINHA	070125	372518	DAP 10.00	30.00	2.300	7.490	4705.0	906.5	- 0.3 RA	9.0 7.90	8.00 751.00 1 RES
SANTA TEREZINHA	070500	372539	DAP 12.00	42.00	2.420	17.445	4528.0	301.4	- 1.0 RA	6.0 26.00	26.10 392.00 4 RES
SANT.MANGUEIRA	-	-	SC *	50.00	*	*	*	- 1.0 RA	6.0 *	*	* 5 RPI-AP
SANT.MANGUEIRA	-	-	SC *	50.00	*	*	*	- 1.0 RA	9.0 *	*	* 5 RPI-AP
SANT.MANGUEIRA	-	-	SC 12.00	50.00	7.000	21.405	774.0	53.7	- 3.0 RA	0.0 26.20	26.25 1065.00 5 RPI-AP
SANT.MANGUEIRA	-	-	SC 12.00	50.00	7.060	12.360	418.0	78.9	- 3.0 RA	6.0 13.70	13.75 2065.00 4 RPI-AP
SANT.MANGUEIRA	073736	381328	SC 12.00	48.00	4.280	9.230	3130.0	632.3	- 0.0 RA	6.0 20.70	21.00 1115.46 5 RPI-AP
SALGADINHO	070426	364939	DAP 4.00	50.00	1.170	12.120	235.0	21.5	- 0.0 RA	0.0 12.00	12.30 675.73 8 RSD
SALGADINHO	070642	364806	DAP *	50.00	*	*	*	- 1.0 RA	6.0 *	*	* 4 RSD
SALGADINHO	070710	365432	DAP 12.00	50.00	*	*	*	- 3.0 RA	9.0 11.40	11.50 3079.00 5 RES	
SALGADINHO	070613	365045	DAP *	50.00	*	*	*	- 3.0 RA	6.0 *	*	1 RES
SALGADINHO	070347	364605	DAP 12.00	50.00	1.620	32.130	1972.0	65.1	- 3.0 RA	6.0 39.40	39.50 6830.00 1 RTP
SANT.GARRITES	072310	375932	DAP *	50.00	*	*	*	- 1.0 RA	3.0 *	*	* 4 RPI-AP
SANT.GARRITES	071845	375713	DAP 12.00	33.00	14.000	16.238	2880.0	1286.9	- 1.0 RA	6.0 23.70	* 450.00 1 RPI-AP
SANT.GARRITES	072465	375432	DAP 12.00	50.00	3.500	11.490	1333.0	166.8	- 1.0 RA	3.0 35.20	35.30 571.70 5 RPI-AP
SANT.GARRITES	072319	375500	DAP 10.00	40.00	6.200	9.545	4235.0	1266.1	- 3.0 RA	9.0 26.60	26.70 646.57 5 RPI-AP
SANT.GARRITES	072223	375900	DAP 12.00	50.00	5.700	21.515	2400.0	151.8	- 1.0 RA	3.0 33.20	33.30 631.50 5 RPI-AP
SANT.GARRITES	072023	375549	DAP 12.00	50.00	6.400	14.010	1345.0	176.7	- 3.0 RA	0.0 33.00	33.50 656.00 4 RPI-AP
SANT.GARRITES	072213	375344	DAP 12.00	50.00	7.380	12.225	6545.0	1350.9	- 3.0 RA	6.0 20.80	21.00 386.99 5 RPI-AP
SAPE	071006	351634	APUP 12.00	30.00	1.290	12.310	7200.0	653.4	- 1.0 RA	15.0 21.30	21.50 487.50 2 BFB
SAPE	070600	351357	APUP 12.00	47.00	2.390	15.260	2060.0	159.8	- 2.0 RA	12.0 18.50	18.55 552.50 2 BFB
SAPE	071010	332007	APUP 12.00	42.00	5.765	14.290	990.0	116.1	- 1.5 RA	15.0 15.10	* 13400.00 1 BFB
S.J.DO CARIRI	073436	362957	CV 12.00	30.00	3.280	9.360	4670.0	768.1	- 3.0 RA	12.0 13.40	13.50 5650.00 2 APB
S.J.DO CARIRI	072817	362629	CV 12.00	40.00	6.130	9.160	1348.0	444.9	- 4.0 RA	9.0 11.00	11.10 292.50 1 RTP
S.J.DO CARIRI	072415	363552	CV 12.00	30.00	2.000	7.560	5540.0	996.4	- 3.0 RA	9.0 15.10	15.20 1690.00 1 RTP
S.J.DO CARIRI	072943	363019	CV 12.00	40.00	5.000	18.815	3130.0	226.6	- 2.5 RA	12.0 25.40	25.50 975.00 1 RTP
S.J.DO CARIRI	072452	362922	CV 12.00	50.00	8.630	12.095	782.0	239.5	- 1.0 RA	0.0 11.95	12.00 2720.00 1 RTP
S.J.DO CARIRI	071957	362209	CV 12.00	50.00	7.460	22.100	436.0	29.8	- 2.0 RA	3.0 26.75	26.85 3420.00 1 RTP
S.J.DO CARIRI	072000	363353	CV 7.00	50.00	7.010	15.145	98.0	12.0	- 3.0 RA	15.0 16.10	16.20 1657.00 1 RTP
S.J.DO CARIRI	072837	363200	CV 12.00	50.00	3.500	9.097	1600.0	265.9	- 2.0 RA	6.0 9.90	10.00 6105.00 1 RTP

Municipio	Coord. Geograf.	Tb (h)	Prof. (m)	N.E (m)	N.D (m)	Vazao (l/h)	V.Esp (l/h.m)	Manto Cobert Mat Esp (h)	Fraturas entradas	Res.Sec (mg/l)	R.Bacia	
S.J.DO CARRIRI	073813 362952	CV	12.00	40.00	6.750	11.240	4675.0	1041.2	2	3.0 RA	6.0 17.10 17.20	9240.00 1 APB
S.J.DO CARRIRI	073821 362740	CV	12.00	40.00	3.030	20.175	2770.0	161.6	-	0.0 RA	3.0 26.20 26.30	3100.00 2 APB
S.J.DO CARRIRI	074437 362852	CV	12.00	50.00	2.025	6.485	1330.0	298.2	2	3.0 RA	0.0 6.70 6.80	4620.00 2 APB
S.J.DO CARRIRI	072650 363019	CV	12.00	40.00	5.205	9.520	4500.0	1041.2	-	0.0 RA	3.0 13.70 13.80	3015.00 2 RTP
S.J.DO CARRIRI	072652 363443	CV	12.00	40.00	1.940	7.560	8181.0	1455.7	3	1.0 RA	2.0 22.60 *	1975.00 1 RTP
S.J.DO CARRIRI	073200 363220	CV	12.00	40.00	7.885	26.765	911.0	48.2	-	0.0 RA	9.0 31.60 *	1275.00 1 APB
S.J.DO CARRIRI	073016 363303	CV	12.00	50.00	5.700	10.215	230.0	50.9	3	6.0' RA	12.0 12.20 *	2700.00 1 RTP
S.J.DO CARRIRI	073016 363303	CV	*	50.00	*	*	*	*	3	6.0' RA	0.0 *	*
S.J.DO CARRIRI	075236 363250	CV	*	50.00	*	*	*	*	2	3.0 RA	15.0 24.00 24.05	*
S.J.DO CARRIRI	072110 363052	CV	12.00	50.00	6.370	7.345	225.0	230.8	3	1.0 RA	12.0 7.70 7.75	3114.81 1 RTP
S.J.DO CARRIRI	075213 362949	CV	12.00	42.00	5.930	10.240	3512.0	814.8	3	1.0 RA	7.5 13.90 14.00	2447.00 1 APB
S.J.DO CARRIRI	073133 363019	CV	8.00	50.00	11.730	19.970	470.0	57.4	2	3.0 RA	0.0 28.30 28.50	6596.00 1 RTP
S.J.DO CARRIRI	072945 363052	CV	12.00	50.00	12.800	16.905	967.0	235.6	2	1.0 RA	9.0 29.80 29.90	3743.00 1 RTP
S.J.DO CARRIRI	074310 363129	CV	12.00	50.00	5.300	12.940	2769.0	362.4	2	2.0 RA	0.0 34.80 35.00	2422.00 1 APB
S.J.DO CARRIRI	075413 362832	CV	*	31.00	*	*	*	*	2	2.0 RA	4.0 10.50 10.60	*
S.J.DO CARRIRI	073323 363029	CV	12.00	45.00	4.100	28.520	1309.0	53.6	2	6.0' RV	9.0 41.50 42.00	4630.23 1 APB
SERRA BRANCA	-	-	CV	*	50.00	*	*	*	-	0.0 RA	3.0 38.45 38.50	*
SERRA BRANCA	073100 362520	CV	3.00	50.00	4.000	15.520	150.0	13.0	2	1.5 RA	9.0 *	*
SERRA BRANCA	073105 364012	CV	12.00	35.00	3.780	10.330	3333.0	508.9	4	0.7 RA	18.0 14.40 14.45	5525.00 3 RTP
SERRA BRANCA	072933 364903	CV	*	50.00	*	*	*	*	2	3.0 RA	6.0 28.20 28.25	*
SERRA BRANCA	072721 363800	CV	12.00	22.50	3.170	6.400	5142.0	983.2	4	3.0 RA	4.0 11.70 *	2470.00 1 RTP
SERRA BRANCA	073320 363120	CV	12.00	35.00	3.730	18.692	1800.0	120.3	4	3.0 RA	6.0 29.00 29.10	4550.00 2 RTP
SERRA BRANCA	073129 363526	CV	12.00	50.00	1.740	8.379	297.0	44.7	2	1.5 RA	3.0 8.50 8.60	14625.00 3 RTP
SERRA BRANCA	073149 363710	CV	12.00	50.00	3.205	26.995	400.0	16.8	2	1.5 RA	9.0 24.50 24.55	6000.00 1 APB
SERRA BRANCA	073154 364114	CV	12.00	40.00	1.850	11.670	2028.0	206.5	2	1.0 RA	12.0 11.00 11.10	7920.00 1 RTP
SERRA BRANCA	072645 363743	CV	12.00	50.00	2.150	35.315	720.0	21.7	2	1.0 RA	12.0 43.70 43.75	2958.00 1 RTP
SERRA BRANCA	072705 364312	CV	*	50.50	*	*	*	*	-	0.0 RA	0.0 *	*
SERRA BRANCA	074000 364426	CV	12.00	40.00	6.070	7.970	5373.0	2827.9	3	3.0 RA	9.0 23.50 *	1890.00 1 APB
SERRA BRANCA	072708 363607	CV	12.00	40.00	0.980	13.415	6315.0	507.8	2	3.0 RA	6.0 16.60 *	2070.00 1 RTP
SERRA BRANCA	072706 363800	CV	12.00	42.00	1.535	25.725	1674.0	69.2	2	3.0 RA	0.0 33.90 *	8970.00 1 RTP
SERRA BRANCA	073010 363829	CV	12.00	40.00	3.700	13.075	5538.0	590.7	2	3.0 RA	6.0 21.00 *	2360.00 1 RTP
SERRA BRANCA	073242 363945	CV	12.00	40.00	12.500	15.300	4800.0	1714.3	-	0.0 RA	0.0 25.30 *	1260.00 1 RTP
SERRA BRANCA	073310 363919	CV	*	60.00	*	*	*	*	-	0.0 RA	6.0 *	*
SERRA BRANCA	073215 363706	CV	12.00	37.10	3.970	6.970	9000.0	3000.0	2	1.0 RA	0.0 14.00 14.10	2867.50 1 RTP
SERRA BRANCA	073724 364442	CV	12.00	44.00	1.870	5.250	2769.0	819.2	2	3.0 RA	0.0 13.50 14.00	3003.45 1 APB
SERRA BRANCA	073543 364625	CV	12.00	50.00	2.900	6.020	1285.0	411.9	3	6.0' RD	12.0 38.70 39.00	1589.88 1 APB
SERRA BRANCA	073552 364916	CV	12.00	50.00	4.350	7.868	313.0	89.0	3	1.6 RA	0.0 10.00 10.30	2721.00 1 APB
S.J.ESPINHARAS	065100 371559	DAP	12.00	50.00	3.510	12.098	1204.0	140.2	2	2.0 RA	6.0 13.00 13.10	585.00 1 RES
S.J.ESPINHARAS	065145 372532	DAP	8.00	50.00	4.000	14.680	211.0	20.0	2	9.0 RA	0.0 17.50 17.55	586.21 1 RES
S.J.ESPINHARAS	064524 372606	DAP	*	50.00	*	*	*	*	3	4.0 RA	6.0 *	*
S.J.ESPINHARAS	064549 372729	DAP	10.00	50.00	7.630	19.430	100.0	8.5	2	2.0 RA	9.0 17.00 17.05	830.54 4 RES
S.J.ESPINHARAS	064482 372939	DAP	*	50.00	*	*	*	*	2	3.0 RA	6.0 *	*
S.J.ESPINHARAS	064936 372315	DAP	*	50.00	*	*	*	*	4	2.0 RA	0.0 7.50 7.55	*
S.J.ESPINHARAS	064936 372311	DAP	*	50.00	*	*	*	*	2	3.0 RA	0.0 *	*
S.J.ESPINHARAS	064936 372315	DAP	*	15.00	*	*	*	*	2	3.0 RA	6.0 7.00 7.05	*
S.J.ESPINHARAS	065141 372646	DAP	*	50.00	*	*	*	*	2	3.0 RA	0.0 *	*
S.J.ESPINHARAS	065319 372817	DAP	*	50.00	*	*	*	*	2	1.5 RA	3.0 *	*
S.J.ESPINHARAS	064403 373154	DAP	*	50.00	*	*	*	*	3	1.0 RA	6.0 47.00 *	*
S.J.ESPINHARAS	*	DAP	*	50.00	*	*	*	*	2	3.0 RA	6.0 *	*
S.J.ESPINHARAS	064412 373030	DAP	*	50.00	*	*	*	*	2	2.0 RA	0.0 *	*
S.J.ESPINHARAS	065406 372055	DAP	12.00	40.00	3.165	19.000	2400.0	151.6	3	3.0 RA	12.0 26.40 *	487.14 1 RES
S.J.ESPINHARAS	064418 371954	DAP	12.00	40.00	2.200	14.640	730.0	58.7	3	6.0 RA	0.0 17.30 17.40	455.00 3 RES
S.J.ESPINHARAS	065127 372416	DAP	12.00	30.00	2.200	6.560	12000.0	2752.3	3	3.0 RA	9.0 17.60 17.70	780.00 3 RES
S.J.ESPINHARAS	074346 372109	DAP	12.00	40.00	3.800	9.160	1840.0	343.3	4	3.0 RA	12.0 10.90 11.00	390.00 3 RES
S.J.CORDEIRROS	071815 363437	CV	*	50.00	*	*	*	*	2	2.5 RA	0.0 *	*
S.J.CORDEIRROS	072155 363836	CV	*	50.00	*	*	*	*	2	1.0 RA	6.0 *	*
S.J.CORDEIRROS	072158 364525	CV	12.00	40.00	1.670	5.680	10290.0	2700.8	3	3.0 RA	6.0 12.10 12.20	1656.00 1 RTP
S.J.CORDEIRROS	072616 364628	CV	12.00	30.00	1.950	21.900	310.0	15.5	-	0.0 RA	3.0 24.90 25.00	1870.00 2 RTP
S.J.CORDEIRROS	072720 364811	CV	*	50.00	*	*	*	*	2	2.0 RA	0.0 *	*
S.J.CORDEIRROS	072749 364839	CV	*	50.00	*	*	*	*	2	3.0 RA	6.0 *	*

Municipio	Coord. Geograf.	Tb	Prof.	N.E	N.D	Vazao	V.Esp	Manto Cobert	Fraturas	Res.Sec	R.Bacia
	Lat	Long	ChD	ChD	ChD	(l/h)	(l/h/m)	Mat Esp (ChD)	entradas	(mg/l)	
SAO MAMEDE	065221	370211	DAP	12.00	50.00	4.310	35.345	847.0	27.3	- 0.0	RA 3.0 41.90 *
SAO MAMEDE	070013	370404	DAP	*	50.00	*	*	*	- 0.0	RA 3.0 *	*
SAO MAMEDE	065026	370732	DAP	12.00	50.00	3.900	26.680	252.0	11.1	2 3.0	RD 6.0 30.55 *
SAO MAMEDE	065203	370700	DAP	12.00	54.00	3.300	6.740	436.0	126.7	3 1.0	RD 6.0 7.70 *
SAO MAMEDE	-	-	DAP	12.00	40.00	8.940	14.640	3130.0	549.1	4 3.0	RA 0.0 18.50 *
SAO MAMEDE	070013	370545	DAP	12.00	50.00	3.500	17.400	514.0	37.0	4 3.0	RA 0.0 9.50 9.55
SAO MAMEDE	-	-	DAP	12.00	50.00	8.300	15.145	2432.0	355.3	4 3.0	RA 0.0 19.90 19.95
SAO MAMEDE	065213	370621	DAP	*	50.00	*	*	*	2 3.0	RA 0.0 *	*
SAO MAMEDE	065615	370903	DAP	12.00	36.00	4.740	7.950	3739.0	1180.4	2 1.0	RA 12.0 12.00 12.10 1517.30
SAO MAMEDE	065405	370337	DAP	12.00	45.00	2.400	9.660	900.0	124.0	2 0.1	RA 0.9 11.10 11.20 1025.01
SOLANER	-	-	AB	12.00	50.00	1.900	14.390	1070.0	85.7	2 3.0	RA 18.0 17.80 17.90 24700.00
SOLANER	-	-	AB	12.00	42.00	3.550	31.470	610.0	21.8	- 0.0	RA 3.0 24.70 24.75 5525.00
SOLANER	-	-	AB	12.00	50.00	2.480	12.720	243.0	23.7	2 0.5	RA 3.0 11.15 *
SOLANER	-	-	AB	12.00	40.00	5.280	25.320	1760.0	87.8	2 2.0	RA 6.0 31.35 *
SOLANER	-	-	AB	12.00	50.00	0.350	10.250	82.0	8.3	2 3.0	RA 0.0 10.40 *
S.JOSÉ CRIARIA	071152	381736	SC	*	50.00	*	*	*	4 3.0	RA 0.0 43.00 *	*
S.JOSÉ CRIARIA	071616	381823	SC	*	50.00	*	*	*	3 0.6	RA 1.0 *	*
S.JOSÉ CRIARIA	071132	381815	SC	12.00	40.00	7.000	9.460	830.0	337.4	4 3.0	RA 0.0 17.70 17.75 630.00
S.JOSÉ CRIARIA	071655	382322	SC	*	50.00	*	*	*	4 3.0	RA 0.0 *	*
S.JOSÉ CRIARIA	071419	381903	SC	12.00	50.00	4.210	14.720	346.0	32.9	4 3.0	EV 6.0 16.20 16.30 479.00
S.JOSÉ CRIARIA	071433	381814	SC	12.00	50.00	1.265	13.140	3428.0	288.7	2 6.0	RA 0.0 26.00 26.30 572.41
S.JOHNO TIGRE	080132	364142	CV	10.00	33.00	3.600	20.961	639.0	39.7	2 1.0	RA 0.0 32.70 32.80 3937.00
S.JOHNO TIGRE	080616	363823	CV	*	50.00	*	*	*	3 1.0	RA 3.0 *	*
S.SEB UMBUZEIRO	081226	3.0323	CV	4.00	50.00	2.250	14.910	1630.0	128.7	4 1.0	RA 12.0 17.10 17.20 1885.00
S.SEB UMBUZEIRO	080952	3.0309	CV	9.00	51.00	3.340	36.620	260.0	8.4	2 1.0	RA 12.0 40.10 46.15 3445.00
S.SEB UMBUZEIRO	-	-	CV	12.00	50.00	4.550	10.585	529.0	87.7	2 3.0	RA 0.0 16.60 *
S.SEB UMBUZEIRO	-	-	CV	12.00	40.00	3.200	11.490	5142.0	620.3	4 3.0	RA 0.0 14.40 *
S.SEB UMBUZEIRO	-	-	CV	12.00	50.00	10.300	19.350	960.0	106.1	4 1.0	RA 6.0 22.50 *
S.SEB UMBUZEIRO	-	-	CV	12.00	50.00	12.800	16.490	1636.0	443.4	2 1.0	RA 0.0 18.30 *
S.SEB UMBUZEIRO	-	-	CV	*	50.00	*	*	*	2 3.0	RA 6.0 12.20 *	*
S.SEB UMBUZEIRO	080656	3.70518	CV	12.00	50.00	3.260	17.250	3278.0	234.3	3 1.0	RA 6.0 19.50 19.60 1675.00
S.SEB UMBUZEIRO	080236	370118	CV	10.00	43.00	3.000	18.680	1200.0	76.5	3 1.0	RA 0.0 18.80 19.00 1075.83
S.SEB UMBUZEIRO	080716	370605	CV	12.00	50.00	3.670	22.950	1800.0	93.4	2 3.0	RA 12.0 *
SEFERRIA	-	-	BP	12.00	50.00	5.500	17.880	158.0	12.8	2 1.0	RA 6.0 36.20 36.25 9100.00
SEFERRIA	-	-	BP	12.00	50.00	0.500	29.130	1333.0	46.6	2 5.0	RR 0.0 33.90 34.00 1950.00
SEFERRIA	-	-	BP	6.00	51.00	4.810	16.560	1565.0	133.2	3 0.0	RA 6.0 21.50 21.52 3671.48
SVICENTE SERIDO	065429	362322	SP	*	52.00	*	*	*	- 0.0	RA 2.0 10.00 10.05	*
SVICENTE SERIDO	065940	362604	SP	6.00	50.00	4.740	12.595	94.0	12.0	2 1.0	RA 3.0 14.00 *
SVICENTE SERIDO	065411	362206	SP	12.00	40.00	4.200	16.050	2392.0	172.7	2 2.0	RA 12.0 30.00 *
SVICENTE SERIDO	065457	362703	SP	*	50.00	*	*	*	2 1.0	RA 3.0 *	*
SVICENTE SERIDO	065155	363135	SP	12.00	51.00	1.030	34.450	2000.0	59.9	- 0.0	RA 9.0 46.30 *
SVICENTE SERIDO	065156	362644	SP	12.00	40.00	3.790	22.565	3600.0	191.7	2 3.0	RA 0.0 29.00 *
SVICENTE SERIDO	065316	362549	SP	12.00	50.00	1.800	11.925	1475.0	145.7	2 1.0	RA 0.0 11.50 11.60 5203.00
SVICENTE SERIDO	065416	363006	SP	12.00	50.00	2.490	24.665	1840.0	83.0	3 1.0	RA 0.0 45.80 46.00 1493.18
SVICENTE SERIDO	065421	362332	SP	12.00	50.00	7.850	23.117	404.0	26.5	2 2.0	RA 0.0 29.85 30.00 3184.27
SVICENTE SERIDO	-	-	SP	12.00	60.00	7.200	30.078	3891.0	170.1	3 0.0	RA 0.0 56.20 56.50 3545.15
SEPPA GRANDE	071452	362258	SC	12.00	40.00	3.140	22.225	3600.0	188.6	2 1.0	RA 6.0 30.20 *
SEPPA GRANDE	071353	362321	SC	2.30	50.00	4.000	5.420	45.0	31.7	3 1.0	RA 3.0 4.10 *
SEPPA GRANDE	071141	362157	SC	12.00	50.00	6.550	12.165	423.0	75.1	3 2.0	RA 3.0 13.10 *
SEPPA GRANDE	071423	362352	SC	*	50.00	*	*	*	4 3.0	RA 0.0 20.30 20.35	
SEPPA GRANDE	071242	362446	SC	*	50.00	*	*	*	2 3.0	RA 6.0 17.70 17.80 *	
SSEBLAG.ROCA	-	-	BP	*	50.00	*	*	*	2 3.0	RA 9.0 17.30 17.60 *	
SOUSA	063549	381910	DAP	24.00	50.00	0.230	10.450	172.0	16.8	- 0.0	RA 2.0 29.00 29.10 861.75
SOUSA	063626	381856	DAP	12.00	48.00	10.500	17.370	420.0	61.1	3 3.0	RA 0.0 19.50 *
SOUSA	063900	380556	DAP	12.00	50.00	3.245	23.534	302.0	14.9	2 7.0	RA 0.0 28.00 28.50 *
SOUSA	065036	380713	DAP	12.00	40.00	2.130	17.500	2093.0	136.2	4 1.0	RA 0.0 19.60 *
SOUSA	063810	380614	DAP	12.00	50.00	3.000	17.735	207.0	14.0	3 6.0	RA 21.0 18.10 18.20 1606.00
TEIXEIRA	071603	371224	ST	12.00	40.00	12.640	29.490	309.0	23.1	2 1.0	RA 3.0 31.80 31.85 766.00
TEIXEIRA	071743	372347	ST	10.00	50.00	8.300	15.040	105.0	24.5	3 3.0	RA 0.0 17.40 17.45 900.00

Municipio	Coord. Geograf	Tb	Prof.	N.E	N.D	Vazao	V.Esp	Manto Cobert	Fraturas	Res.Sec	R.Bacia
	Lat Long	(Ch)	(m)	(Ch)	(Ch)	(l/h)	(l/h/m)	Mat Esp (m)	entradas	(mg/l)	
TEIXEIRA	071700 371203	ST	12.00	50.00	12.700	16.735	1025.0	254.0	4	1.0	RV
TEIXEIRA	071558 370840	ST	12.00	50.00	3.680	12.832	260.0	28.4	4	3.0	RA
SOLEDADE	070738 362351	CV	12.00	40.00	5.400	13.110	2680.0	347.6	2	3.0	RA
SOLEDADE	070713 362221	CV	*	50.00	*	*	*	*	3	2.0	RA
SOLEDADE	070516 362350	CV	12.00	30.00	4.270	11.860	5142.0	677.5	2	1.8	RA
SOLEDADE	070616 362246	CV	12.00	50.00	3.900	12.915	277.0	30.7	2	1.7	RA
SOLEDADE	070449 362326	CV	8.00	50.00	3.040	27.470	720.0	29.5	-	0.0	RA
SOLEDADE	070956 362602	CV	12.00	45.00	3.440	10.370	818.0	118.0	1	1.3	RA
SOLEDADE	071128 362532	CV	12.00	40.00	3.630	14.810	3240.0	269.6	2	1.0	RA
SOLEDADE	070850 361415	CV	12.00	50.00	5.380	13.290	375.0	47.2	2	1.0	RA
SOLEDADE	070922 361752	CV	3.00	50.00	5.575	13.910	97.0	11.6	2	1.5	RA
SOLEDADE	070212 361952	CV	12.00	50.00	2.700	12.525	341.0	34.7	3	2.0	RA
SERRA REDONDA	-	PB	12.00	50.00	8.670	13.790	1558.0	304.3	3	1.0	RA
SUME	073929 375752	CV	12.00	40.00	3.850	10.970	2060.0	289.3	3	1.0	RA
SUME	073802 365801	CV	*	50.00	*	*	*	*	2	3.0	RA
SUME	073351 364954	CV	*	50.00	*	*	*	*	2	0.5	RA
SUME	073700 365816	CV	12.00	39.00	4.935	27.215	2482.0	111.4	6	0.5	RA
SUME	073920 365745	CV	12.00	50.00	4.300	13.991	1565.0	162.0	2	1.0	RA
SUME	073948 365823	CV	12.00	40.00	2.700	17.307	4800.0	328.6	2	1.0	RA
SUME	073532 365818	CV	12.00	40.00	4.550	17.300	2737.0	214.7	2	2.0	RA
SUME	074159 365123	CV	12.00	40.00	3.670	17.780	2637.0	186.9	-	0.0	RA
SUME	073349 365026	CV	12.00	50.00	1.790	10.283	450.0	53.0	-	0.0	RA
SUME	073710 365924	CV	12.00	50.00	3.420	10.169	144.0	21.3	3	3.0	RA
SUME	074252 370116	CV	9.00	51.00	3.000	9.955	436.0	62.7	2	1.0	RA
SUME	073649 365900	CV	*	51.00	*	*	*	*	2	4.0	RA
SUME	073303 370120	CV	12.00	50.00	7.620	13.830	1714.0	276.0	2	1.0	RA
SUME	073109 370239	CV	*	50.00	*	*	*	*	2	2.0	FD
SUME	073729 370019	CV	12.00	50.00	6.600	13.757	2570.0	359.1	2	1.0	RD
SUME	073755 365223	CV	12.00	50.00	2.570	10.535	7542.0	946.9	2	3.0	RV
SUME	073246 365957	CV	1.44	50.00	3.950	12.535	3348.0	390.0	2	4.5	RA
SUME	074117 365921	CV	1.44	50.00	2.600	5.071	2727.0	1103.6	3	3.0	RA
TACIMA	-	CUR	6.00	50.00	3.930	12.695	92.0	10.5	3	1.0	RA
TAPEIRA	071413 365603	CV	10.00	50.00	7.000	23.817	765.0	45.5	2	3.0	RA
TAPEIRA	071832 365144	CV	*	51.30	*	*	*	*	2	3.0	RA
TAPEIRA	071710 365932	CV	12.00	50.00	3.400	11.067	2181.0	264.5	2	1.0	RA
TAPEIRA	070758 364609	CV	*	50.00	*	*	*	*	2	2.0	RA
TAPEIRA	070906 364712	CV	12.00	50.00	6.180	24.485	585.0	32.0	2	3.0	RA
TAPEIRA	071636 364751	CV	12.00	50.00	1.700	17.220	300.0	19.3	2	6.0	RA
TAPEIRA	071323 364510	CV	12.00	40.00	4.500	11.380	2117.0	307.7	3	3.0	RA
TAPEIRA	072046 364905	CV	12.00	50.00	3.100	9.870	606.0	89.5	2	2.0	RA
TAPEIRA	071522 365304	CV	12.00	50.00	3.810	19.360	514.0	33.0	2	3.0	RA
TAPEIRA	071453 365727	CV	12.00	40.00	4.300	21.060	1220.0	72.8	4	3.0	RA
TAPEIRA	071052 365637	CV	*	50.00	*	*	*	*	2	3.0	RA
TAPEIRA	071819 364555	CV	9.00	50.00	3.590	23.800	1846.0	91.3	2	3.0	RA
TAPEIRA	071650 365123	CV	12.00	50.00	2.510	13.960	1358.0	118.6	3	3.0	RA
TAPEIRA	070845 364337	CV	12.00	50.00	2.200	17.100	514.0	34.5	2	1.0	RA
TAPEIRA	071256 364535	CV	12.00	50.00	4.436	18.990	900.0	62.0	4	0.7	RA
TAPEIRA	071339 361009	CV	12.00	50.00	10.750	19.277	1000.0	117.3	4	1.5	RA
UIRAUNA	063036 381841	SC	12.00	50.00	1.600	7.200	1408.0	251.4	2	2.0	RA
UIRAUNA	062826 381932	SC	12.00	50.00	4.650	14.910	507.0	49.9	2	1.8	RA
UIRAUNA	063241 382100	SC	12.00	40.00	1.250	15.730	1570.0	108.4	3	3.0	RA
UIRAUNA	062745 382624	SC	*	50.00	*	*	*	*	3	2.0	RA
UIRAUNA	062800 382213	SC	*	50.00	*	*	*	*	2	1.0	RA
UIRAUNA	062336 383526	SC	12.00	50.00	0.700	16.850	300.0	18.6	2	1.0	RA
UIRAUNA	063400 381915	SC	12.00	51.00	0.660	33.700	1028.0	31.1	3	3.0	RA
UIRAUNA	062556 383336	SC	*	50.00	*	*	*	*	2	3.0	RA
UIRAUNA	063155 382003	SC	*	50.00	*	*	*	*	2	3.0	RA
UIRAUNA	063357 382100	SC	*	50.00	*	*	*	*	2	3.0	RA
UIRAUNA	062800 382032	SC	12.00	50.00	2.600	24.770	271.0	12.2	2	1.0	RA
UIRAUNA	062603 382816	SC	12.00	50.00	4.110	19.846	349.0	22.2	2	6.0	RA

Município	Coord. Geograf Lat	Tb (h)	Prof. (h)	N.E. (h)	N.D. (h)	Vazao CL/h	Vazao CH/h	V.Esp CL/h/h	V.Esp CH/h/h	Manto Cobert Mat Esp (h)	Manto Cobert Mat Esp (h)	Frações entradas	Res.Sec (cm/g)	R Bacia
UIARAUNA	062652	3882903	SC 12.00	50.00	9.130	25.070	200.0	12.6	3.0	RA	0.0	26.90	28.95	685.20
UIARAUNA	062934	382937	SC *	50.00	*	*	*	3	3.0	RA	0.0	*	*	1 RPE-AP
TRIUNFO	062920	383350	SC 12.00	50.00	2.100	20.040	290.0	16.2	2	1.5	RA	0.0	23.00	**
TRIUNFO	063042	383126	SC 12.00	50.00	2.960	24.300	430.0	20.2	2	3.0	RA	6.0	41.00	822.00
TRIUNFO	062855	383023	SC 9.00	51.00	7.640	24.040	667.0	40.7	3	0.7	RA	6.0	48.65	1 RPE-AP
VARZEA	064534	370533	DHP 10.00	50.00	9.500	15.000	185.0	33.6	2	1.0	RA	3.0	17.00	17.08
VARZEA	064903	365732	DHP 14.00	50.00	7.000	22.250	430.0	28.2	2	2.2	RA	0.0	26.50	26.70
VARZEA	064949	365849	DHP 12.00	50.00	2.940	19.665	467.50	27.9	2	3.0	RA	6.0	29.00	4773.00
VARZEA	064700	370150	DHP 9.00	40.00	1.900	12.641	370.0	33.4	2	1.5	RA	9.0	8.05	1565.00
VARZEA	064613	370239	DHP 12.00	30.00	5.700	10.650	2271.0	441.0	2	1.5	RA	5.0	10.40	1413.00
CUIXE	-	-	CUR 12.00	50.00	3.270	5.675	9538.0	2302.7	6	2.0	RA	3.0	8.50	1370.00
VARZEA	-	-	CUR 12.00	50.00	1.720	19.120	6554.0	371.6	1	3.0	RA	9.0	21.80	2 RJC
MONTEIRO	-	-	DAP 12.00	50.00	4.210	15.150	1440.0	131.6	2	3.0	RA	9.0	21.30	1 RSD
BONFIM FRAO	-	-	CV 12.00	50.00	3.440	22.715	1846.0	95.8	3	0.8	RA	2.5	12.0	816.00
LAGOA SECA	-	-	HB *	50.00	*	*	*	*	3	0.8	RA	15.0	22.20	1 RFB
CAMPINA GRANDE	-	-	HB *	65.00	*	*	*	*	2	1.5	RA	0.0	*	3 RFB
CAMPINA GRANDE	-	-	AB 12.00	50.00	1.270	34.680	1506.0	45.1	2	2.0	RA	0.0	16.50	16.55
CAMPINA GRANDE	-	-	AB 10.00	50.00	6.400	24.960	211.0	11.4	1	0.0	RA	0.0	42.10	42.20
CAMPINA GRANDE	-	-	AB 8.00	50.00	10.100	15.320	112.0	21.5	0	0.0	RA	3.9	31.00	31.05
TEIXEIRAS	071327	371526	ST 10.00	52.00	13.030	39.470	160.0	6.0	3	0.8	RA	6.0	14.50	4690.00
GUAERETIBA	064916	352636	PB *	51.00	*	*	*	*	7	21.0	RA	6.0	48.80	4020.00
DONA INES	-	-	CUR 10.00	30.00	4.080	15.970	1800.0	151.4	2	3.0	RA	6.0	14.60	2 RES
FIGUEIRAS	-	-	HB 12.00	50.00	7.160	9.250	1636.0	782.8	2	3.0	RA	9.0	8.90	828.00
SOLEDADE	-	-	HB 8.00	50.00	1.300	7.460	450.0	73.0	2	3.0	RA	9.0	8.65	3 RTP
LAGOA SECA	-	-	CV 12.00	50.00	5.800	21.350	1286.0	82.6	3	1.0	RA	12.0	26.80	3051.00
SOLANEHA	-	-	HB *	50.00	*	*	*	*	2	3.0	RA	15.0	23.10	1 RTP
SOUZA	-	-	HB *	50.00	*	*	*	*	3	1.5	RA	27.0	18.15	1 RFB
VARZEA	-	-	DHP 12.00	50.00	1.500	10.220	265.0	30.4	2	2.5	RA	0.0	4.0	2622.00
BONFIM FRAO	-	-	DHP 12.00	24.00	9.750	13.240	2666.0	81.9	2	3.0	RA	0.0	13.80	3 RFB
POCINHOS	070533	360232	AB 10.00	36.00	3.400	15.320	1128.0	763.9	3	0.8	RA	18.0	18.65	4830.00
S.J.D.CORDEIROS	-	-	CV 12.00	50.00	4.160	12.421	450.0	54.5	2	3.0	RA	12.0	16.15	2 RFB
BAIRRA. STA ROSA	-	-	CUR 8.00	40.00	2.160	6.819	470.0	100.9	1	0.0	RD	6.0	4.50	1173.00
BAIRRA. STA ROSA	-	-	CUR 8.00	50.00	11.000	12.781	101.0	56.7	2	2.5	RD	12.0	13.10	2 RCB
BAIRRA. STA ROSA	-	-	CUR 12.00	40.00	9.450	26.840	305.0	17.5	2	1.5	RA	12.0	33.20	7213.00
TAPEROA	071336	364729	CV *	50.00	*	*	*	*	2	2.5	RA	6.0	8.50	16.60
TAPEROA	071151	364813	CV 12.00	50.00	9.600	14.080	1290.0	288.0	2	3.0	RA	4.0	16.40	4795.00
TAPEROA	071319	364736	CV 8.00	50.00	5.100	24.280	305.0	15.9	3	1.5	RA	6.0	27.10	2208.00

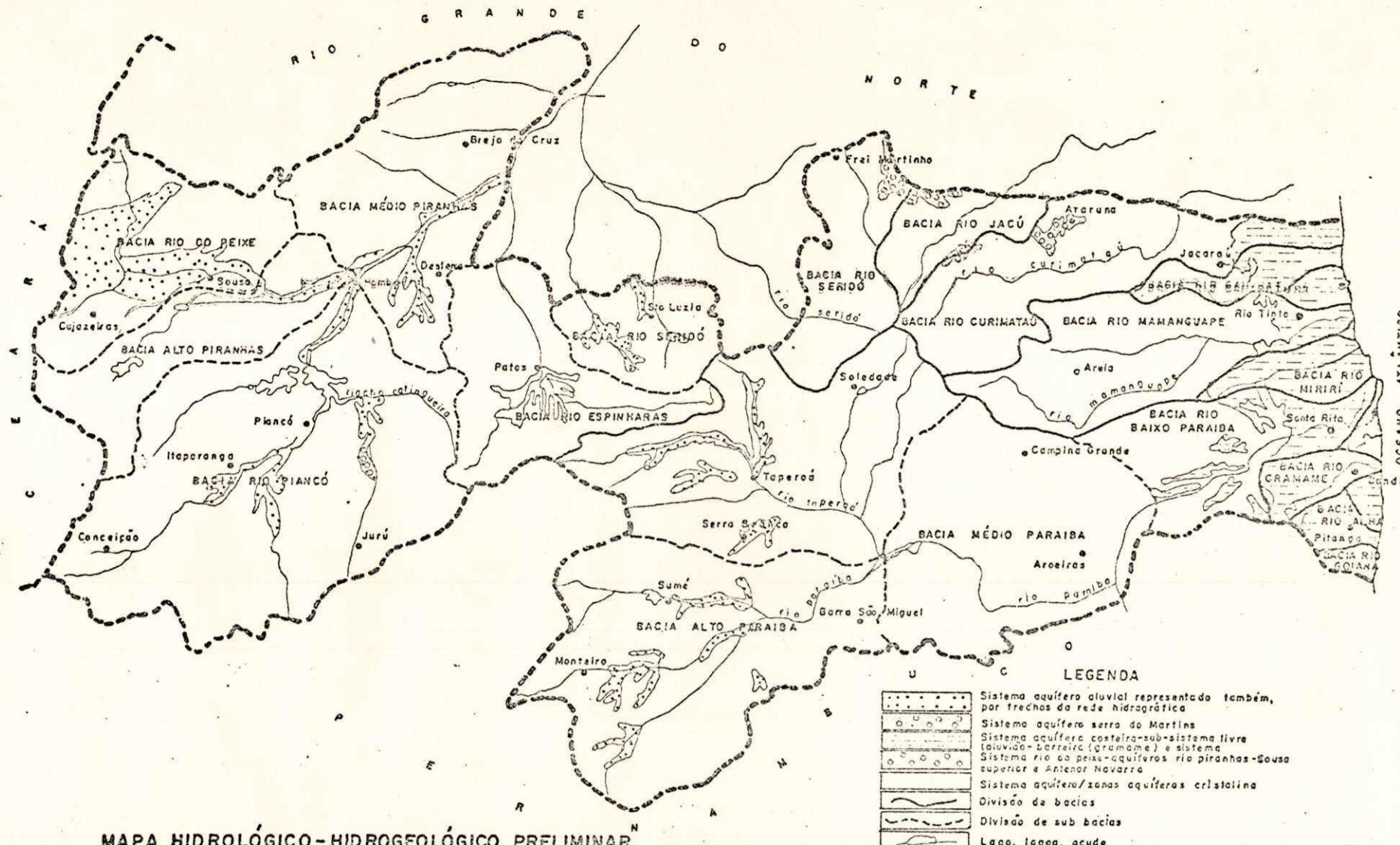
Tb - Tempo de bombeamento
Prof. - Profundidade

N.E. - Nível estatíco
N.D. - Nível dinâmico

V.Esp - Vazao específica
Mat Esp (h) - espessura do material

Res.Sec - Resíduo seco
R - Tipo de rocha perfurada

ANEXO II



MAPA HIDROLÓGICO - HIDROGEOLÓGICO PRELIMINAR

ESCALA 1:1.580.000